

وزارة التعليم والبحث العلمي  
MINISTERE DE L'ENSEIGNEMENT ET DE LA RECHERCHE SCIENTIFIQUE

L est.

## ECOLE NATIONALE POLYTECHNIQUE

DEPARTEMENT : GENIE CIVIL

# PROJET DE FIN D'ETUDES

### S U J E T

BATIMENT

$$= R + g =$$

Proposé par : Sonatiba

Etudié par : S. DJELLAL  
M. HADJAB

Dirigé par : H. CHARIF

PROMOTION : JANVIER - 1985

# —CHAPITRE 1—

**—INTRODUCTION —**

- Distribution des efforts verticaux sur les refend

## CHAPITRE 7

### \* FERRAILLAGE DES VOILES

- introduction
- Types d'armatures
- Prescriptions relatives aux ferraillage des éléments de contreventement
- Application selon PS 69
- Application selon RPA 91
- Ferraillage des linteaux (introduction)
- Prescriptions relatives aux ferrailage des linteaux

## CHAPITRE 8 \* ETUDE DES ELEMENTS

- Calcul de l'acroterie
- Calcul de l'escalier
- Calcul des paliers
- Calcul des bêquets
- Calcul de la poutre palier
- Calcul de la poutre noyée
- Calcul des planchers (dalles) Etage courant
- Calcul des planchers haut du vide sanitaire

## CHAPITRE 9

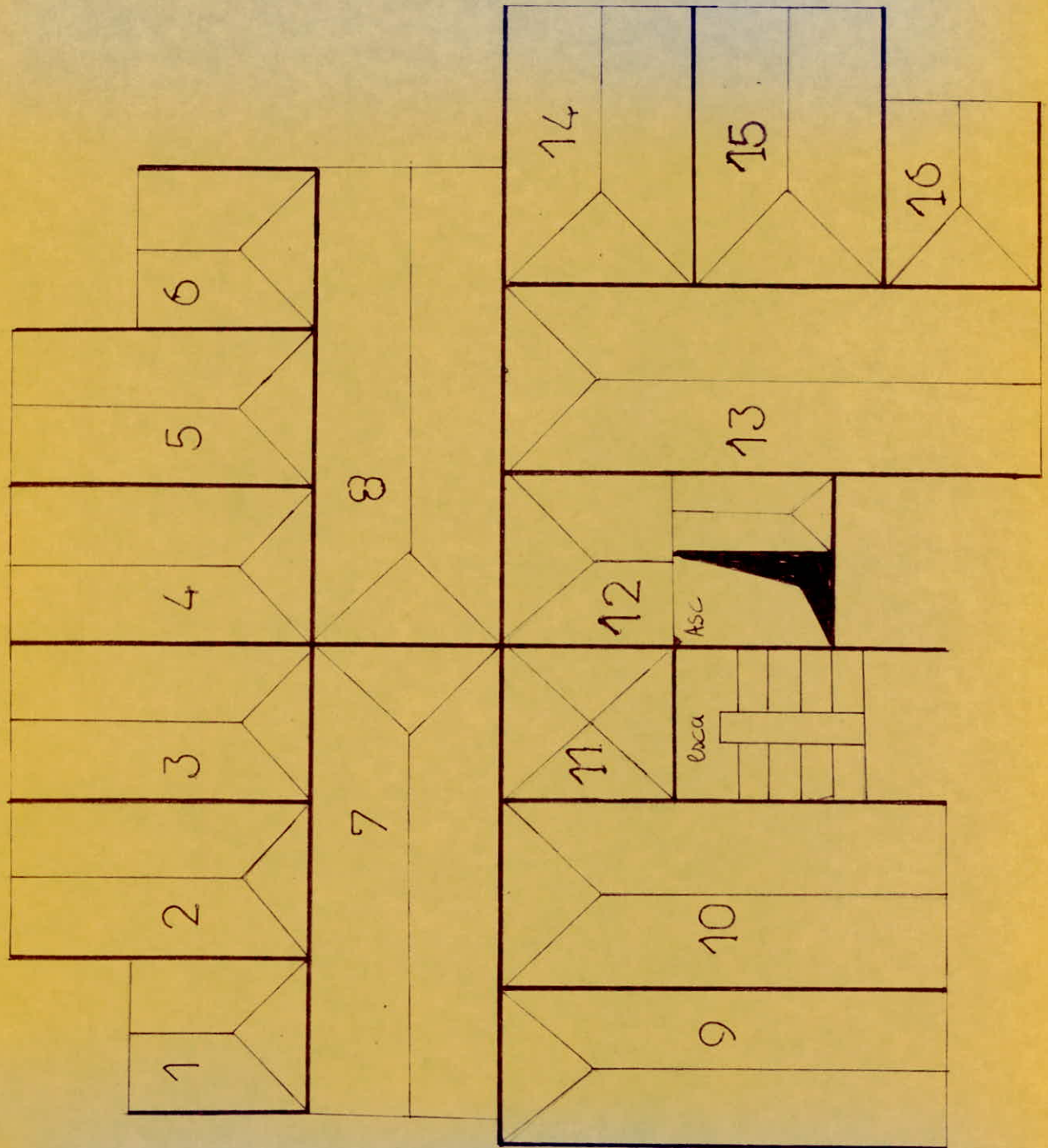
### \* ETUDE DES FONDACTIONS

- Introduction
- Calcul des semelles
- Calcul des tassements du sol sous les semelles
- Ferraillage du voile périphérique

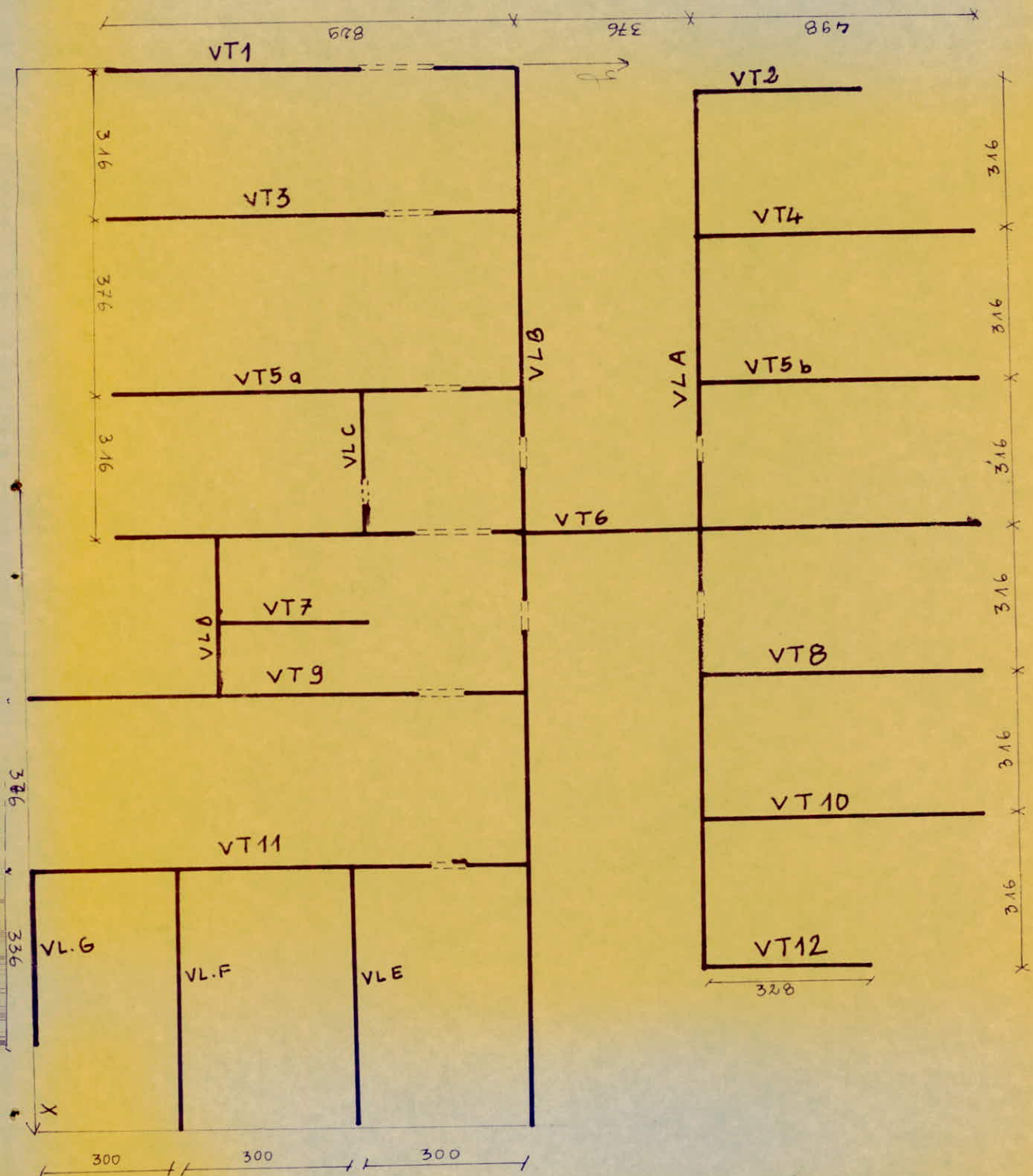
## CHAPITRE 10

### \* ETUDE COMPARATIVE

- Introduction
- Comparaison



PLancher - étage - courant.



□ □ □ □  
LinTeau

Fruméau

- C H A P T E R -

-e0000- I N T R O D U C T I O N -e0000-

1. PRESENTATION DE L'OUVRAGE 1
- 1.1 CARACTERISTIQUE GEOMETRIQUE
- 1.2 CARACTERISTIQUE DU SOL
- 1.3 MATERIAUX UTILISES
2. CONTRAINTES ADMISSIBLES
2. DESCENTE DE CHARGE.

## 2

### 1/ PRESENTATION DE L'OUVRAGE.

Le présent projet consiste à étudier les éléments résistant d'un bâtiment tour à usage d'habitation qui sera implanté dans la région d'Alger. le bâtiment comporte une disymétrie en plan et comporte:

un vide sanitaire, & 1-Rez de chaussée et 09 étages  
soit R+ 9

Une cage d'ascenseur

le R.D.C sera réservé aux locaux de commerce.

#### 1.1 CARACTERISTIQUES GÉOMÉTRIQUES

L'ossature du bâtiment est constituée uniquement de voiles porteurs d'épaisseur 16cm dans les deux sens transversal et longitudinal assurant ainsi le contreventement de la construction dans les deux sens.

Distance entre les points extrêmes

sens longitudinal: 22,36m

sens transversal : 18,30m

Hauteur total du bâtiment (y compris l'acrotère)

$$H_t = 28,75m$$

Hauteur d'étage: 2,82m

#### PLANCHERS

Notre bâtiment aura deux types de planchers.

Le plancher du R.D.C qui sera formé de prédalles qui associent du béton coulé sur place à un béton préfabriqué sur de grande surfaces reprise pour confectionner des dalles pleines.

Le plancher de l'étage courant et de la terrasse sera constituée de dalles pleines de 16cm d'épaisseur.

#### CAGE D'ESCALIER ET D'ASCENSEUR.

Elles seront réalisées par des voiles d'épaisseur 16cm

l'escalier sera constitué par deux volées adjacentes préfabriquées appuyées sur les paliers coulés sur place.

# 3

## 1.3 MATERIAUX UTILISES

Le béton armé entrant dans la construction du bâtiment sera conforme aux règles techniques de conception et de calcul des ouvrages en béton armé (C.C.B.A 68), et à tous les réglements applicables en vigueur en Algérie.

La composition de 1 m<sup>3</sup> de béton sera :

800	litres de gravillons	D <sub>g</sub> ≤ 25 mm
400	litres de sable	D <sub>s</sub> ≤ 15 mm
350	kg de ciment	C.I.A 325
175	litres d'eau.	

La préparation du béton sera faite mécaniquement (bétonnière centrale à béton), le chantier sera doté de matériel nécessaire pour permettre le prélèvement d'échantillons à des fins de contrôle.

L'acier utilisé (doux et à haute adhérence...) doit être propre et débarrassé de toute trace de rouille non adhérente.

## 2. CONTRAINTES ADMISSIBLES :

### 2.1 BETON :

Ce bâtiment étant à usage d'habitation, on utilisera un béton dosé à 350 Kg/m<sup>3</sup> de ciment CIA 325, avec un contrôle atténué.

Les contraintes admissibles pour les sollicitations du premier genre sont définies aux articles 9 à 12 des règles C.C.B.A 68.

La résistance romulaire à 28 jours sera de :

$$\begin{aligned} \text{à la compression } \sigma'_b &= 28 = 270 \text{ bars} = 275 \text{ Kgf/cm}^2 \\ \text{à la traction } \sigma'_t &= 28 = 7 + 0,06 - r = 23,2 \text{ bars} = 23,2 \text{ Kgf/cm}^2 \end{aligned}$$

a - Contrainte de compression admissible (Art.9.4 C.C.B.A 68)

Cette contrainte est égale à :

$$\sigma'_b = f_b \cdot \sigma'_{28} \quad \text{avec } f_b = \alpha \beta \gamma \delta \varepsilon$$

$\alpha$  : dépend de la classe du ciment utilisé.

$$\alpha = 1 \text{ pour la C.I.A 325}$$

$\beta$  : dépend de l'efficacité du contrôle

$$\beta = 5 \text{ pour un contrôle atténué}$$

$\gamma$  : dépend des épaisseurs relatives des éléments et des dimensions des granulats,

$$C_g = 5/15 \quad \text{--->} \gamma = 1$$

$\delta$ : dépend de la nature de la sollicitation

- en compression simple :  $\delta = 0,3$
- en flexion simple :  $\delta = 0,6$
- en flexion composée :

$$\delta = \begin{cases} 0,6 & \text{si l'effort normal est une traction} \\ 0,3 (1 + e_0) & \text{si } \delta < 0,6 \text{ si l'effort} \\ & \text{normal est une compres-} \\ & \text{sion.} \\ 0,6 & \text{si } \delta \geq 0,6 \end{cases}$$

avec :

$e_0$  : excentricité de la résultante des forces extérieures par rapport au centre de gravité du béton seul.

$e_1$  : distance à la limite du rayon central au centre de gravité de la section du béton seul sur le plan radial passant par le centre de pression. Pour les sollicitations du second genre, les valeurs de " $\delta$ " devront être multipliées par 1,5.

$\epsilon$  : dépend de la forme de la section et la position de l'axe neutre (nature de la sollicitation)

$\epsilon = 1$  en compression simple, quelle que soit la forme de la section, et section rectangulaire en flexion simple ou en flexion composée avec traction.

$\epsilon$  = déterminé par la condition que  $F_b' \leq \epsilon_{bo}$   
pour les autres cas.

$F_b'$  : résultante des forces de compression

$B'$  : section du béton comprimée.

$\epsilon_{bo}$  : contrainte admissible en compression simple.

Dans notre cas les valeurs des contraintes sont :

- Contrainte admissible en compression simple

$$\epsilon_{bo} = \alpha \cdot \beta \cdot f \cdot \delta \cdot \epsilon \quad \epsilon'_{28} = 1,5 \cdot 1,0, 3,1 \frac{270}{6} = 67,5 \text{ bars}$$

$$\epsilon_{bo} = 67,5 \text{ bars} = 68,5 \text{ Kgf/cm}^2 \quad (\text{sollicitation du 1er genre})$$

$$\epsilon_{bo} = 1,5 \cdot 68,5 = 102,7 \text{ kg/cm}^2 \quad (\text{sollicitation du 2ème genre})$$

# 5

- Contrainte admissible en flexion simple ou flexion comparée avec traction en section rectangulaire.

$$\bar{\sigma}_b = \frac{1.5}{6} \cdot 1.06 \cdot 1.270 = 135 \text{ bars} = 137 \text{ kgf/cm}^2 \text{ (sous SF1)}$$

$$\bar{\sigma}_b = 1.5 \cdot 137 = 205,5 \text{ kg/cm}^2 \text{ (sous SF2).}$$

b - Contrainte de traction de référence (Art.9.5. C.C.B.A68).

$$\bar{\sigma}_b = \alpha \cdot \beta \cdot \gamma \cdot \theta \cdot \sigma'_n$$

$$\alpha, \beta, \gamma \text{ ont été déjà définis précédemment}$$

$$\theta = 0,018 + \frac{2,1}{28} \text{ avec } 28 \text{ exprimé en bars}$$

$$\theta = 0,018 + \frac{2,1}{270} = 0,0258$$

$$\text{d'où } \bar{\sigma}_b = 1.5 \cdot 1.06 \cdot 0,0258 \cdot 270 = 5,8 \text{ bars}$$

$$\bar{\sigma}_b = 5,8 \text{ bars} = 5,9 \text{ kgf/cm}^2 \text{ (sous SF1)}$$

$$\bar{\sigma}_b = 1.5 \cdot 5,9 = 8,8 \text{ kgf/cm}^2 \text{ sous SF2)$$

2 - ACIERS :

On distingue 2 catégories d'acierts :

I Acierts doux (ronds - tissés) :

Fe E 24  $\longrightarrow$  limite d'élasticité nominale

$$\sigma'_n = 2400 \text{ kgf/cm}^2$$

- Contraintes admissibles :

$$\bar{\sigma}_a = 2/3 \cdot 2400 = 1600 \text{ kgf/cm}^2 \text{ (sous SF1)}$$

$$\bar{\sigma}_a = \sigma'_n = 2400 \text{ kgf/cm}^2 \text{ (sous SF2)}$$

2 - Acierts à haute adhérence (H.A) :

Ils sort de nuance FeE 40  $\longrightarrow$  limite d'élasticité nominale est : pour  $\theta \leq 20$   $\sigma'_n = 4200 \text{ kgf/cm}^2$

$$\text{pour } \theta > 20 \quad \sigma'_n = 4000 \text{ kgf/cm}^2$$

- Contrainte admissibles :

$$\theta \leq 20 \quad \bar{\sigma}_a = 2/3 \cdot 4200 = 2800 \text{ kgf/cm}^2 \text{ (sous SF1)}$$

$$\bar{\sigma}_a = \sigma'_n = 4200 \text{ kgf/cm}^2 \text{ (sous SF2)}$$

$$\theta > 20 \quad \bar{\sigma}_a = 2/3 \cdot 4000 = 2667 \text{ kgf/cm}^2 \text{ (sous SF1)}$$

$$\bar{\sigma}_a = \sigma'_n = 4000 \text{ kgf/cm}^2 \text{ (sous SF2)}$$

# 6

- Contraintes de traction imposées par la condition de fissuration (Art. 4.0.C.1.B.A.68).

Pour éviter des fissures inacceptables, la valeur maximal de la contrainte des armatures est limitée à la plus grande des valeurs suivantes :

$$\sigma_1 = K \cdot \frac{\eta}{\emptyset} \frac{\bar{\sigma}_f}{1 + 10\bar{\omega}_f} \quad \begin{array}{l} \text{contrainte de fissuration} \\ \text{systématique} \end{array}$$

$$\sigma_2 = 2,4 \sqrt{\frac{\eta K}{\emptyset}} \bar{\sigma}_b \quad \begin{array}{l} \text{contrainte de fissuration} \\ \text{en systématique ou acci-} \\ \text{dentelle} \end{array}$$

avec :

- $K$  coefficient dépendant des conséquences de la fissuration sur le comportement de l'ouvrage.

$K = 1;5 \cdot 10^6$  fissuration peu nuisible

$K = 1 \cdot 10^6$  fissuration préjudiciable

$K = 0,5 \cdot 10^6$  fissuration très préjudiciable.

- $\eta$ : coefficient de fissuration
  - = 1 pour les ronds lisses
  - = 1,6 pour les aciers à haute adhérence (H.A)

- $\emptyset$  : Diamètre de la plus grasse barre tendue, exprimés en mm.

- $\bar{\omega}_f$  Pourcentage de fissuration défini par  $\bar{\omega}_f = \frac{A}{B_f}$

avec  $A$  : section des barres tendues  $B_f$

$B_f$ : section d'enrobage des barres tendues.

- $\bar{\sigma}_b$  : Contrainte de traction de référence du béton, exprimée en bars.

# 7

## DESCENTE DE CHARGE:

- POUR CHAQUE ELEMENT PORTEUR ON AURA A CONSIDERER
- SON POIDS PROPRE
- LA PART DES CHARGES ET SURCHARGES QUE LUI TRANSMETTENT LES PLANCHERS (ELLE EST OBTENUE PAR UN DECOUPAGE A PARTIR DES LIGNES DE DE RUPTURES DU BETON A 45°, ON EVALURA PAR LA SUITE LES SURFACES REVENANT A CHAQUE REFENTS).
- LA PART DE CLOISON REPORTEES SUR LUI.
- LE POIDS DES FACADES S'IL S'AGIT D'REFENT EXTERIEUR.
- LES ELEMENTS SPECIAUX :(escalier,gaines, ....)
- LE BATIMENT ETANT A USAGE D'HABITATION , IL Y AURA LIEU DE PROCEDER A UNE DEGRESSIIONDES SURCHARGES(LA LOI DE DE DEGRESSIION TIENT COMPTE DU FAIT QU'ILEST EXCEPTIONNEL, QUE LA TOTALITE DES SURCHARGE SOIT APPLIQUEE SIMULTANEMENT SUR TOUT LES ETAGES.

## 8

CHARGE ET SURCHARGE

## 1 Plancher terrasse:

- Protection gravillon	1300 . 0,05	= 90 kg/m <sup>2</sup>
- Etanchietée multicouche		= 20 "
- Chape en beton	2000 . 0,0"	= 60 "
- Isolation thermique	250 . 0,04	= 10 "
- Barriere de vapeur		= 0,5 "
- Forme de pente moyenne	2000 . 0,1	= 200 "
- Dalle pleine	2500 . 0,16	* 400 "
- Enduit platre	1400 . 0,015	= 21 "

$$G = 806 \text{ kg/m}^2$$

## 2 Plancher etage courant

- Carrelage	2200 . 0,02	= 44 kg/m <sup>2</sup>
- Mortier de pose	2000 . 0,02	= 40 "
- Sable	1700 . 0,01	= 17 "
- Dalle en B.A	2500 . 0,16	= 400 "
- Isolation phonique	500 . 0,02	+ = 10 "
-- Cloison		= 75 "
- Enduit platre	1400 . 0,015	= 21 "

$$G = 607 \text{ kg/m}^2$$

## 3 Plancher rez de chaussée

- CARRelage	2200 . 0000	= 44 kg/m <sup>2</sup>
- Mortier de pose	2000 . 0,02	= 40 "
-- Sable	1700 . 0,01	= 17 "
-- Dalle en B.A	2500 . 0,16	= 400 "
- Cloison		= 75 "

$$G = 576 \text{ kg/m}^2$$

## 4 Escalier

- Palier	2200 . 0,02	= 44 kg/m <sup>2</sup>
- Carrelage	2000 . 0,02	= 40 "
- Mortier de pose	1700 . 0,01	= 17 "
- Sable	2500 . 0,16	= 400 "
- Dalle en B.A	1400 . 0,015	= 21 "

$$G = 522 \text{ kg/m}^2$$

## 9

VOLEE

- Poids propre de la paillasse (epaisseur =10cm)	
- $\frac{0,1 \cdot 250}{0,863} = 311 \text{kg/m}^2$	= 36,53
-Poids des marches: (h =17,5cm)	
$\frac{0,175 \cdot 2200}{2} = 192,5 \text{kg/m}^2$	
-mortier de pose	2000 .0,02 = 40 $\text{kg/m}^2$
-Revetement	2000 .0,02 40 "
-Garde de corps	= 100 "
-Enduit platre	1400 .0,015 = 21"
	-----
	C = 704,8 $\text{kg/m}^2$

## 5 Calcul du poids des gaines

On a 03 types de gaines

1:gaine pour vide ordure

2 gaine pour ventilation

3gaine de fumée.

1° type (V.O)  $(0,8 \cdot 0,075 - 0,15; 0,23 - 0,4 \cdot 0,4) \cdot 2,82 \cdot 2,5 = 1,448 \text{t}$

2° type :fumée:  $(0,98 \cdot 0,57 - 0,40 \cdot 0,25) \cdot 2,82 \cdot 2,5 = 1,146 \text{t}$

3° type ventilation:  $(1,18 \cdot 0,075 - 0,4 \cdot 0,5) \cdot 2,82 \cdot 2,5 = 1,505 \text{t}$

Surcharge d'exploitation

Les valeurs des surcharges à admettre dans les batiments de même que la Ici de degression des surcharges dans les batiments à etage sont definies par les normes N°FPO6.001

-Terrasse inaccessible	100 $\text{kg/m}^2$
-Plancher courant	175 $\text{kg/m}^2$
-PLACHER R.D.C (boutiques)	400 $\text{kg/m}^2$
-Escalier ,palier	250 $\text{kg/m}^2$
-Balcons ,loggia	300 $\text{kg/m}^2$
-Acrotère:force horizontale	100 $\text{kg/m}^2$

# 10

## - POIDS DES FAÇADES AU NIVEAU DE L'ETAGE COURANT.

Les façades sont calculées par étage est sont FAITES en beton préfabriqué.

On a 04 types de façades

$$1^{\circ} \text{ type } (3 \cdot 2,82 - 1,5 \cdot 1,35) \cdot 0,15 \cdot 2,5 = 2,413 \text{ t}$$

$$2^{\circ} \text{ type } (3,6 \cdot 2,82 - 1,5 \cdot 1,35) \cdot 0,15 \cdot 2,5 = 3,047 \text{ t}$$

$$3^{\circ} \text{ type } (3 \cdot 2,82 - 1,8 \cdot 1,5) \cdot 0,15 \cdot 2,5 = 2,160 \text{ t}$$

$$4^{\circ} \text{ type } (3,6 \cdot 2,82 - 1,8 \cdot 1,5) \cdot 0,15 \cdot 2,5 = 2,790 \text{ t}$$

## - DALLE LOCAL MACHINERIE

$$0,1 \cdot 2,5 = 0,25 \text{ t/m}^2$$

Dalle d'ascenseur.

$$0,16 \cdot 2,5 = 0,4 \text{ t/m}^2$$

Voile a = voile b

$$0,15 \cdot 2,5 \cdot 2,6 \cdot 2,4 = 2,34 \text{ t}$$

Voile c = voile d

$$0,15 \cdot 2,5 \cdot 1,6 \cdot 2,4 = 1,44 \text{ t}$$

Poids revenant à chaque voile

$$\text{Voile a} = \text{voile b} = 1,208 \text{ t}$$

$$\text{voile c} = \text{voile d} = 0,416 \text{ t}$$

$$G_a G_b = 2,34 \text{ t}$$

$$G_c = G_d = 1,856 \text{ t}$$

POIDS TOTAL DE chaque voile

$$\text{Voile a} = \text{voile b} = 3,548 \text{ t}$$

$$\text{Voile c} = \text{voile d} = 1,856 \text{ t}$$

## POIDS PROPRE DES ELEMENTS

### APPPlancher terrasse

#### VOILE A

$$- \text{Acrotère} \quad 3,6 \cdot 0,19 = 0,648 \text{ t}$$

$$- \text{Plancher terrasse} \quad 43,812 \cdot 0,806 = 35,312 \text{ t}$$

$$\underline{35,996 \text{ t}}$$

#### VOILE B

$$- \text{Acrotère} \quad 8,80 \cdot 0,19 = 1,672 \text{ t}$$

$$- \text{Plancher terrasse} \quad 49,94 \cdot 0,806 = 40,251 \text{ t}$$

$$\underline{41,923 \text{ t}}$$

## 11

## VOILE C

Plancher terrasse	4,5 . 0,806	=3,627t
-------------------	-------------	---------

## VOILE D

Acrotere	3,30 ;0,19	= 0,627t
----------	------------	----------

Plancher terrasse	0,592 .0,806	=0,4771t
-------------------	--------------	----------

Machinerie ascenseur		<u>=1,856t</u>
----------------------	--	----------------

2,960t

## VOILE- E-

Acrotere	3,16 . 0,19	=0,60t
----------	-------------	--------

Plancher terrasse	11,744 .0,806	<u>=9,465t</u>
-------------------	---------------	----------------

10,065t

## VOILE- F-

Acrotere	4,38 .0,19	= 0,832t
----------	------------	----------

Plancher terrasse	9,67 . 0,806	<u>=7,794t</u>
-------------------	--------------	----------------

8,626t

## VOILE - G-

Acrotere	4,78 ;0,19	=0,908t
----------	------------	---------

Plancher terrasse	3,79 .0,806	<u>=3,054t</u>
-------------------	-------------	----------------

3,962t

## VOILE - I-

Acrotere	10,31 ;0,19	=1,9589t
----------	-------------	----------

Plancher terrasse	10,95 .0,806	<u>=8,825t</u>
-------------------	--------------	----------------

10;783t

## VOILE- 2-

Acrotere	4,70 ;0,19	=0,9082t
----------	------------	----------

Plancher terrasse	3,79 . 0,806	=3,054 t
-------------------	--------------	----------

## VOILE-3-

Acrotere	3,46 . 0,19	=0,657t
----------	-------------	---------

Plancher terrasse	23,83 .0,806	<u>=19,198t</u>
-------------------	--------------	-----------------

19;855t

## VOILE-4-

Acrotere	4,39 .0,19	=0,8341t
----------	------------	----------

Plancher terrasse	14,819 .0,806	<u>=11,944t</u>
-------------------	---------------	-----------------

12,778t

## VOILE-A-5a-

Acrotere	3,46 .0,19	=0,657t
----------	------------	---------

Plancher terrasse	21,555 .0,806	<u>=17,373t</u>
-------------------	---------------	-----------------

18;03t

## 12

AL

## VOILE-5b-

Acrotere	3,16 . 0,19	= 0,657t
Planchert terrasse	22,05 . 0,806	= <u>17,772t</u>
		18,372t

## VOILE-6-

Acrotere	6,79 . 0,19	= 1,29 t
Plancher terrasse	40,598 ; 0,806	= 32,721t
Ascenseur machinerie		<u>=3,548t</u>
		37,559t

## VOILE-7-

Plancher terrasse	1,705 . 0,806	= 1,374t
Machinerie ascenseur		<u>3,548t</u>
		4,922t

## VOILE -8-

Acrotere	3,16 . 0,19	= 0,6004t
Plancher terrasse	22,053 . 0,806	<u>=17,778t</u>
		18,378t

## VOILE -9-

Acrotere	5,42 ;0,19	= 1,0298t
Plancher terrasse	20,557 . 0,806	<u>= 16,568t</u>
		17,597t

## VOILE- 10-

Acrotere	4,62 ;0,19	= 0,877t
Plancher terrasse	14,819 . 0,806	<u>=11,944t</u>

## VOILE-11-

Acrotere	1,06 . 0,19	=0,372t
Plancher terrasse	22,014 .0,806	<u>=17;743t</u>
		18,115t

## VOILE- 12-

Acrotere	5,24 .0,19	=0,995t
Plancher terrasse	3,79 . 0,806	<u>=3,054t</u>
		4,049t

## B: PLANCHER ETAGE COURANT.

## VOILE-A-

Poids propre du voile	= 20,08t
Plancher E.T.C.	43,812. 0,607
	<u>= 26,595t</u>
	46,673t

## VOILE -B-

Poids propre	= 23,753t
Plancher E.T.C.	49,94 .0,607
	<u>= 30,313t</u>
	54,066t
POIDS propre	= 2,602t
Plancher E.T.C.	2,25 .0,607
Palier	2,25 . 0,522
	<u>= 1,365t</u>
	<u>= 1,174t</u>
	5,141t

## VOILE-D-

Poids propre	= 1,804t
Plancher ,E.T.C	<u>= 0,358t</u>
	2,162t

## VOILE- E-

Poids propre	= 4,596t
Plancher E.T.C	11,744-. 0,607
Façade	2,16/2 + 2,143/2
	<u>= 2,286t</u>
	14,011t

## VOILE- F-

Poids propre	= 4,596t
Plancher E?T.C.	9,67. 0,607
Façades	2,16/2 + 2,16/2
	<u>= 2,16t</u>
	12,454t

## VOILE- G-

Poids propre	= 3,696t
Plancher E.T.C	3,79 .0,607
Façades	2,16/2
	<u>= 1,08t</u>
	7,079t

## 14

## VOILE -1-

Poids propre	= 8,27t
Plancher E.T.C	= 6,646t
Façades	2,16/2 a = 1,08t
	15,996t

## VOILE-2-

Poids propre	= 3,699t
Plancher E.T.C	= 2,388t
Façades	2,413/2 = 1,206t
	7,293t

## Voile-3-

Poids propre	= 7,271t
Plancher E.T.C	= 14,458t
Façades	2,16/2 + 3,047/2 = 2,603t
	24,332t

## VOILE -4-

Poids propre	= 4,569t
Plancher E.T.C.	= 8,995t
Façade	2,413/2 = 2,413t
	15,977t

## VOILE-5-

Poids propre	= 8,346t
Plancher E.T.C	= 9,314t
Palier	1,125+2,25) 0,522 = 1,761t
Volée	(1,89 . 1,30 ) . 0,7048 = 1,731t
Façade	3,042/2 + 2,16/2 = 2,601t
	23,753t

## VOILE -5b-

Poids propre	= 4,569t
Plancher E.T.C	= 8,995t
Façades	2,413/2 + 2,16/2 = 2,286t
	20,244t

## VOILE -6-

Poids propre	= 17,598t
Plancher E.T.C	= 21,002t
Palier	(1?125 + 2,25) . 0,522 = 1,761t
Volée	(1,89 . 1?30 ) ; 0,7048 = 1,731t
Façades	( 2,16 = 2,16t
	44,252t

## VOILE -8-

Poids propre	= 4,569t
Plancher E.T.C	= 13,389t
Façades	2,16/2 + 3,047/2
	<u>= 2,603t</u>
	20,561t

## VOILE-7-

Poids propre	= 3,045t
Plancher E.T.C	<u>= 1,034t</u>
	4,079t

## VOILE-9-

Poids propre	= 9,912t
Plancher E.T.C	= 12,478t
Façades	2,16/2
Gaines	1,448 + 1,146
	<u>= 2,594t</u>
	26,064t

## VOILE -10-

Poids propre	= 4,569t
Plancher E.T.C	= 8,995t
Façades	3,047/2
	<u>= 1,523t</u>
	15,087t

## VOILE -11-

Poids propre	= 9,91t
Plancher E.T.C	= 13,362t
Gaine de fumée	= 1,146t
Façades	2,16/2
	<u>= 1,08T</u>
	25,498t

## VOILE -12-

Poids propre	= 3,699t
Plancher E.T.C	= 2,30t
Façades	2,413/2
	<u>= 1,265t</u>
	7,264t

## 16

C) PLANCHER R.D.C.

## VOILE-A-

Poids propre	= 20,08t
Plancher R.D.C	<u>= 25,235t</u>
	45,315t

## VOILE-B-

Poids propre	= 23,753t
Plancher R.D.C	<u>= 28,756t</u>
	52,518t

## VOILE -C-

Pois propre	= 2,602t
Plancher RDC	= 1,296t
Palier	<u>= 1,174t</u>
	5,072t

## VOILE-D-

Poids propre	= 1,804t
Plancher RDC	<u>= 0,330t</u>
	2,143t

## VOILE-E-

Poids propre	= 4,596t
Plancher RDC	= 6,764t
Façades	2,16/2 + 2,413/2
	<u>= 2,286t</u>
	13,646t

## VOILE - F-

Poids propre	= 4,569t
Plancher RDC	= 5,569t
Façades	2,16/2 + 2,16/2
	<u>= 2,16t</u>
	12,298t

## VOILE-G-

Poids propre	= 3,699t
Plancher RDC	= 2,181t
Façades	2,16/2
	<u>= 1,08t</u>
	6,962t

## VOILE-1-

Poids propre	= 8,270t
Plancher RDC	= 6,307t
Façades	<u>= 1,08t</u>
	15,657t

## VOILE -2-

Poids propre	= 3,699t
Plancher RDC	= 2,183t
Façades	<u>= 1,206tm</u>
	7,088t

## VOILE-3-

Poids propre	= 7,271t
Plancher RDC	= 13,720t
Façades	<u>= 2,603t</u>
	23,594t

## VOILE-4-

Poids propre	= 4,569t
Plancher RDC	= 8,535t
Façades	<u>= 2,413t</u>
	15,517t

## VOILE-5a-

Poids propre	= 8,346t
Plancher RDC	= 8,838t
Palier	= 1,761t
Volée	= 1,731t
Façades	<u>= 2,601t</u>
	23,277t

## VOILE -5b -

Poids propre	= 4,569t
Plancher RDC	= 11270t
Façade	<u>= 2,286t</u>
	19,555t

## VOILE -6-

Poids propre	= 17,588t
Plancher RDC	= 19,93t
Palier	= 1,761t
Volée	= 1,731t
Façades	<u>= 2,16t</u>
	43,180t

## VOILE - 7 -

Poids propre	= 3,045t
Plancher RDC	= 0,982t
	<u>4,027t</u>

## VOILE - 8 -

Poids propre	= 4,569t
Plancher RDC	= 12,705t
Façades	2,16/2 + 3,047/2
	<u>= 2,603t</u>
	19,877t

## VOILE - 9 -

Poids propre	= 4,569t
Plancher RDC	= 11,84t
Façades	2,16/2
Gaine	<u>= 1,08t</u>
	<u>= 2,594t</u>
	20,083t

## VOILE - 10 -

Poids propre	= 4,569t
Plancher RDC	= 8,535t
Façades	3,047/2
	<u>= 1,523t</u>
	14,627t

## VOILE - 11 -

Poids propre	= 9,91t
Plancher RDC	= 12,688t
Façades	2,16/2
	<u>= 1,080t</u>
	23,678t

## VOILE - 12 -

Poids propre	= 3,699t
Plancher RDC	= 2,183t
Façades	2,413/2
	<u>+ = 1,206t</u>
	7,088t

-SURCHARGES D'EXPLOITATION:

Comme notre bâtiment est à usage d'habitation, il est rare que toutes les surcharges agissent simultanément, on applique alors pour leur détermination la loi de dégression, celle-ci consiste à réduire les surcharges identiques ou non à chaque étage de 10% par étage jusqu'à 0,5 sauf pour le dernier et avant dernier étage.

NIVEAU::	TERRASSE	=100kg/m <sup>2</sup>
9		=175kg/m <sup>2</sup>
8	175 .0,9	=158kg/m <sup>2</sup>
7	175 .0,8	=140 "
6	175 .0,7	=123"
5	175 ;0,6	=105"
4	175 .0,5	= 88"
3	175 ;0,5	=88"
2	175 .0,5	=88"
1	175.0,5	= 88"
RDC		=400kg/m <sup>2</sup>

- VOILES LONGITIDUNAUX -

NIVEAU VOILES	$P$ avec degression							$P$ sans degression						
	A	B	C	D	E	F	G	A	B	C	D	E	F	G
T	4.381	4.994	0.45	0.059	1.174	0.967	0.379	4.381	4.994	0.45	0.059	1.174	0.967	0.379
9	7.687	8.739	0.393	0.103	2.055	1.692	0.663	7.687	8.739	0.393	0.103	2.055	1.692	0.663
8	6.90	7.865	0.354	0.093	1.849	1.523	0.596	7.687	8.739	0.393	0.103	2.055	1.692	0.633
7	6.133	6.991	0.315	0.082	1.644	1.353	0.530	7.687	8.739	0.393	0.103	2.055	1.692	0.633
6	5.366	6.117	0.275	0.072	1.438	1.184	0.464	7.687	8.739	0.393	0.103	2.055	1.692	0.633
5	4.600	5.243	0.236	0.062	1.232	1.015	0.397	7.687	8.739	0.393	0.103	2.055	1.692	0.633
4	3.833	4.369	0.196	0.051	1.027	0.846	0.331	7.687	8.739	0.393	0.103	2.055	1.692	0.633
3	3.833	4.369	0.196	0.051	1.027	0.846	0.331	7.687	8.739	0.393	0.103	2.055	1.692	0.663
2	3.833	4.369	0.196	0.051	1.027	0.846	0.331	7.687	8.739	0.393	0.103	2.055	1.692	0.663
1	3.833	4.369	0.196	0.051	1.027	0.846	0.331	7.687	8.739	0.393	0.103	2.055	1.692	0.633
RDC	17.524	19.976	0.90	0.236	4.696	3.868	1.516	17.525	19.976	0.90	0.236	4.696	3.868	1.516

20

-VOILES TRANSVERSAUX-

P: sans degression

	1	2	3	4	5a	5b	6	7	8	9	10	11	12
T	1.095	0.379	2.382	1.481	2.155	2.205	4.059	0.170	2.905	2.055	1.481	2.201	0.379
9	1.916	0.663	4.168	2.593	2.685	3.858	.055	0.298	3.860	3.597	2.593	3.852	0.660
8	1.916	0.663	4.168	2.593	2.685	3.858	.055	0.298	3.860	3.597	2.593	3.852	0.660
7	1.916	0.663	4.168	2.593	2.685	3.858	.055	0.298	3.860	3.597	2.593	3.852	0.660
6	1.916	0.663	4.168	2.593	2.685	3.858	.055	0.298	3.860	3.597	2.593	3.852	0.660
5	1.916	0.663	4.168	2.593	2.685	3.858	.055	0.298	3.860	3.597	2.593	3.852	0.660
4	1.916	0.663	4.168	2.593	2.685	3.858	.055	0.298	3.860	3.597	2.593	3.852	0.660
3	1.916	0.663	4.168	2.593	2.685	3.858	.055	0.298	3.860	3.597	2.593	3.852	0.660
2	1.916	0.663	4.168	2.593	2.685	3.858	.055	0.298	3.860	3.597	2.593	3.852	0.660
1	1.916	0.663	4.168	2.593	2.685	3.858	.055	0.298	3.860	3.597	2.593	3.852	0.660
RDC	4.380	1.516	9.528	5.927	6.138	8.820	13.860	0.682	8.823	8.222	2.593	3.852	0.660

21

- VOILES TRANSVERSAUX -  
P: avec degression

	1	2	3	4	5a	5b	6	7	8	9	10	11	12
T	1.095	0.379	2.382	1.481	2.155	2.205	4.059	0.170	2.205	2.055	1.481	2.901	0.379
9	1.916	0.663	4.168	2.593	2.685	3.858	6.055	0.298	3.860	3.597	2.593	3.852	0.660
8	1.724	0.596	3.751	2.333	2.416	3.474	5.449	0.268	3.474	3.237	2.330	3.467	0.596
7	1.533	0.530	3.334	2.074	2.148	3.088	4.844	0.238	3.088	2.877	2.074	3.081	0.530
6	1.341	0.464	2.917	1.815	1.879	2.702	4.838	0.208	2.702	2.518	1.815	2.696	0.464
5	1.149	0.397	2.501	1.555	1.611	2.316	3.633	0.179	2.316	2.158	1.555	2.311	0.397
4	0.958	0.331	2.084	1.296	1.342	1.930	3.027	0.149	1.930	1.798	1.296	1.926	0.331
3	0.958	0.331	2.084	1.296	1.342	1.930	3.027	0.149	1.930	1.798	1.296	1.926	0.331
2	0.958	0.331	2.084	1.296	1.342	1.930	3.027	0.149	1.930	1.798	1.296	1.926	0.331
1	0.958	0.331	2.084	1.296	1.342	1.930	3.027	0.149	1.930	1.798	1.296	1.926	0.331
RDC	4.38	1.516	9.528	5.927	6.138	8.82	13.84	0.682	8.82	8.222	5.927	8.805	1.516

22

23

## EFFORTS TOTAUX SUR LES REPENDS LONGITIDUNAUX

NIV	CHARGE	A	B	C	D	E	F	G
T	G	35.996	41.923	3.627	2.960	10.065	8.626	3.962
	1.2 P	5.257	5.992	0.54	0.07	1.408	1.160	0.454
9	G	46.673	54.066	5.141	2.162	14.01	12.454	7.079
	1.2 P	9.220	10.486	0.471	0.123	2.466	2.030	0.795
8	G	46.673	54.066	5.141	2.162	14.01	12.454	7.079
	1.2 P	8.28	9.438	0.424	0.111	2.218	1.827	0.715
7	G	46.673	54.066	5.141	2.102	14.01	12.452	7.079
	1.2 P	7.359	8.389	0.378	0.098	1.972	1.623	0.636
6	G	46.673	54.066	5.141	2.162	14.01	12.452	7.079
	1.2 P	6.439	7.340	0.33	0.086	1.725	1.420	0.556
5	G	46.673	54.066	5.141	2.162	14.01	12.452	7.079
	1.2 P	5.520	6.291	0.283	0.074	1.478	1.218	0.476
4	G	46.673	54.066	5.141	2.162	14.01	12.452	7.079
	1.2 P	4.599	5.242	0.235	0.061	1.232	1.015	0.397
3	G	46.673	54.066	5.141	2.162	14.01	12.452	7.079
	1.2 P	4.599	5.242	0.235	0.061	1.232	1.015	0.397
2	G	46.673	54.066	5.141	2.162	14.01	12.452	7.079
	1.2 P	4.599	5.242	0.235	0.061	1.232	1.015	0.397
1	G	46.673	54.066	5.141	2.162	14.01	12.452	7.079
	1.2 P	4.599	5.242	0.235	0.061	1.232	1.015	0.397
RDC	G	45.315	52.518	5.07	2.143	13.646	12.298	6.962
	1.2 P	21.02	23.971	1.08	0.283	5.635	4.641	1.819
	$\Sigma$	582.86	673.91	59.412	25.65	171.631	150.971	81.674

-EFFORTS TOTAUX SUR LES REFENDS TRANSVERSAUX-

NIVEAU	CHARGE	1	2	3	4	5a	5b	6	7	8	9	10	11	12
T	G	10.783	3.962	19.855	12.778	18.03	18.372	37.559	4.922	18.378	17.597	12.821	18.115	4.049
	1.2P	1.314	0.454	2.858	1.777	2.586	2.646	4.870	0.204	2.646	2.466	1.777	2.641	0.454
9	G	15.996	7.293	24.332	15.977	23.753	20.244	44.252	4.079	20.501	26.064	15.087	25.498	7.264
	1.2P	2.299	0.795	5.001	3.111	3.282	4.629	7.266	0.357	4.632	4.316	3.111	4.622	0.798
8	G	15.996	7.293	24.332	15.977	23.753	20.244	44.252	4.079	20.501	26.064	15.087	25.498	7.264
	1.2P	2.068	0.715	4.501	2.799	2.839	4.168	6.538	0.321	4.168	3.884	2.799	4.160	0.715
7	G	15.996	7.293	24.332	15.977	23.753	20.244	44.252	4.079	20.501	26.064	15.087	25.498	7.264
	1.2P	1.839	0.636	4.000	2.448	2.577	3.705	5.812	0.285	3.705	3.452	2.488	3.697	0.636
6	G	15.996	7.293	24.332	15.977	23.753	20.244	44.252	4.079	20.501	26.064	15.087	25.498	7.264
	1.2P	1.609	0.556	3.500	2.178	2.254	3.242	5.085	0.249	3.242	3.021	2.178	3.235	0.556
5	G	15.996	7.293	24.332	15.977	23.753	20.244	44.252	4.079	20.501	26.064	15.087	25.498	7.264
	1.2P	1.378	0.476	3.001	1.866	1.933	2.779	4.359	0.214	2.779	2.589	1.866	2.773	0.476
4	G	15.996	7.293	24.332	15.977	23.753	20.244	44.252	4.079	20.501	26.064	15.087	25.498	7.264
	1.2P	1.149	0.397	2.500	1.555	1.610	2.316	3.632	0.178	2.316	2.157	1.555	2.311	0.397
3	G	15.996	7.293	24.332	15.977	23.753	20.244	44.252	4.079	20.501	26.064	15.087	25.498	7.264
	1.2P	1.149	0.397	2.500	1.555	1.610	2.316	3.632	0.178	2.316	2.157	1.555	2.311	0.397
2	G	15.996	7.293	24.332	15.977	23.753	20.244	44.252	4.079	20.501	26.064	15.087	25.498	7.264
	1.2P	1.149	0.397	2.500	1.555	1.610	2.316	3.632	0.178	2.316	2.157	1.555	2.311	0.397
1	G	15.996	7.293	24.332	15.977	23.753	20.244	44.252	4.079	20.501	26.064	15.087	25.498	7.264
	1.2P	1.149	0.397	2.500	1.555	1.610	2.316	3.632	0.178	2.316	2.157	1.555	2.311	0.397
RDC	G	15.657	7.088	23.594	15.517	23.277	19.555	43.180	4.027	19.877	20.083	14.627	23.678	7.088
	1.2P	5.250	1.819	11.433	7.112	7.365	10.584	16.608	0.818	10.584	9.866	7.112	10.566	1.819
	$\sum$	190.75	83.726	306.67	199.279	284.36	261.14	544.07	48.82	264.32	310.47	190.782	312.213	83.549

N  
D

25

## POIDS TOTAL DU BATIMENT

voiles	G+1.2P (t)
A	582.86
B	673.91
C	59.412
D	25.65
E	171.631
F	150.971
G	81.674
1	190.757
2	83.726
3	306.67
4	199.27
5a	284.36
5b	261.14
6	544.07
7	48.82
8	264.32
9	310.47
10	190.78
11	312.21
12	83.84
$\Sigma$	4826.541 t

## CHAPTER 2

**— ETUDE —  
— DYNAMIQUE —**

- ETUDE DYNAMIQUE -Introduction :

L'étude dynamique d'une structure est en général nécessaire lorsque cette structure présente un élancement important, ou une dimension en plan importante.

Lors de l'étude d'une structure il est indispensable de connaître les vibrations naturelles de celle-ci. Dans le cas de vibrations libres on ne se préoccupe pas des causes ayant entraîné la structure lors de sa position d'équilibre, mais d'examiner le comportement de celle-ci une fois qu'elle est livrée à elle-même, c'est à dire la réponse du système à toute excitation extérieure.

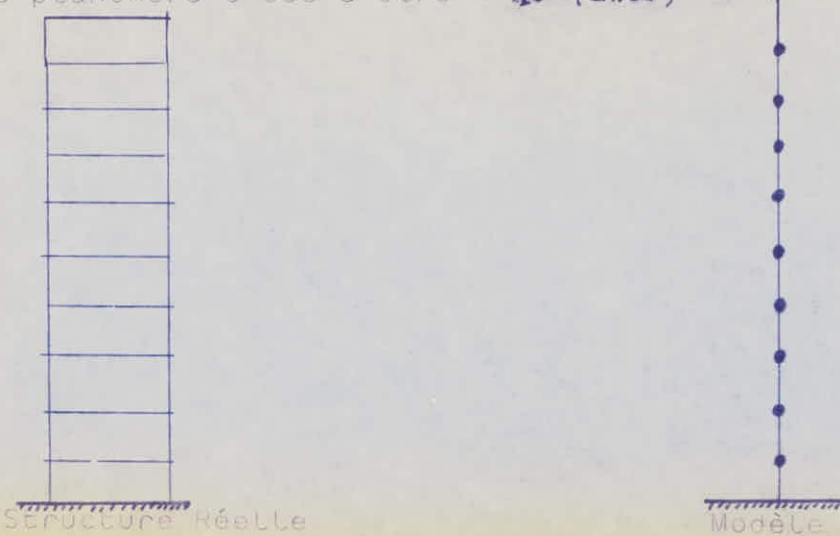
L'étude ne peut être faite directement sur la structure celle qu'elle se présente avec une distribution complexe de masses, distribution qui peut-être représentée sous forme analytique exacte.

Pour cela il faut l'in modéliser et choisir un support convenable pour les calculs, tout en restant proche de la répartition des masses permettant d'importantes simplifications de calcul.

Modélisation :

La modélisation de la structure sera représentée par une colonne flexible rigidement encastrée à la base où les masses sont supposées concentrées d'une manière ponctuelle au niveau des planchers. Chacun des planchers sera considéré comme un ensemble rigide et ne constituera par conséquent qu'un seul degré de liberté, du fait que ses déformations sont très petites devant celle de l'ensemble du bâtiment.

Le nombre total de degrés de liberté sera donc égal à celui des planchers c'est-à-dire = **10 (dix)**



METHODES UTILISEES

Les méthodes utilisées sont :

- Méthodes approximatives

Méthodes approximatives :

Les méthodes approximatives permettent de trouver rapidement et avec une précision satisfaisante les caractéristiques dynamiques de la structure. Ces méthodes permettent de calculer les différentes modes et les pulsations propres par une série d'opérations itératives à partir d'une forme du mode choisie arbitrairement. Les méthodes les plus connues sont :

- Méthode de RAYLEIGH
- Méthode de VIANELLO-STODOLA.

## a) Méthode de RAYLEIGH :

Cette méthode est basée sur le principe de conservation de l'énergie, pour cette raison elle n'est applicable qu'en système conservatif.

Malgré compte-tenu de l'influence négligeable de l'amortissement sur les valeurs des formes des pulsations propres, elle peut être utilisée pour le calcul des caractéristiques dynamiques des structures réelles.

## b) Méthode de VIANELLO-STODOLA :

Cette méthode repose sur les observations suivantes :

- 1) Pour un système oscillatoire à "n" masses concentrées (ou pour un système à masses réparties) les ordonnées de la ligne élastique qui correspondent au mode "J" sont proportionnelles aux forces d'inertie des masses dans le mode considéré.
- 2) Le travail des forces d'inertie correspondent à un mode de vibration quelconque avec les déplacements d'un autre mode est nul.

La méthode de VIANELLO-STODOLA permet de calculer le mode fondamental (pulsion propre et déformée), ainsi que successivement les modes supérieurs en utilisant un procédé d'élimination dont la convergence est malheureusement assez lente.

- CAS D'UN BATIMENT :

La structure étant représentée par une console encastrée à sa base nous aurons :

1er cas : la section i est à gauche de la section j.

$$\text{Diagram: A horizontal beam segment with a downward force } P=1 \text{ at the left end. The left section is labeled } x_i \text{ and the right section is labeled } x_j. \text{ A dashed line connects the two sections. A vertical displacement } \delta_{ij} \text{ is shown at the right section } x_j. \text{ Condition: } i < j.$$

$$\delta_{ij} = \frac{1}{EI} \frac{x_i^2}{2} (x_j - \frac{1}{3}x_i)$$

2eme cas: la section i est à gauche de la section l.

$$\text{Diagram: A horizontal beam segment with a downward force } P=1 \text{ at the left end. The left section is labeled } x_j \text{ and the right section is labeled } x_i. \text{ A dashed line connects the two sections. A vertical displacement } \delta_{ij} \text{ is shown at the right section } x_i. \text{ Condition: } j < i.$$

$$\delta_{ij} = \frac{1}{EI} \frac{x_j^2}{2} (x_i - \frac{1}{3}x_j)$$

Remarque :

En vertu du théorème de Maxwell - Betti

$$\delta_{ij} = \delta_{ji}$$

Calcul des périodes et recherche des modes :

Hypothèses de calcul :

Il n'a pas tenu compte de :

- L'interaction sol-structure c'est à dire la déformation de la semelle au niveau du sol.
- La translation au niveau de la base.

- MÉTHODE DE RAYLEIGH

Cette méthode sera utilisée pour la détermination du 1er mode seulement, son utilisation pour les modes supérieurs étant laborieuse.

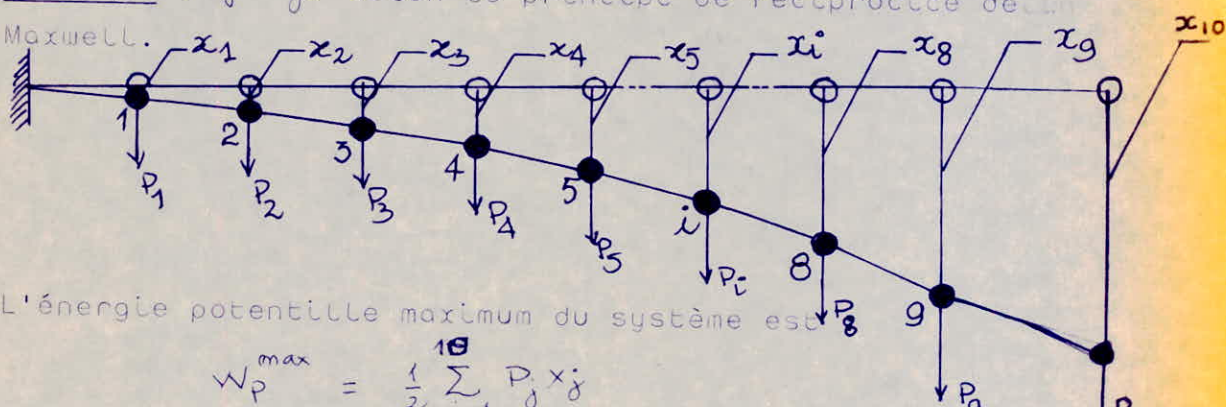
Méthode de la déformation statique :

On imagine la structure retournée de  $90^\circ$  dans le champ de pesanteur, celle-ci étant sollicitée par les forces  $P_i = m_i g$  agissant dans la direction du degré de liberté et soient  $x_1, x_2, \dots, x_8, x_9, x_{10}$ . Les déplacements statiques produits par le système de forces  $P_i$  appliquées dans la section  $h = h_0$ .

$$\text{avec : } x_i = \sum_{j=1}^{10} P_j \delta_{ij}$$

$\delta_{ij}$  = déplacement du point  $i$  dans le sens de la déformation recherchée, déplacement dû à la force  $P_j = 1$ .

Remarque :  $\delta_{ij} = \delta_{ji}$  selon le principe de réciprocité de Maxwell.



L'énergie potentielle maximum du système est :

$$W_P^{\max} = \frac{1}{2} \sum_{j=1}^{10} P_j x_j$$

L'énergie cinétique maximum du système est :

$$W_C^{\max} = \frac{1}{2} \frac{\omega^2}{g} \sum_{j=1}^{10} P_j x_j^2$$

Le principe de conservation de l'énergie permet d'écrire :

$$W_P^{\max} = W_C^{\max}$$

.../...

# 30

C'est à dire :  $\frac{1}{2} \sum_{j=1}^{10} p_j x_j = \frac{1}{2} \frac{\omega^2}{g} \sum_{j=1}^{10} p_j x_j^2$

d'où :  $\omega = \sqrt{\frac{g \sum_{j=1}^{10} p_j x_j}{\sum_{j=1}^{10} p_j x_j^2}}$   $\Rightarrow T = \frac{2\pi}{\omega} = 2\pi \sqrt{\frac{\sum_{j=1}^{10} p_j x_j^2}{g \sum_{j=1}^{10} p_j x_j}}$

Déplacements unitaires  $\delta_{ij}$  : unités [cm/t].  $10^{-5}$

Le calcul des  $\delta_{ij}$  peut se faire à l'aide des méthodes générales de la statique des structures (Mohr-Maxwell, Véréchaguine etc....)

Calcul des déplacements :

Vibration suivant y.y - (Rotation autour de x.x)

$$\delta_{ij} = \frac{1}{EI} \frac{x_i^2}{2} \left( x_i - \frac{1}{3} x_j \right)$$

$$x_i = \sum p_i \delta_{ij} \quad \delta_{ij} [\text{cm/t}] 10^{-5}$$

$$I_{xx} = 721 \text{ t.m}^4$$

$$Ie^{xx} = 73,32 \text{ t.m}^4$$

31

CHARGE DE 1t APPLIQUE AU NOEUD -1-

$\delta_{11}$	$\delta_{12}$	$\delta_{13}$	$\delta_{14}$	$\delta_{15}$	$\delta_{16}$	$\delta_{17}$	$\delta_{18}$	$\delta_{19}$	$\delta_{110}$
0.292	0.731	1.171	1.610	2.050	2.489	2.929	3.368	3.807	4.247

CHARGE DE 1t APPLIQUE AU NOEUD-2-

$\delta_{21}$	$\delta_{22}$	$\delta_{23}$	$\delta_{24}$	$\delta_{25}$	$\delta_{26}$	$\delta_{27}$	$\delta_{28}$	$\delta_{29}$	$\delta_{210}$
0.731	2.341	7.399	5.858	7.616	9.373	11.131	12.889	14.646	16.404

CHARGE DE 1t APPLIQUE AU NOEUD-3-

$\delta_{31}$	$\delta_{32}$	$\delta_{33}$	$\delta_{34}$	$\delta_{35}$	$\delta_{36}$	$\delta_{37}$	$\delta_{38}$	$\delta_{39}$	$\delta_{310}$
1.171	7.399	7.909	11.865	15.818	19.773	23.728	27.682	31.637	35.591

CHARGE DE 1t APPLIQUE AU NOEUD-4-

$\delta_{41}$	$\delta_{42}$	$\delta_{43}$	$\delta_{44}$	$\delta_{45}$	$\delta_{46}$	$\delta_{47}$	$\delta_{48}$	$\delta_{49}$	$\delta_{410}$
1.610	5.858	11.865	18.747	25.778	32.809	39.839	46.870	53.901	60.931

CHARGE DE 1t APPLIQUE AU NOEUD -5-

$\delta_{51}$	$\delta_{52}$	$\delta_{53}$	$\delta_{54}$	$\delta_{55}$	$\delta_{56}$	$\delta_{57}$	$\delta_{58}$	$\delta_{59}$	$\delta_{510}$
2.050	7.616	15.818	25.778	36.617	47.583	58.588	69.573	80.559	90.619

## 32

N°  
CHARGE DE 1t APPLIQUE AU NOEUD -6-

$\delta_{61}$	$\delta_{62}$	$\delta_{63}$	$\delta_{64}$	$\delta_{65}$	$\delta_{66}$	$\delta_{67}$	$\delta_{68}$	$\delta_{69}$	$\delta_{610}$
2.489	9.373	19.773	32.809	47.583	63.215	79.093	94.913	110.641	126.550

CHARGE DE 1t APPLIQUE AU NOEUD -7-

$\delta_{71}$	$\delta_{72}$	$\delta_{73}$	$\delta_{74}$	$\delta_{75}$	$\delta_{76}$	$\delta_{77}$	$\delta_{78}$	$\delta_{79}$	$\delta_{710}$
2.929	11.131	23.728	39.839	58.588	79.093	100.478	122.010	143.541	165.060

CHARGE DE 1t APPLIQUE AU NOEUD -8-

$\delta_{81}$	$\delta_{82}$	$\delta_{83}$	$\delta_{84}$	$\delta_{85}$	$\delta_{86}$	$\delta_{87}$	$\delta_{88}$	$\delta_{89}$	$\delta_{810}$
3.368	12.889	27.682	46.870	69.573	94.913	122.01	149.982	178.327	206.231

CHARGE DE 1t APPLIQUE AU NOEUD -9-

$\delta_{91}$	$\delta_{92}$	$\delta_{93}$	$\delta_{94}$	$\delta_{95}$	$\delta_{96}$	$\delta_{97}$	$\delta_{98}$	$\delta_{99}$	$\delta_{910}$
3.807	14.646	31.637	53.901	80.559	110.641	143.541	178.327	213.554	249.147

CHARGE DE 1t APPLIQUE AU NOEUD -10-

$\delta_{101}$	$\delta_{102}$	$\delta_{103}$	$\delta_{104}$	$\delta_{105}$	$\delta_{106}$	$\delta_{107}$	$\delta_{108}$	$\delta_{109}$	$\delta_{1010}$
4.247	16.404	35.591	60.931	90.619	126.550	165.06	206.231	213.554	292.942

# 33

Exemple de calcul des  $X_i$

$$X_1 = P_i (\delta_{11} + \delta_{12} + \delta_{13} + \dots + \delta_{19}) \leftrightarrow P_{10}: \delta_{110}$$

$$X_1 = 0,090873517 \text{ cm} \quad P = 403,61 \text{ t}$$

$$X_2 = 0,3539551 \text{ cm} \quad P = " "$$

$$X_3 = 0,73083455 \text{ cm} \quad P = " "$$

$$X_4 = 1,1932507 \text{ cm} \quad P = " "$$

$$X_5 = 1,7395004 \text{ cm} \quad P = " "$$

$$X_6 = 2,345655 \text{ cm} \quad P = " "$$

$$X_7 = 2,98448225 \text{ cm} \quad P = " "$$

$$X_8 = 3,6452506 \text{ cm} \quad P = " "$$

$$X_9 = 4,315679 \text{ cm} \quad P = " "$$

$$X_{10} = 4,8424912 \text{ cm} \quad P = 386,616 \text{ t}$$

$$A = \sum_{i=1}^{10} P_i \cdot X_i^2 \quad A = 29872,549 \text{ t.cm}^2$$

$$B = \sum P_i \cdot X_i \quad B = 8894,789 \text{ t.cm}$$

$$\omega = g \cdot B / A = 17,103 \text{ sec}^{-1}$$

$$\text{donc la période sera } T_{xx} = 2 \cdot \pi / \omega = 6,28 / 17,103$$

$$T_{xx} = 0,36 \text{ sec}$$

VIBRATION SUIVANT -x-x-

ROTATION AUTOUR de -y -y

Calcul des déplacement ( $\delta_{ij}$ )

$$\delta_{ij} = \frac{1}{E.I} \cdot \frac{x_i^2}{2} \left( x_j - x_i / 3 \right)$$

$$I_{yy}^e = 183,749 \text{ m}^4$$

34

CHARGE DE 1t APPLIQUE AU NOEUD-1-

$\delta_{11}$	$\delta_{12}$	$\delta_{13}$	$\delta_{14}$	$\delta_{15}$	$\delta_{16}$	$\delta_{17}$	$\delta_{18}$	$\delta_{19}$	$\delta_{110}$
0.116	0.292	0.467	0.642	0.818	0.993	1.168	1.343	1.519	1.689

CHARGE DE 1t APPLIQUE AU NOEUD-2-

$\delta_{21}$	$\delta_{22}$	$\delta_{23}$	$\delta_{24}$	$\delta_{25}$	$\delta_{26}$	$\delta_{27}$	$\delta_{28}$	$\delta_{29}$	$\delta_{210}$
0.292	0.934	1.636	2.337	3.039	3.740	4.441	5.143	5.844	6.546

CHARGE DE 1t APPLIQUE AU NOEUD -3-

$\delta_{31}$	$\delta_{32}$	$\delta_{33}$	$\delta_{34}$	$\delta_{35}$	$\delta_{36}$	$\delta_{37}$	$\delta_{38}$	$\delta_{39}$	$\delta_{310}$
0.467	1.636	3.156	4.735	6.421	7.890	9.468	11.046	12.625	14.203

CHARGE DE 1t APPLIQUE AU NOEUD-4-

$\delta_{41}$	$\delta_{42}$	$\delta_{43}$	$\delta_{44}$	$\delta_{45}$	$\delta_{46}$	$\delta_{47}$	$\delta_{48}$	$\delta_{49}$	$\delta_{410}$
0.642	2.337	4.735	8.476	10.286	13.092	15.898	18.703	21.509	24.315

CHARGE DE 1t APPLIQUE AU NOEUD-5-

$\delta_{51}$	$\delta_{52}$	$\delta_{53}$	$\delta_{54}$	$\delta_{55}$	$\delta_{56}$	$\delta_{57}$	$\delta_{58}$	$\delta_{59}$	$\delta_{510}$
0.818	3.039	6.421	10.286	14.612	18.996	23.379	27.764	32.147	36.531

35

CHARGE DE 1t APPLIQUE AU NOEUD-6-

$\delta_{61}$	$\delta_{62}$	$\delta_{63}$	$\delta_{64}$	$\delta_{65}$	$\delta_{66}$	$\delta_{67}$	$\delta_{68}$	$\delta_{69}$	$\delta_{610}$
0.993	3.740	7.890	13.092	18.996	25.250	31.563	37.876	44.188	50.501

CHARGE DE 1t APPLIQUE AU NOEUD-7-

$\delta_{71}$	$\delta_{72}$	$\delta_{73}$	$\delta_{74}$	$\delta_{75}$	$\delta_{76}$	$\delta_{77}$	$\delta_{78}$	$\delta_{79}$	$\delta_{710}$
1.168	4.441	9.468	15.898	23.379	31.563	40.097	48.689	57.281	65.874

CHARGE DE 1t APPLIQUE AU NOEUD-8-

$\delta_{81}$	$\delta_{82}$	$\delta_{83}$	$\delta_{84}$	$\delta_{85}$	$\delta_{86}$	$\delta_{87}$	$\delta_{88}$	$\delta_{89}$	$\delta_{810}$
1.343	5.143	11.046	18.703	27.764	37.876	48.689	59.853	71.075	82.298

CHARGE DE 1t APPLIQUE AU NOEUD-9)

$\delta_{91}$	$\delta_{92}$	$\delta_{93}$	$\delta_{94}$	$\delta_{95}$	$\delta_{96}$	$\delta_{97}$	$\delta_{98}$	$\delta_{99}$	$\delta_{910}$
1.519	5.844	12.625	21.509	32.147	44.188	57.281	71.075	85.221	99.424

CHARGE DE 1t APPLIQUE AU NOEUD -10-

$\delta_{101}$	$\delta_{102}$	$\delta_{103}$	$\delta_{104}$	$\delta_{105}$	$\delta_{106}$	$\delta_{107}$	$\delta_{108}$	$\delta_{109}$	$\delta_{1010}$
1.689	6.546	14.203	24.315	36.531	50.501	65.874	82.298	99.424	115.901

## CHAPITRE 3

**—ETUDE AU VENT—**

## -ETUDE AU VENT-

1- Introduction

Le vent peut engendrer des efforts dynamique qui dépendent des caractéristiques aérodynamique et mécanique de la construction, en tout premier lieu de la période du mode fondamental d'oscillation de la structure dans la direction étudiée.

Les oscillations parallèles à la direction du vent se produisent sous l'action de rafales, il existe une interaction dynamique entre les forces engendrées par les accélérations et décelerations irrégulières, répétées et variables en durée. Il en résulte une aggravation des déformations par suite des oscillations.

Les actions du vent sur les différentes parois d'une construction admettent une résultante géométrique ( $R$ ) dont la direction diffère généralement de celle du vent. Cette résultante peut se décomposée en trois forces.

- la première suivant la direction du vent dans un plan horizontal: c'est la trainée.  $T$ .
- la seconde perpendiculaire à la première dans le plan horizontal: c'est la dérive.  $L$ ;
- La dernière suivant une direction verticale ascendante: C'est la portance:  $U$ .

2 Determination de l'effort de trainé.  $T$ .

Les trois effort énumérés ci dessus l'effort de trainé est le plus important il conditionne le dimensionnement de l'ouvrage au contreventement.

Caractéristiques géométrique de l'ouvrage.

- Grand côté de la base       $a = 22,36m$
- Petit côté de la base       $b = 18,30m$
- Hauteur totale offerte au vent.  $H = 28,75m$

Comme la hauteur totale offerte au vent est  $H = 28.75\text{m}$   
etant inférieur à  $30\text{ m}$  nous pourrions utiliser la méthode  
N.V.65 mais nous devons par la méthode générale

$$T = C_t \cdot \beta \cdot \delta \cdot q \cdot d$$

l'effort  $T$  est fonction du niveau  $H$  considéré.

### 2.1 Coefficient de trainée : $C_t$

Dans un ouvrage prismatique à base rectangulaire avec  
toiture terrasse il est fixé à

$$C_t = 1.3 \quad (\text{N.V65 } 2.161.1^\circ)$$

$\beta$ : coefficient dépendant des rapports de dimensions  
sa valeur est donnée par le diagramme R.III.5 ", NV65.  
pour un vent perpendiculaire à la face à  $-(x x)$

$$\frac{b}{q} = \frac{18.30}{22.36} = 0.818$$

$$\Rightarrow \gamma_0 = 1 \quad C_t = 1.3$$

$$\lambda_a = \frac{28.75}{22.36} = 1.28$$

Pour un vent perpendiculaire à la face (b) (yy)

$$\frac{b}{a} = 0.818$$

$$\Rightarrow \gamma_0 = 1$$

$$\lambda_b = \frac{28.75}{18.30} = 1.57$$

$$C_t = 1.3$$

### 2.2 Coefficient de majoration dynamique.

ce coefficient est lié aux effets de raisonnement provoqués  
par les oscillations de l'ouvrage.

IL DEPEND de la période propre de vibration de la construction et du niveau considéré.  $\beta = \Theta(1 + \sqrt{\zeta}) \geq 1$

Pour un bâtiment d'habitation la période de vibration propre  
peut être exprimée dans le cas d'un contreventement par  
voiles en béton armé par l'expression

$$T = \frac{0.08H}{\sqrt{L_x}} \sqrt{\frac{H}{L_x + H}}$$

$H$ : hauteur totale du bâtiment  $H = 28.75\text{m}$

$L_x$ : dimension en plan dans la direction considérée du vent  
-Vent agissant longitudinalement  $(-x x -)$

$$L_x = a = 22.36\text{m} \quad T = \frac{0.08 \cdot 28.75}{\sqrt{22.36}} \cdot \sqrt{\frac{28.75}{22.36 + 28.75}} = 0.36\text{s}$$

-Vent agissant transversalement. ( $y-y$ )

$$Ly = b = 18.30 \text{m}$$

$$Ty = \frac{0.08 \cdot 28.75}{\sqrt{18.30}} \cdot \sqrt{\frac{28.75}{18.30 + 28.75}} = 0.42 \text{sec}$$

On remarque que ces valeurs données à partir des formules empiriques sont voisines à ceux trouvées lors de l'étude dynamique on utilisera les périodes données par l'étude dynamique.

$$T_{xx} = 0.36 \text{sec} \quad T_{yy} = 0.22 \text{sec}$$

le coefficient de réponse  $\gamma$  est donné en fonction de la période par le diagramme de la figure RIII.3 NV65.

$$H = 28.75 \text{m} \quad \gamma = 0.334 \quad \gamma_{xx} = 0.25 \quad \text{NV65 III4}$$

le coefficient global  $\theta$  dépend du type de construction pour un bâtiment à usage d'habitation il dépend de sa cote  $H_s = h < 30 \text{m}$

$$\text{On prend } \theta = 0.7 \quad \beta_{xx} = 0.7(1 + 0.25 \cdot 0.334) = 0.758$$

$$\text{On prend } \beta_{yy} = 1$$

$$\text{suivant } yy: \gamma_{yy} = 0.16 \quad \beta_{yy} = 0.737 \quad \text{donc } \beta_{yy} = 1; \beta_{xx} = 1$$

### 2.3 Coefficient de dimension: $\delta$

Ce coefficient tient compte de l'effet de dimension de l'ouvrage Il est donné en fonction du niveau  $H$  considéré par le diagramme de la figure RII2(NV65)  $0 \leq H \leq 30 \quad \rightarrow \delta = 0.770$

### 2.4 Pression du vent $q$ :

La pression du vent dépend de la région où est implanté l'ouvrage du site et de la hauteur au dessus du sol du niveau considéré.  $q = K_s \cdot K_m \cdot q_h$

ALGER est classée en zone II le coefficient de site  $K_s$  est défini par les règles NV65.

zone II site exposé  $\Rightarrow K_s = 1,3$

#### Effet de masque ( $K_m$ )

On supposera que le bâtiment n'est pas abrité par une autre construction susceptible de lui fournir un effet de masque on considérera ce dernier comme nul donc  $K_m = 1$ .

### Pression dynamique: $Q_H$

La pression dynamique  $Q_H$  agissant à la hauteur  $H$  au dessus du sol peut être lue dans le tableau de la figure CIII.4 NV65.

Exemple: RegionII  $H = 28.75m \rightarrow Q_H = 91.7 \text{ dan:m}^2$

soit  $q = 1.1,3 \cdot 91,7 \Rightarrow q = 119,21 \text{ kg:m}^2$ ,  
la valeur de  $\delta q$  doit demeurer entre 30 et 170  $\text{dan:m}^2$  ce qui est vérifié dans notre cas.

### 2.5 Largeur du maître couple: "d"

"d" est la dimension en plan du bâtiment suivant la direction du vent.

Vent agissant longitudinalement

$$d = b = 18.30m$$

Vent agissant transversalement

$$d = a = 22.36m$$

Tous les coefficients étant déterminés on peut calculer l'effort de trainée  $T$

$$T = C_t \cdot \beta \cdot \delta \cdot q \cdot d \text{ à chaque niveau } H$$

exemple de calcul

$$H = 28.75m$$

Vent transversal. ( $y-y$ )

$$C_t = 1.3 ; \beta = 0.16 ; \delta = 0.77 ; q = 119.21 \text{ kg/m}^2 \quad d = 22.36m$$

$$T_{yy} = 1.3 \cdot 0.16 \cdot 0.77 \cdot 119.21 \cdot 22.36 = 2668,20 \text{ kgf/m}$$

Vent agissant longitudinalement:

$$C_t = 1.3 ; \beta = 0.25 ; \delta = 0.77 ; q = 119.21 \text{ kg/m}^2 \quad d = b = 18.30m$$

$$T_{xx} = 1.3 \cdot 0.25 \cdot 0.77 \cdot 119.21 \cdot 18.30 = 2183,72 \text{ kgf/m}$$

$$\text{donc } q = K_s \cdot K_m \cdot q_h \Rightarrow q = 1.1,3 \cdot 91,7 = 119,21 \text{ kgf/m}$$

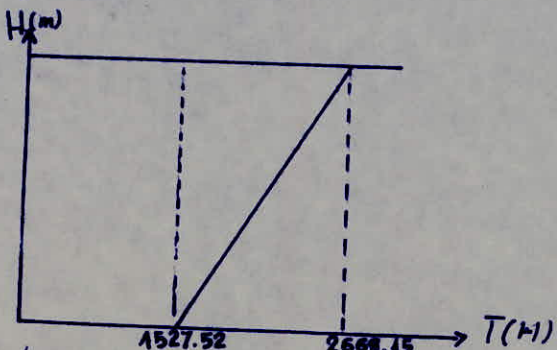
EFFORT DE TRAINEE  
VENT AGISSANT LONGITIDINALEMENT

$H(m)$	$C_t$	$\zeta$	$G$	$1+\zeta G$	$\Theta$	$\beta$	$\delta$	$K_s$	$q_u$	$\delta q$	$d = b$	T
0	1.3	0.25	0.33	1.08	0.7	1	0.77	1.3	52.5	52.55	18.3	1250.16
5	1.3	0.25	0.33	1.08	0.7	1	0.77	1.3	62	62.06	18.3	1476.4
10	1.3	0.25	0.33	1.08	0.7	1	0.77	1.3	70	70.07	18.3	1666.96
15	1.3	0.25	0.33	1.08	0.7	1	0.77	1.3	77.5	77.57	18.3	1845.39
20	1.3	0.25	0.33	1.08	0.7	1	0.77	1.3	83	83.08	18.3	1976.47
25	1.3	0.25	0.33	1.08	0.7	1	0.77	1.3	88	88.08	18.3	2095.42
28.75	1.3	0.25	0.33	1.08	0.7	1	0.77	1.3	91.7	91.79	18.3	2183.68

42

## Reduction des efforts de trainée

## 1) vent transversal.



$$H_0 = \frac{2668.15 + 1527.52}{2} \cdot 28.75$$

$$H_0 = 60,312 \cdot 10^3 \text{ kgf}$$

- effort tranchant à la base:  $H_0 = 60,312 \cdot 10^3 \text{ kgf}$

- Moment de renversement:  $M_0 = M_1 + M_2$

$$M_{01} = (1527,52 \cdot 28,75) \cdot \frac{28,75}{2} = 631,295 \text{ tm}$$

$$M_{02} = \frac{(2668,15 - 1527,52) \cdot 28,75}{2} \cdot \frac{2}{3} \cdot 28,75 = 314,267 \text{ tm}$$

$$M_0 = M_{01} + M_{02} = 945,562 \text{ tm}$$

## CAS DU VENT EXTREME:

La pression de base  $q_h (H=10\text{m}) = 70 \text{ dan/m}^2$

sera majorée de  $7/4$  d'où pour le vent extrême

$$\text{Vent normal } B=1 \quad q_e (H=10\text{m}) = 7/4 \cdot 70 = 122,5 \text{ dan/m}^2$$

vent extrême :  $(0,5 + \frac{\theta}{\eta}) \beta = (0,5 + \frac{0,7}{2}) 1 = 0,85$   
donc on prend 1 pour majoration dynamique les réductions  
des effets dans le cas de vent extrême s'obtiennent par  
majoration directe de  $(7/4)$  des efforts normaux.

$$\text{Vent normal} \quad H = 60,312 \text{ t}$$

$$M = 945,562 \text{ tm}$$

$$\text{Vent extrême} \quad H = 7/4 \cdot 60,312 = 105,546 \text{ t}$$

$$M = 7/4 \cdot 945,562 = 1654,733 \text{ tm}$$

## 2 VENT LONGITIDUNAL:

$$\text{vent normal} \quad H = 49,361 \text{ t}$$

$$M = 773,871 \text{ tm}$$

$$\text{vent extrême} \quad H = 86,381 \text{ t}$$

$$M = 1354,274 \text{ tm}$$

Determination de l'effort de derive:L: NV65annex8-3

L'effort de derive est une action perpendiculaire à l'action du vent de type devibration et ayant lieu pour des vitesses faibles les regles NV65, ne sont admises qu'à partir d'une vitesse superieur à 25m/s donc il est inutile de faire un calcul à la resonnance.

Les periodes propres de vibration de l'ouvrage obtenues lors de l'étude dynamiquesont  $T_{xx}=0,35\text{ sec}$        $T_{yy}=0,22\text{ sec}$

Designons par T la période DFS tourbillons il y a raisonnnance si  $T_k = T$  dans la direction étudiée.

$$T_k = \frac{d}{SV} = T \quad (\text{pour tubes circulaires})$$

V: vitesse du vent

d= largeur du maître couple

S : nombre de STOUHAL

$$V_{cr} = \frac{d}{ST} \quad (\text{NV65. annex8.31}) \quad (V_{cr} = \text{vent dit critique})$$

#### Application:

sens longitudinal

$$V_{cr} = \frac{d}{ST} = 207\text{ m/s}$$

d := 22,36m

$T=0,36\text{s}$

" " : varie entre 0.25 et 0.30 il dépend de la rugosité

Des surfaces ; on prend S= 0,30( plus défavorable)

$$V_{cr} = 207,03\text{ m/s} > 25\text{ m/s}$$

sens transversal:

$$V_{cr} = \frac{d}{ST} = 277,272\text{ m/s}$$

$d = 18,30$   
 $T = 0,22\text{ sec}$   
 $S = 0,3$

$$V_{cr} > 25\text{ m/s}$$

Donc il est inutile de faire un calcul à la resonnance et de calcul de derive L: Généralement seuls les ouvrages de très grandes hauteur et de période propre importante  $\geq 1,5\text{ sec}$  nécessitent un calcul à la resonnance.

N.B: les forces équivalentes statiques de la trainée sont nettement plus faible(6fois moins) que celles dues aux forces équivalentes statiques d'origine sismiques.

## 46-

Determination de l'effort de portance. "U"

C'est une action verticale perpendiculaire à la poussée du vent

$$U = C_u \cdot \delta \cdot q \cdot S_u$$

coefficient de portance  $C_u$

$$C_u = C_i - C_e$$

$C_i$  coefficient de suppression interieure sur la terrasse

Construction fermée:

permeabilité le coefficient de suppression interne s'écrit:

$$C_i = +0.6(1,8 - 1,3\delta_0)$$

$$C_i = +0.6(1,8 - 1,3 \cdot 1) = +0.3 \text{ (NV65)}$$

$C_e$ : coefficient de dépression extérieur sur la terrasse

NV65 III.2132.2

ce coefficient est fonction de l'inclinaison de la toiture et du coefficient de correction, voir diagramme RIII6

$$\alpha = 0 \quad (\text{plancher terrasse plan})$$

$$\delta_0 = 1 \Rightarrow C_e = -0,5$$

D'où le coefficient de portance

$$C_u = C_i - C_e = +0,3 - (-0,5) = +0,8$$

$$C_u = +0,8$$

Coefficient de dimension: (NV65 III&1.244)

La plus grande dimension de la toiture est = 22,36m

La hauteur du bâtiment est  $H = 28,75m$

$$\Rightarrow \delta = 0,7260$$

Pression du vent  $q$ :

la pression de base  $q_{10} = 70 \text{ dan/m}^2$  pour  $H=28,75m$

$$q_h = q_{10} \cdot \frac{2,5(H + 18)}{H + 60} = 92,18 \text{ dan/m}^2$$

$$\text{soit } q = K_s \cdot q_h = 1,3 \cdot 92,18 = 119,83 \text{ dan/m}^2$$

$$\text{Aire de la terrasse } S_u = 349,59 \text{ m}^2$$

au total l'effort de soulevement s'écrit:

$$U = C_u \cdot \delta \cdot q \cdot S_u$$

$$U = 0,8 \cdot 0,726 \cdot 119,83 \cdot 349,59 = 24330,50 \text{ dan}$$

Si on désigne par  $G$  le poids total à vide de l'ouvrage

il faut vérifier :  $G \geq U$

$$U_e = 7/4 \cdot U = 42,57 \cdot 10^3 \text{ dan/m}$$

Avec un immeuble en béton armé, cette vérification est pratiquement toujours satisfait

$$G = 4826,54 > U_e = 42,57 \cdot 10^3$$

VERIFIÉE.

# C'HAPITRE 4

**—ETUDE HU S'EIS'ME—**

## ETUDE SISMIQUE

L'objet de cette étude est donc l'étude des mesures sécuritaire anti-sismique elle constitue à vérifier la résistance et la stabilité du bâtiment vis à vis des sollicitations d'ensemble etc afin de justifier par le calcul la sécurité de la construction devant des efforts d'origine sismique.

- Les sollicitations d'origine sismique peuvent s'évaluer.
- Soit par un calcul dynamique direct, pour cela il faudrait disposer de l'enregistrement de l'accélérogramme donc des graphes donnant directement l'accélération du sol en fonction du temps pour un séisme antérieur connu.
- Soit par l'application à la construction d'un système de force dont les effets statiques seront censés engendrer les mêmes sollicitations à ceux de l'action sismique.
  - Nous appliquons pour nos calculs présents le 2<sup>ème</sup> procédé c'est à dire un calcul statique équivalent le système statique équivalent résulte de la combinaison.
  - d'un système de forces élémentaire horizontales ( $S_h$ )
  - d'un système de forces élémentaire verticales ( $S_v$ )
  - d'un système de couple de torsion d'ensemble d'axe verticale ( $S_t$ )

### SYSTÈME DE FORCES HORIZONTALES

Il se compose de forces élémentaires dont chacune s'exerce sur un élément de construction est appliquée au centre de gravité de ce dernier, ces forces sont parallèles et de même sens, leur intensité varie avec leur direction.

Les calculs seront fait suivant les deux directions horizontales perpendiculaires correspondant aux axes propres du bâtiment ( $X-x$  et  $Y-y$ ).

L'intensité de la force horizontale agissant sur un élément donné est pour la direction  $OX$  égale à :  $S_H = \sigma_x \cdot W$

$W$  : étant le poids des charges permanentes et surcharge propres à l'élément et considérées comme soumises à l'action sismique.

$$W = G + \frac{P}{5}$$

### SYSTÈME DE FORCES VERTICALES (Sv)

Il se compose de forces élémentaires, chacune s'appliquant au centre de gravité d'un élément de construction toutes ces forces sont de même sens et peuvent être ascendante ou descendante.

L'intensité pour chacune de ces forces =  $\pm \sigma_v \cdot W$ .

### TORSION D'ENSEMBLE : (St)

A chaque système de forces horizontales il convient d'associer le système de couple de torsion d'axe verticale obtenu en supposant qu'à chaque niveau et dans chaque direction, la résultante des forces horizontales à une excentricité par rapport au centre de torsion à la plus grande des deux valeurs.

- \* 5 % de la plus grande dimension du bâtiment
- \* Excentricité théorique résultant du calcul à vue des plans.

.../...

# 49

Les sollicitations à considérer pour le calcul de chaque élément de la structure seront les sollicitations les plus défavorable résultant de la combinaison ( $S_H$ ), ( $S_v$ ) et ( $S_t$ ).

## DETERMINATION DES COEFFICIENTS SISMIQUES :

Dans la direction horizontale.

Le coefficient sismique applicable à un élément donné pour la direction OX et le mode i.

$$\text{S'écrit } \xi_x^i = \alpha \beta_i \gamma_i \delta$$

Expression dans laquelle  $\alpha, \beta, \gamma, \delta$  sont des coefficients sans dimensions, déterminés de la façon suivante.

$\alpha$  : coefficient d'intensité

$\beta$  : " " de réponse

$\gamma$  : " " de distribution

$\delta$  : " " de fondation.

## COEFFICIENT D'INTENSITE :

Le coefficient caractérise l'ajustement de la résistance d'une construction à l'intensité sismique dont on veut protéger. Il dépend de l'intensité nominale IN pour laquelle il doit être établi le projet.

Le complément parasismique Algérien au P.S 69 donne pour les édifices présentant un risque normal à la population implanté en zone II

$$\alpha = 1$$

L'échelle fonctionnelle page 83 du P.S 69 permet de connaître pour  $\alpha=1$  une intensité nominale IN = 8, qui correspond à des secousses de degré transitoire entre VIII et IX sur l'échelle microscopique.

## COEFFICIENT DE REPONSE (β)

Il caractérise l'importance de la réponse de la structure à une secousse d'intensité égale à l'intensité de référence:

Il dépend :

- de la période "T" du mode de vibration de la construction dans la direction étudiée.
- du degré d'amortissement de l'ouvrage
- Eventuellement de la nature du sol de fondation.

Conformément aux compléments paroisiens aux règles PS 69 pour les bâtiments courants à voiles, l'amortissement sera considéré comme moyen  $\beta = 0,085$  avec

$$\frac{1}{3\sqrt{\tau_i}}$$

Ayant les valeurs des périodes de vibration déterminées lors de l'étude dynamique, on détermine les valeurs de  $\beta$  correspondants aux premiers modes suivant les deux directions.

$$\beta = \frac{0,085}{\frac{1}{3\sqrt{\tau_i}}} \quad \text{avec } 0,065 \leq \beta \leq 0,13$$

$$\beta_{xx} = 0,12$$

$$\beta_{yy} = 0,116$$

On prendra  $\beta = 0,11$

Le coefficient de fondation  $\delta$  (art 3,112 - 15 PS.69).

Le coefficient  $\delta$ , indépendant des propriétés dynamiques de la construction est un facteur correcteur tenant compte de l'incidence des conditions de fondation sur le comportement de l'ouvrage.

Dans notre cas, le bâtiment est fondé sur un terrain de consistance moyenne

$$\underline{\delta = 1,00}$$

Coefficient de distribution  $\gamma$  : (Art 3,112 - 14 P.S 69)

Ce coefficient ne dépend que de la structure et caractérise à l'intérieur de cette dernière, le comportement de la masse à laquelle il se rapporte.

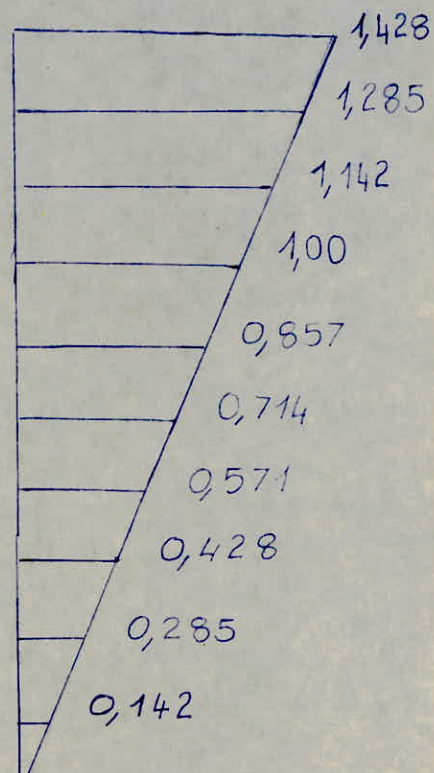
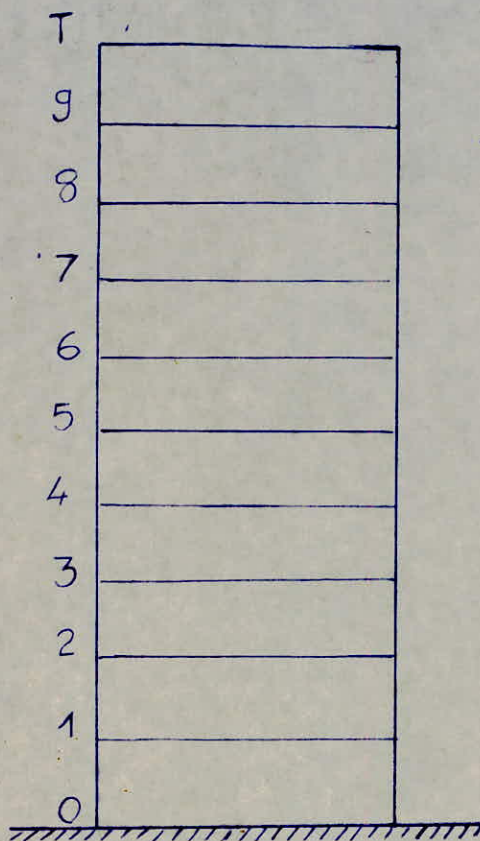
Dans les constructions courantes composées d'un système porteur et de planchers, il est permis de considérer sauf anomalies masquées dans la distribution des charges, que toutes les masses sont concentrées au niveau des planchers.

Pour les bâtiments d'habitations composés d'étages pouvant être considérés comme identiques " $\gamma$ " peut s'exprimer en fonction du rang  $r$  du plancher compté à partir de la base.

$n$  est le nombre de planchers, le coefficient applicable au plancher de rang " $r$ " est :

$$\gamma_r = \frac{3r}{2n+1}$$

51



Niveau	1	2	3	4	5	6	7	8	9	10
$\gamma$	0,142	0,285	0,428	0,571	0,714	0,857	1,00	1,142	1,285	1,428

Coefficient sismique dans le sens vertical:

le règlement PS 69 définit un coefficient sismique dans la direction verticale égale  $\alpha$ :

$$\tilde{\gamma}_v = \pm \frac{1}{\sqrt{\alpha}} \tilde{\gamma}_H$$

CALCUL DE  $\tilde{\sigma}_{xx}$  et  $\tilde{\sigma}_{yy}$

$$\tilde{\sigma}_{xx} = \alpha \beta_{xx} \gamma_r \cdot S = 1 \cdot 0,11 \gamma_r = 0,11 \gamma_r$$

$$\tilde{\sigma}_{yy} = \alpha \beta_{yy} \gamma_r \cdot S = 1 \cdot 0,11 \gamma_r = 0,11 \gamma_r$$

$$\tilde{\sigma}_H = \max (\tilde{\sigma}_{xx}, \tilde{\sigma}_{yy})$$

$$\alpha = 1 \quad \tilde{\sigma}_w = \pm \tilde{\sigma}_H$$

#### Determination des forces sismiques:

ces forces sont obtenues à partir de la relation suivante:

$$F_h = \tilde{\sigma}_H \cdot w$$

w: étant le poids propre des charges permanentes et surcharges propres à l'élément considéré:

Calcul de w pour chaque niveau.

- niveau terrasse:

€380,157 t

$$P/5 = (P \text{ sans dégression}) = 32,596 - = 6,519 t$$

$$W = G + P = 380,157 + 6,519 = 386,616 t$$

- Etage courant:

$$W = 391,985 + 11,625 = 403,61 t$$

$$W = 403,61 t$$

## --CALCUL DES COEFFICIENTS SISMIQUE--

niveau \ diagonale	$\alpha$	$B_{xx}$	$B_{yy}$	$\gamma_r$	$S$	$G_{xx}$	$G_{yy}$	$G_v$
10	1	0.11	0.11	1.428	I	0.157	0.157	0.157
09	1	0.11	0.11	1.285	I	0.141	0.141	0.141
08	1	0.11	0.11	1.142	I	0.125	0.125	0.125
07	1	0.11	0.11	1.00	I	0.11	0.11	0.11
06	1	0.11	0.11	0.857	I	0.0942	0.0942	0.0942
05	1	0.11	0.11	0.714	I	0.078	0.078	0.078
04	1	0.11	0.11	0.571	I	0.062	0.062	0.062
03	1	0.11	0.11	0.428	I	0.047	0.047	0.047
02	1	0.11	0.11	0.285	I	0.031	0.031	0.031
01	1	0.11	0.11	0.142	I	0.015	0.015	0.015
0	1	0.11	0.11	0	I	0	0	0

Nous representons un tableau regroupant les différentes forces sismiques verticales et horizontales à chaque niveau.

$$F_h = G_h \cdot w$$

$$F_v = G_v \cdot w$$

Niveau (m)	Forces horizontales (t)		Forces verticales (t)
	SENS- XX-	SENS- YY-	
28,20	60,69	60,69	60,69
25,38	56,90	56,90	56,90
22,56	50,45	50,45	50,45
19,74	44,39	44,39	44,39
16,92	38,02	38,02	38,02
14,10	31,48	31,48	31,48
1,28	25,02	25,02	25,02
8,46	18,96	18,96	18,96
05,64	12,51	12,51	12,51
02;82	6,54	6,54	6,54

EFFORTS CUMULES ENGENDRES PAR L'ACTION SISMIQUE.  
PAR NIVEAU.

SENS -x x- =SENS-y y-		
Niveau	T (effort trachant) (t)	Moment (tm)
10	60.69	0.00
09	117.59	171.14
08	168.04	502.74
07	212.43	976.61
06	250.45	1575.66
05	281.93	2281.92
04	306.95	3076.96
03	325.91	3942.55
02	338.42	4861.61
01	344.96	5815.95
0.0	344.96	6788.73

ACTION SISMIQUE

Force sismique de minimum (formule de base)

Tout bâtiment sera conçu et construit pour résister aux forces sismiques horizontales totales agissant non simultanément dans les deux directions de chacun des axes principaux de la structure, conformément à la formule.

$$V = A \cdot B \cdot D \cdot Q \cdot W.$$

V: force latérale totale ou effort tranchant à la base.

A: coefficient d'accélération des zones

sa valeur est prise dans le tableau (1) page 16 RPA81.

pour les ouvrages courants édifiés dans la zone II

$$A = 0,15$$

B: facteur de comportement de la structure. Il dépend du type de comportement de la structure et de la nature de ses contreventements, la valeur de B est tirée du tableau 2 page 22 RPA81. Structures à voiles porteurs  $B=1/4$

D: Facteur d'amplification dynamique moyen

la valeur de D sera déterminée d'après le type du sol et en fonction de la période T du bâtiment comme indiqué sur la figure(4) page 17 du RPA81.

Détermination de la période T

La valeur de T peut être obtenue par la formule suivante

$$T = \sqrt{\frac{0,09 \cdot H}{L}}$$

H = hauteur du bâtiment = 28,20m

L = dimension du bâtiment dans le sens de l'action sismique.

$$L_{xx} = 22,36m \quad L_{yy} = 18,30m$$

SENSXX:

$$T_{xx} = \sqrt{\frac{0,09 \cdot 28,20}{22,36}} = 0,536s$$

SENS -yy-

$$T_{yy} = \sqrt{\frac{0,09 \cdot 28,20}{18,30}} = 0,593s.$$

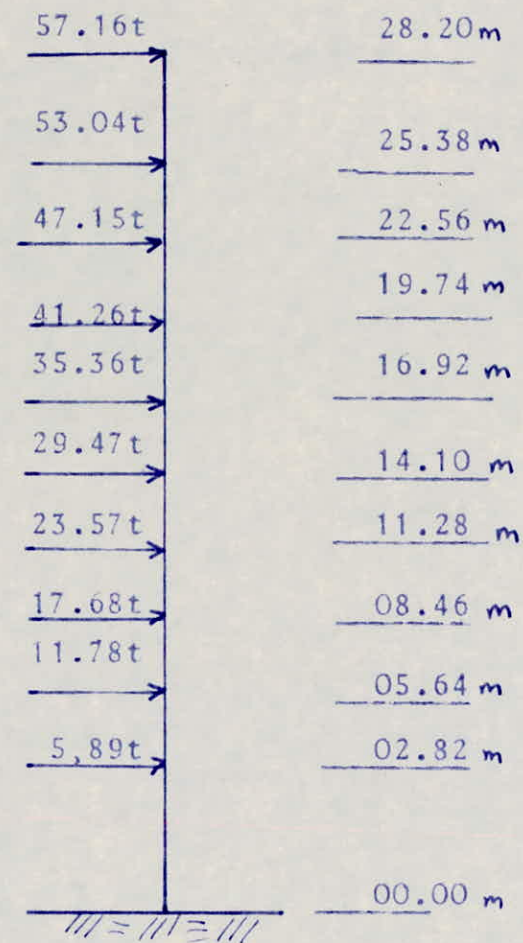
Pour la valeur de D on prendra les périodes de l'étude dynamique

$$T_{xx} = 0,22s \quad T_{yy} = 0,36s$$

$$\text{Sens } -x \ x - \quad D = 2$$

$$\text{Sens } -y \ y - \quad D = 2$$

Niveau	$W_k$ (t)	$h_k$ (m)	$W_k h$	Wihi	$F_{xx} = F_{yy}(t)$ sens $xx$ =sens $yy$
07	10 380,15	28,2	10720,42	60463,	57,16
	09 391,98	25,38	9948,57	"	53,04
	08 3 "	22,56	88,43,1	"	47,15
	07 "	17,74	7737,78	"	41,26
	06 "	16,92	6632.38	"	35,36
	05 "	14.105526.98		"	29.47
	04 "	11.284421.28		"	23.57
	03 "	8.46	3316.195	"	17.68
	02 "	5.64	2210.79	"	11.78
	01 "	2,82	1105.39	"	5.89
	00 "	0.00	0	3 "	5;89



les efforts cumulés engendrés par l'action sismique (par hauteur d'étage) sont représentés par le tableau suivant /:

SENS -X X- = SENS- y y -		
NIVEAU	T(effort tranchant)	Moment (tm)
10	57.16	0.00
09	110.20	161.19
08	157.35	471.954
07	198.61	915.681
06	233.97	1475.76
05	263.44	2135.55
04	287.01	2878.45
03	304.69	3685.81
02	316.57	4545.03
01	322.46	5437.75
00	322.46	6347.08

## **—CHAPITRE 5—**

**—ÉTUDE  
DU CONTREVENTEMENT**

### 1. Introduction :

L'étude du contreventement constitue en général un des problèmes les plus difficiles posés par le calcul de la structure des bâtiments cette difficulté est dûe au fait que la recherche de la solution exacte nécessite le calcul préalable de toutes les forces de liaison qui existent entre les éléments de contreventement et des planchers.

La présente note n'a pas pour but de permettre une évaluation exacte des contraintes dues à l'action sismique, mais simplement de préciser les opérations qui peuvent être effectuées pour s'assurer que les bâtiments à refends présentent une sécurité suffisante sous l'action des forces horizontales.

### 2. Objet de l'étude :

La présente étude concerne la distribution des forces horizontales entre les différents éléments capables, s'ils étaient isolés de véhiculer ces forces jusqu'aux fondations.

### 3. Hypothèses de calcul de distribution des efforts d'ensemble (Méthode de M. Albiges et Goulets)

On simplifie l'étude des systèmes hyperstatiques en posant les hypothèses suivantes :

- \* Les planchers sont indéformables horizontalement
- \* Les refends sont parfaitement encastrés à leur base
- \* L'inertie des refends est constante sur toute la hauteur. dans le cas où les refends comportent des ouvertures, on fera appel à la notion d'inertie équivalente.

### 4. Inertie équivalente, définition et application

#### 4.1 Introduction

L'introduction de la notion d'inertie équivalente permet par un artifice de calcul, d'assimiler les refends avec ouvertures au refend linéaire plein fictif, qui soumis

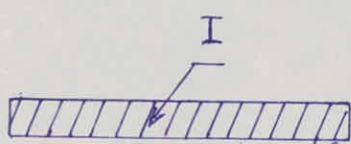
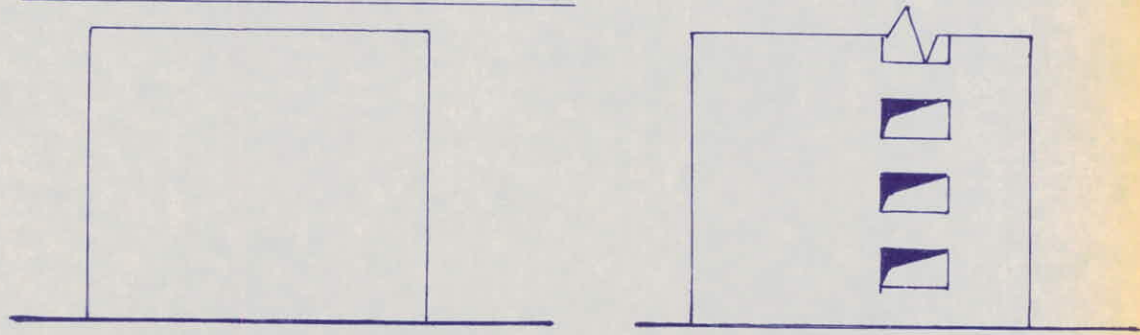
#### 4.2 Définition :

On appellera "inertie équivalente" le du refend considéré l'inertie d'un refend linéaire plein fictif, qui soumis

.../...

au même efforts horizontaux uniformément répartis sur la hauteur de celle du refend avec ouvertures.

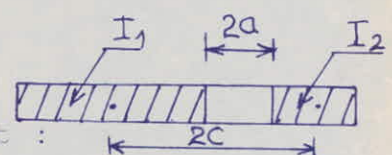
#### 4.2.1 Refend à une file d'ouverture



La fléche au sommet du refend fictif est :

$$f = \frac{H_0 Z^3}{8 \cdot E \cdot I_e}$$

(a) où  $H_0$  est l'effort tranchant à la base du refend.



La fléche au sommet d'un à une seule file d'ouverture

$$\text{est : } f = \frac{H_0 Z^3}{E(I_1+I_2)} \cdot \frac{2mc}{I} \cdot \frac{\psi_0}{\alpha^2} \cdot \frac{H_0 Z^3}{8EI} \quad (\text{b})$$

En égalant les deux expressions (a) et (b) on obtient.

$$I_e = \frac{I}{\frac{16mc}{I_1+I_2} \cdot \frac{\psi_0}{\alpha^2} + 1}$$

$I_1, I_2$  : Montant d'inertie de chaque élément de refend.

$I$  : Montant d'inertie, totale du refend  $I = I_1 + I_2 + 2mc$

$\psi_0$  : Coefficient donné par l'abaque B.23.b du livre de M. DIVER.

$m$  : Moment statique de chacun des éléments du refend par rapport au centre de gravité de l'ensemble.

$\Omega_1, \Omega_2$  : Aires des éléments de refend 1 et 2

$c$  : Demi-distance entre les centres de gravité des deux éléments de refend.

$\alpha = \omega z$  est degré de monolithisme.

$$m = \frac{2c}{\frac{1}{\Omega_1} + \frac{1}{\Omega_2}}$$

.../..

$$\frac{1}{\Omega_1} + \frac{1}{\Omega_2}$$

$$\psi_0 \text{ peut être obtenue par } \psi_0 = \left(1 - \frac{2}{\alpha^2}\right) \left(1 - \frac{c}{\alpha}\right) - \frac{\operatorname{Sh} \alpha \left(1 - \frac{c}{\alpha}\right)}{\alpha \operatorname{Ch} \alpha} + \frac{2}{\alpha^2} \left(1 - \frac{\operatorname{Ch} \alpha \left(1 - \frac{c}{\alpha}\right)}{\operatorname{Sh} \alpha}\right) - \frac{1}{3} \left(1 - \frac{c}{\alpha}\right)^3$$

$$w^2 = \frac{3iE'}{E(I_1+I_2)} \cdot \frac{I}{m} \cdot \frac{c}{a^3 h}$$

$i$  : inertie du linteau.

$E'$  : coefficient d'elasticité longitudinale des linteaux

$E$  : coefficient d'elasticité longitudinal des refends.

$a$  : Demi-portée de l'ouverture

$h$  : hauteur d'étage

$z$  : hauteur totale du refend

Le refend et le linteau étant constituées du même matériau nous aurons  $E' = E$

Alors :

$$w^2 = \frac{3i}{I_1 + I_2} \cdot \frac{I}{m} \cdot \frac{c}{a^3 h}$$

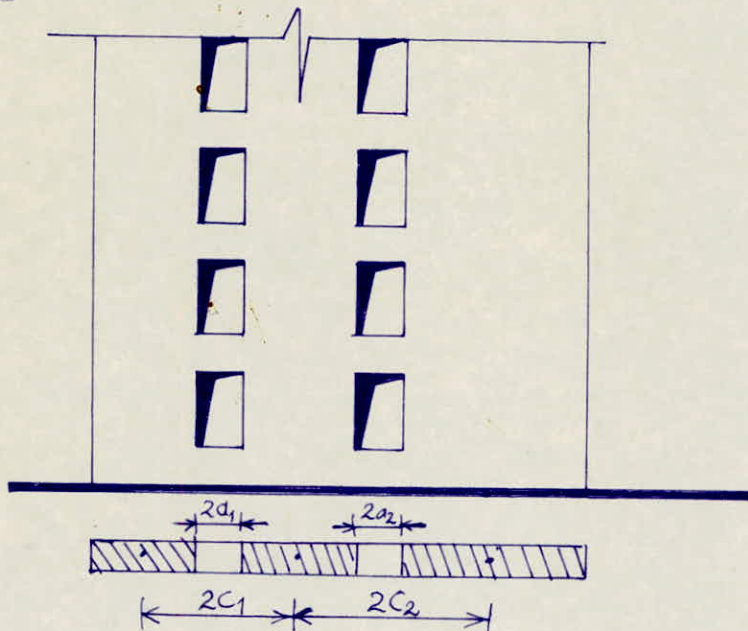
#### 4.2.2 - Refend à plusieurs files d'ouvertures :

En appliquant le même principe nous obtenons

$\alpha = wz$ , degré de monolithisme.

$$w^2 = \frac{6E'}{E(I_1+I_2+\dots)h} \left( \frac{i_1 c_1^2}{a_1^3} + \frac{i_2 c_2^2}{a_2^3} + \dots \right)$$

$$E' = E$$



$$I_e = \frac{I}{\frac{8I}{(I_1+I_2+\dots)} \cdot \frac{\psi_0}{\alpha^2} + 1}$$

Remarque.

- $\alpha$  est une caractéristique géométrique du refent, sa valeur ne dépend pas de l'épaisseur du voile, un refent dépaisseur variable sur la hauteur à une valeur unique de  $\alpha$ .
- Pour l'évaluation de l'inertie équivalente, on supposera que le refents sont encastrés au niveau 0,00m
- Il ne sera tenu compte que des inerties maximales c'est à dire par rapport à des axes perpendiculaires aux petits côtés.

APPLICATION.

VOILE TRANSVERSAL-4- (plein)



$$I = I_e = \frac{b \cdot ht^3}{12} = \frac{0,16 \cdot (3,85)^3}{12} = 0,760 \text{ m}^4$$

Voile-5a- à une file d'ouverture.



$$I_1 = 2,018 \text{ m}^4$$

$$\mathcal{U}_1 = 0,8528 \text{ m}^2$$

$$2C = 4,475 \text{ m}$$

$$I_2 = 0,0803 \text{ m}^4$$

$$\mathcal{U}_2 = 0,2912 \text{ m}^2$$

$$C = 2,2376 \text{ m}$$

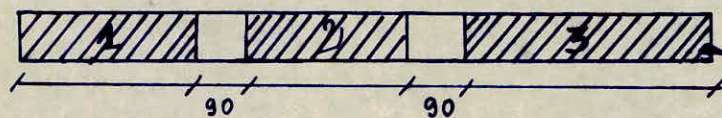
$$m = 0,971 \text{ m}^3$$

$$I = \sum I_i + 2mC = 6,443 \text{ m}^4$$

$$w^2 = +0,033 \quad w = 0,18 \quad \alpha = 0,2 \quad Z = 5,17 \quad = \\ \text{abaque B23b (M. DIVER) donne } \alpha = 0,47$$

$$I_e = 4,989 \text{ m}^4$$

## VOILE LONGITIDUNALE-A-



$$I_1 = I_3 = 4,257 \text{ m}^4 \quad I_2 = 0,648 \text{ m}^4 \quad i = 0,0045 \text{ m}^4$$

$$\mathcal{V}_1 = \mathcal{V}_3 = 1,0936 \text{ m}^2 \quad \mathcal{V}_2 = 0,584 \text{ m}^2 \quad di = (x_C - x_E i)$$

$$d_1 = 6,167 \text{ m} \quad d_2 = 0,475 \text{ m} \quad d_3 = 6,1175 \text{ m}$$

$$I = \sum_i I_i + \sqrt{\sum_i d_i^2} = 92,477 \text{ m}^4$$

$$2C_1 = 2C_2 = 6,1425 \text{ m}$$

$$w^2 = 0,216 \quad w = 0,465 \quad \alpha = w \cdot z = 13,368$$

Connaissant  $\alpha$  et on détermine  $\psi = 0,6$   
(abaque M.DIVER , B 23b)

$$I_e = \frac{92,477}{\frac{8 \cdot 92,477}{9,162} ; \frac{0,6}{(13,368)^2} + 1} = 72,752 \text{ m}^4$$

-ETUDE DU CENTRE DE TORTION-

Les forces horizontales peuvent engendrer deux effets suivant que - L'effort appliqué à un niveau donné passe par le de tortion, il y a alors une translation.

-L'effort appliqué ne passe pas par le centre de tortion la translation est alors accompagnée d'une rotation.

Dans ce dernier cas, il faudra évaluer l'excentricité de l'effort horizontal (supposée agir au centre de gravité des masses) par rapport au centre de tortion (qui est le centre de gravité des inerties)

Le complément parasismique Algerien au PS69 prévoit une excentricité "e" définie comme suit:

$$e' = \max \left\{ \begin{array}{l} "e": \text{théorie des plans} \\ 5\% \text{ de la plus grande dimension en plan} \end{array} \right.$$

On calculera donc l'excentricité théorique (qui définit les positions relatives des centres de gravité des masses et des inerties) qu'on comparera au 5% de la plus grande dimension en plan.

Les coordonnées cartesiennes des centres de masse et de tortion sont définies par les expressions suivantes.

Centre de gravité des masses.

$$x_m = \frac{\sum m_i \cdot x'_i}{\sum m_i}$$

$$y_m = \frac{\sum m_i \cdot y'_i}{\sum m_i}$$

Centre de tortion.

$$x_{ct} = \frac{\sum x_i \cdot I_{xx}^e}{\sum I_{xx}^e}$$

$$y_{ct} = \frac{\sum y_i \cdot I_{yy}^e}{\sum I_{yy}^e}$$

Détermination du centre de gravité des masses.

Pour cela on détermine le centre de gravité de chaque refend (dalle acrotère voile...etc) au niveau de l'étage par rapport à un système d'axes orthonormé convenablement choisis, les résultats sont résumés dans les tableaux suivants.

## -- CENTRE DE TORTION --

Elements	$X'$ (m)	$Y'$ (m)	$(m^4) I_{e}^{XX}$	$(m^4) I_{e}^{YY}$	$(m^5) I_{e}^{XX \cdot X'}$	$I_{e}^{YY \cdot Y'}$ (m <sup>5</sup> )
VLA	10,185	11,52		72,752		838,103
VLB	10,258	9,56		108,514		1037,393
VLC	8,735	6,25		0,106		0,6625
VLD	11,12	3,48		0,479		1,666
VLE	19,24	6,40		0,714		4,569
VLF	19,24	3,24		0,714		2,313
VLG	18,10	0,08		0,470		0,0376
VT 1	0,08	4,005	4,829		0,386	
VT 2	0,068	15,04	0,470		0,0319	
VT 3	3,24	4,777	6,20		20,088	
VT 4	3,84	14,945	0,76		2,918	
VT 5a	7,00	4,799	4,989		34,932	
VT 5b	7,00	14,945	0,76		5,320	
VT 6	10,16	8,428	32,932		334,589	
VT 7	11,92	4,91	0,277		3,301	
VT8	13,40	14,943	0,760		10,184	
VT9	13,62	4,16	10,06		137,0172	
VT 10	16,70	14,943	0,76		12,692	
VT 11	17,38	14,943	10,06		174,428	
VT 12	19,94	15,04	0,47		9,371	
$\Sigma$			73,327	183,749	745,291	1884,75

Calcul de l'excentricité

Centre de masse terrasse.

$$X_m = 11,0m$$

$$Y_m = 9,95m$$

Centre de masse étage courant.

$$X_m = 10,35m$$

$$Y_m = 9,65m$$

Centre de masse R.D.C

$$X_m = 10,355m$$

$$Y_m = 9,654m$$

Centre de masse des Voiles

$$X_m = 10,495m$$

$$Y_m = 9,065m$$

Centre de masse des façades

$$X_m = 11,49m$$

$$Y_m = 9,68m$$

Coordonnées du centre de tortion.

$$X_{ct} = 10,163m$$

$$Y_{ct} = 10,257m$$

Donc l'excentricité est:

$$ex = -0,567m$$

$$ey = 0,657m$$

Excentricité accidentelle  $e_a = 5\% \cdot 22,36 = 1,11m$

On prendra donc la valeur de l'excentricité accidentelle pour la suite de nos calculs.

DISTRIBUTION DES EFFORTS D'ENSEMBLE SUR LES REFENDS.Hypothèse:

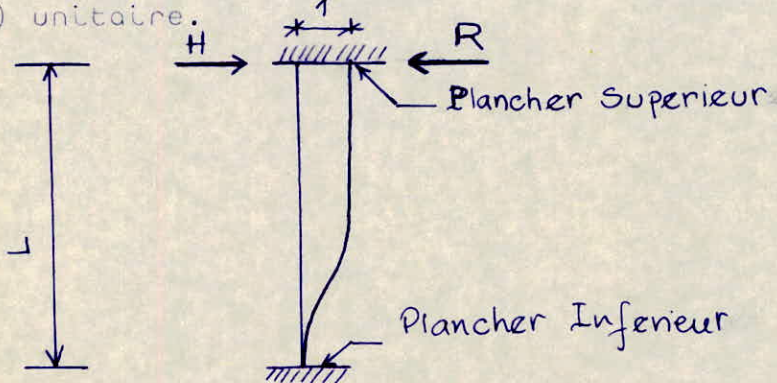
- La raideur de tortion de chaque refend est nulle.
- L'assemblage de plusieurs refends ne forme pas un ensemble rigide, pouvant présenter une raideur à la tortion : c'est à dire que l'étude est menée comme s'il s'agissait de plusieurs refends juxtaposés sans liaison.

METHODE DE CENTRE DE TORTION.

- 1) Si la résultante des efforts extérieurs coïncide avec le centre de tortion de tous les refends, l'effort dans chaque refend est proportionnel à son inertie. En effet, par suite de l'indeformabilité des planchers tous les refends subissent un même déplacement. ( $H'$ )
- 2) Si au contraire la résultante des efforts extérieurs ne passe pas par le centre de tortion, il y a modification des efforts par suite de l'existence d'un moment dû à l'excentricité donc d'un effort supplémentaire dû à la rotation. ( $H''$ ).

Definition

La rigidité à la flexion d'un refend est la force (ou le couple) de rappel pour laquelle le refend réagit quand une force (ou un couple)  $H$  produit une translation (ou une rotation) unitaire.



$$R = \frac{12 E I}{L^3}$$

$R$  = Rigidité

$I$  = Moment d'inertie.

Tous les refends ont le même module d'élasticité la même hauteur et représentant les mêmes conditions aux appuis donc on effectuera le calcul en remplaçant partout la rigidité par le moment d'inertie.

Distribution des efforts tranchantsa/ Force sismique dirigée longitudinalement

(Sens X.X)

$$H'_{xi} = \frac{\bar{H}_x \cdot I_i^{yy}}{\sum I_i^{yy}}$$

$H'_{xi}$  : Effort dû à la rotation sur l'élément i suivant X.X

$$H''_{xi} = \frac{\bar{H}_x e_y I_i^{yy} y_i}{\sum I_i^{yy} y_i^2 + \sum I_j^{xx} x_j^2}$$

$H''_{yj}$  : Effort dû à la rotation sur l'élément j suivant Y.Y

$$H''_{yj} = \frac{\bar{H}_x e_x I_j^{xx} x_j}{\sum I_i^{yy} x_i^2 + \sum I_j^{xx} x_j^2}$$

Pour un élément transversal i on aura

$$H_{xi} = H'_{xi} + H''_{xi} \quad \dots / \dots$$

Pour un élément longitudinal j on aura

$$H_y j = H''y j$$

Force sismique - dirigée transversalement

Sens (Y.Y)

$H' y j$  : Effort de translation sur l'élément j suivant (Y.Y)

$$H' y j = \frac{H_y I_j^{xx}}{\sum I_i^{xx}}$$

$H'' y j$  : Effort dû à la rotation sur l'élément j suivant Y.Y

$$H'' y j = H_y e \cdot \frac{I_j^{xx} x_j}{\sum I_i^{yy} y_i^2 + \sum I_j^{xx} x_j^2}$$

$H.x i$  : Effort dû à la rotation sur l'élément suivant (X.X)

$$H.x i = H_y e \cdot \frac{I_i^{yy} x_i}{\sum I_i^{yy} y_i^2 + \sum I_j^{xx} x_i^2}$$

Pour un élément transversal i on aura

$$H_{x i} = H''x i$$

Pour un élément longitudinal j on aura

$$H_y j = H' y j + H''y j$$

Remarque :

Lorsque le séisme agit transversalement, en plus de la force de translation ( $H'y$ ) les refends transversaux subissent la force de rotation ( $H''y$ ) due à l'excentricité "e".  $H'y$  est soit augmentées; soit y diminué par  $H''y$  suivant que la force extérieure  $H'y$  se trouve à gauche ou à droite du centre de torsion.

Il en est de même pour le sens longitudinal.

Pour simplifier les calculs donnant les effort horizontaux à chaque niveau, on utilisera un artifice de calcul permettant la détermination de ce dernier.

Cette artifice de calcul consiste à prendre l'effort  $H_x$ ,  $H_y$  calculé dans le tableau précédent pour un voile donné dû à  $H_x$  du niveau 28,20m ; puis en se servant de la règle détros on en déduit l'effort  $H_x$  dû à l'effort du niveau considéré.

Exemple:

Le tableau précédent donne pour le voile -A-,  $H_x = 54,41t$  dû  $H_y = 110,20t$  située au niveau 25,38m

$H_x$  du voile -A- pour le niveau 22,56m dû à  $H_y = 157,35t$  sera égale à :

$$H_x = \frac{157,35t \times 54,41}{110,20} = 76,26t$$

- SEISME -AGISSANT LONGITUDINALEMENT -

ETUDE SUIVANT R.P.A.81

$e_{yy} = 1,10m$

NIVEAU: 28,2m

$H_y = 57,16t$

VOILE	$Ie^{yy}(m^4)$	$Y(m)$	$Ie^{yy} \cdot Y(m^5)$	$Ie^{yy} \cdot Y(m^6)$	$H'_x(t)$	$H''_x(t)$	$H_x(t)$	$J(m^6)$
$V_{LA}$	72.752	+2.70	+196.430	530.362	22.631	+5.076	27.706	2433.169
$V_{LB}$	108.514	-1.06	-115.024	121.926	33.756	-2.973	30.783	2433.169
$V_{LC}$	0.106	-4.22	-0.447	1.887	0.032	-0.011	0.021	2433.169
$V_{LD}$	0.479	-6.98	-3.343	23.337	0.149	-0.086	0.063	2433.169
$V_{LE}$	0.714	-4.22	-3.013	12.715	0.229	-0.077	0.145	2433.169
$V_{LF}$	0.714	-7.38	-5.269	38.887	0.222	-0.136	0.086	2433.169
$V_{LG}$	0.470	-10.54	-4.953	52.913	0.146	-0.127	0.019	2433.169
$\sum$	54.992			781.327				

NIVEAU 25,38m

 $e_y = 1,10m$  $H_y = 110,20t$ 

VOILE	A	B	C	D	E	F	G
$H_x(t)$	53.41	59.34	0.04	0.121	0.279	0.155	0.036

NIVEAU 22,56m

 $e_y = 1,10m$  $H_y = 157,35t$ 

VOILE	A	B	C	D	E	F	G
$H_x(t)$	76.26	84.72	0.057	0.172	0.398	0.221	0.0514

 $e_y = 1,10m$  $H_y = 198,61t$ 

NIVEAU 19,74m

VOILE	A	B	C	D	E	F	G
$H_x(t)$	96.25	106.93	0.071	0.217	0.502	0.278	0.0648

 $e_y = 1,10m$ 

NIVEAU 14,92m

 $H_y = 233,97t$ 

VOILE	A	B	C	D	E	F	G
$H_x(t)$	113.40	125.96	0.083	0.255	0.591	0.327	0.0763

$e_y = 1,10m$ 

NIVEAU 14,10m

 $H_y = 263,44t$ 

VOILE	A	B	C	D	E	F	G
$H_x(t)$	127.68	141.82	0.093	0.287	0.665	0.368	0.0859

 $e_y = 1,10m$ 

NIVEAU 11,28m

 $H_y = 287,01t$ 

VOILE	A	B	C	D	E	F	G
$H_x(t)$	139.103	154.50	0.101	0.312	0.724	0.400	0.0935

 $e_y = 1,10m$ 

NIVEAU 8,46m

 $H_y = 304,69t$ 

VOILE	A	B	C	D	E	F	G
$H_x(t)$	147.67	164.01	0.107	0.331	0.768	0.424	0.0992

 $e_y = 1,10m$ 

NIVEAU 5,64m

 $H_y = 316,57t$ 

VOILE	A	B	C	D	E	F	G
$H_x(t)$	153.42	170.39	0.111	0.343	0.797	0.440	0.103

 $e_y = 1,10m$ 

NIVEAU 2,82m.

 $H_y = 322,46t$ 

VOILE	A	B	C	D	E	F	G
$H_x(t)$	156.27	173.56	0.113	0.349	0.811	0.448	0.104

## DISTRIBUTION DES MOMENTS SUR LES REFFENDS

voile niveau	A	B	C	D	E	F	G
28.2	0	0	0	0	0	0	0
25.38	78.13	86.80	0.0592	0.177	0.4089	2.942	0.053
22.56	228.747	254.146	0.172	0.518	1.195	0.679	0.155
19.74	443.80	493.057	0.332	1.003	2.318	1.274	0.30
16.99	715.825	794.59	0.532	1.614	3.733	2.058	0.482
14.10	1035.043	1149.807	0.767	2.334	5.400	2.980	0.697
11.25	1395.07	1549.739	1.029	3.143	7.275	4.018	0.940
8.46	1787.341	1985.429	1.314	4.023	9.317	5.146	1.203
5.64	2203.77	2447.937	1.615	4.956	11.483	6.342	1.483
2.82	2636.41	2928.437	1.928	5.923	13.730	7.537	1.773
0.00	3077.096	3417.876	2.247	6.908	16.017	8.778	2.067

## SEISME TRANSVERSAL

ETUDE SUIVANT R.P.A81

 $ex = 1,10m$ 

NIVEAU 28, 20m

 $Hx = 57,16t$ 

VOILE	$Ie^{xx}$ ( $m^4$ )	X (m)	$Ie^{xx}X$	$Ie^{xx}X^2$	$H'y$ (t)	$H''y$ (t)	$Hy$ (t)
1	4.829	-10.08	-48.676	490.657	3.764	-1.257	2.507
2	0.470	-9.48	-4.455	42.239	0.366	-0.155	0.211
3	6.20	-6.92	-42.904	296.895	4.833	-1.108	3.725
4	0.76	-6.32	-4.803	30.356	0.592	-0.124	0.468
5a	4.989	-3.16	-15.765	49.818	3.889	-0.407	3.482
5b	0.76	-3.16	-2.401	7.589	0.592	-0.062	0.530
6	32.932	0,00	0	0	25,671	0	25,671
7	0.277	1.76	+0.487	0.858	0.215	+0.012	0.227
8	0.760	+3.16	+2.401	3.589	0.592	+0.062	0.654
9	10.06	+3.46	+34.807	120.434	7.841	+0.899	8.740
10	0.760	+6.32	+4.803	30.356	0.592	+0.124	0.716
11	10.06	+7.30	+73.438	536.097	7.841	+1.897	9.738
12	0.47	+9.56	+4.493	42.954	0.366	+0.116	0.482
$\Sigma$	73.327			1651.842			

ex=1,10m  
NIVEAU 25,38m  
Hx=110,20t

voile	1	2	3	4	5a	5b	6	7	8	9	10	11	12
$H_y(t)$	4.833	0.406	7.183	0.903	6.713	1.021	49.49	0.437	1.260	16.850	1.380	18.774	0.929

ex=1,10m  
NIVEAU 22,56m  
Hx =157,35t

voile	1	2	3	4	5a	5b	6	7	8	9	10	11	12
$H_y(t)$	6.900	0.579	10.253	1.287	9.585	1.457	70.666	0.623	1.799	24.059	1.970	26.806	1.326

ex=1,10m  
NIVEAU 19,74m  
Hx =198,61t

voile	1	2	3	4	5a	5b	6	7	8	9	10	11	12
$H_y(t)$	8.709	0.730	12.941	1.624	12.098	1.839	89.188	0.786	2.970	30.367	2.486	33.834	1.673

ex = 1,10m

NIVEAU 16,92m

Hx=233,97t

voile	1	2	3	4	5a	5b	6	7	8	9	10	11	12
$H_y(t)$	10.259	0.859	15.244	1.913	14.251	2.166	105.066	0.925	8.674	35.773	2.928	39.856	1.970

ex := 1,10m

NIVEAU 14,10m

Hx=263,44t

67

voile	1	2	3	4	5a	5b	6	7	8	9	10	11	12
$H_y(t)$	11.541	0.966	17.149	2.159	16.032	2.436	118.299	1.040	3.008	40.244	3.294	44.838	2.216

ex=1,10m

NIVEAU 11,28m

Hx = 287,01t

Voile	1	2	3	4	5a	5s	6	7	8	9	10	11	12
$H_y(t)$	13.334	1.115	19.814	2.485	18.520	2.813	136.822	1.201	3.474	46.498	3.805	51.806	2.560

ex=1,10m

NIVEAU 8,46m

Hx=304,69t

voile	1	2	3	4	5a	5s	6	7	8	9	10	11	12
$H_4(t)$	13.334	1.115	19.814	2.485	18.520	2.813	136.820	1.201	3.474	46.498	3.805	51.606	2.560

ex=1,10m

NIVEAU 5,64m

Hx=316,57t

voile	1	2	3	4	5a	5s	6	7	8	9	10	11	12
$H_4(t)$	13.840	1.157	20.556	2.579	19.283	2.912	142.156	1.246	3.606	48.264	3.949	53.774	2.657

80

ex= 1,10m

NIVEAU 2,82m

Hx=322,46t

voile	1	2	3	4	5a	5s	6	7	8	9	10	11	12
$H_4(t)$	14.089	1.177	20.936	2.625	19.569	2.964	144.80	1.268	3.670	49.132	4.020	54.171	2.704

-- DISTRIBUTION DES MOMENTS SUR LES REFENDS PAR NIVEAU --

VOCLE Niveau	1	2	3	4	5a	5s	6	7	8	9	10	11	12
28.8	0	0	0	0	0	0	0	0	0	0	0	0	0
25.38	7.069	0.595	10.504	1.319	9.819	1.494	72.399	0.640	1.844	24.646	2.019	27.461	1.359
22.56	20.698	1.739	30.762	3.863	28.749	4.373	211.954	1.8723	5.397	72.163	5.910	80.403	3.979
19.74	40.156	3.372	58.674	7.492	55.779	8.482	411.220	3.629	10.470	140.010	11.466	155.996	7.718
16.82	64.715	5.431	96.167	12.072	89.895	13.668	662.731	5.845	16.872	225.645	18.476	251.408	18.436
14.10	93.645	7.853	139.155	17.467	131.950	19.776	959.014	8.454	24.472	326.524	26.733	363.802	17.154
11.25	126.191	10.577	187.515	23.535	177.160	26.46	1292.61	11.387	32.895	440.013	36.022	490.931	22.709
8.46	161.632	13.564	240.178	30.142	226.385	34.124	1656.064	14.579	42.130	563.599	46.138	627.926	28.958
5.64	198.617	16.708	296.054	37.147	278.612	42.057	2041.902	17.983	51.927	694.723	56.868	774.019	35.763
2.82	237.646	19.971	354.050	44.420	332.821	50.269	2442.78	21.496	62.096	830.828	68.004	925.66	43.255
0.00	277.377	23.290	413.059	51.823	387.994	58.627	2851.118	25.072	72.445	969.380	79.340	1080.031	50.881

## SEISME LONGITIDUNAL

ETUDE SUIVANT P.S.69 + COMPLT C.T.C

 $e_y = 1,10m$ 

NIVEAU 28,2m

 $H_y = 60,69t$ 

VOILE	A	B	C	D	E	F	G
$H_x(t)$	29.418	32.685	0.023	0.067	0.153	0.091	0.02

 $e_u = 110m$ 

NIVEAU 25,38m

 $H_u = 117,59t$ 

VOILE	A	B	C	D	E	F	G
$H_x(t)$	56.982	63.310	0.044	0.129	0.296	0.176	0.038

 $e_y = 1,10m$ 

NIVEAU 22,56m

 $H_y = 168,04t$ 

VOILE	A	B	C	D	E	F	G
$H_x(t)$	81.427	90.469	0.062	0.184	0.429	0.251	0.054

 $e_y = 1,10m$ 

NIVEAU 19,74m

 $H_y = 212,43t$ 

VOILE	A	B	C	D	E	F	G
$H_x(t)$	102.923	114.352	0.078	0.232	0.573	0.317	0.068

 $e_y = 1,10m$ 

NIVEAU 16,92m

 $H_y = 250,45t$ 

VOILE	A	B	C	D	E	F	G
$H_x(t)$	121.243	134.706	0.091	0.273	0.627	0.373	0.080

$e_y = 1,10m$ 

NIVEAU 14,10m

 $H_y = 281,93t$ 

VOILE	A	B	C	D	E	F	G
$H_x(t)$	136.398	151.544	0.102	0.307	0.705	0.419	0.090

 $e_y = 1,10m$ 

NIVEAU 11,28m

 $H_y = 306,95t$ 

voile	A	B	C	D	E	F	G
$H_x(t)$	148.401	164.879	0.110	0.334	0.767	0.455	0.097

 $e_y = 1,10m$ 

NIVEAU 8,46m

 $H_y = 325,91t$ 

voile	A	B	C	D	E	F	G
$H_x(t)$	157.453	174.936	0.116	0.354	0.813	0.482	0.102

 $e_y = 1,10m$ 

NIVEAU 5,64m

 $H_y = 338,42t$ 

voile	A	B	C	D	E	F	G
$H_x(t)$	163.436	181.583	0.120	0.367	0.843	0.500	0.105

 $e_y = 1,10m$ 

NIVEAU 2,82m

 $H_y = 344,96t$ 

voile	A	B	C	D	E	F	G
$H_x(t)$	166.541	185.033	0.122	0.373	0.859	0.509	0.106

NIVEAU	A	B	C	D	E	F	G
28.2	0	0	0	0	0	0	0
25.38	82.958	92.171	0.064	0.188	0.431	0.256	0.056
22.56	243.649	270.705	0.188	0.554	1.266	0.752	0.163
19.74	473.272	595.828	0.363	1.071	2.456	1.460	0.345
16.92	763.515	848.301	0.583	1.725	3.459	2.354	0.507
14.10	440.412	1998.718	0.840	2.495	5.727	3.406	0.733
11.85	4490.062	1655.526	1.128	3.361	7.715	4.588	0.987
8.46	1908.553	2120.484	1.438	4.303	9.878	5.871	1.260
5.64	2352.57	2613.804	1.765	5.301	12.171	7.230	1.548
2.82	2813.46	3125.868	2.703	6.336	14.548	8.640	1.844
0.00	3283.106	3647.661	2.419	7.388	16.970	10.075	2.143

- DISTRIBUTION DES MOMENTS SUR LES REFENDS -

--SEISME TRANSVERSAL--

ETUDE SELON P.S.69 +COMPLET.C.T.C

ex=1,10m

NIVEAU 28,20m

Hx=60,59t

voile	1	2	3	4	5a	5b	6	7	8	9	10	11	12
$Hy(t)$	2.661	0.267	3.954	0.498	3.697	0.564	27.256	0.242	0.694	9.281	0.76	10.34	0.512

ex =1,10m

NIVEAU 25,38m

Hx =117,59t

voile	1	2	3	4	5a	5b	6	7	8	9	10	11	12
$Hy(t)$	5.154	0.517	7.658	0.964	7.161	1.092	52.794	0.468	1.344	17.977	1.472	20.028	0.991

ex =1,10m

NIVEAU 22,56m

Hx =168,04t

oo  
5

voile	1	2	3	4	5a	5b	6	7	8	9	10	11	12
$Hy(t)$	7.365	0.738	10.943	13.77	10.233	1.560	75.442	0.668	1.920	25.689	2.103	28.620	1.416

ex = 1,10m

NIVEAU 19,74m

Hx = 212,43t

voile	1	2	3	4	5a	5b	6	7	8	9	10	11	12
Hy(t)	19.395	13.831	1.740	1.740	10.934	1.971	95.358	0.844	2.426	38.470	2.658	36.175	1.789

ex = 1,10m

NIVEAU 16,92m

Hx = 250,45t

voile	1	2	3	4	5a	5b	6	7	8	9	10	11	12
Hy(t)	10.966	1.097	16.292	2.049	15.236	2.321	42.331	0.994	2.857	38.249	3.131	42.614	2.107

ex = 1,10m

NIVEAU 14,10m

Hx = 281,93t

98

voile	1	2	3	4	5a	5b	6	7	8	9	10	11	12
Hy(t)	12.336	1.234	18.328	2.305	17.140	2.611	126.372	1.118	3.214	43.03	3.522	47.940	2.370

NIVEAU 11,28m

ex = 1,10m

Hx = 306,95t

Voile	1	2	3	4	5a	5b	6	7	8	9	10	11	12
H <sub>y</sub> (r)	13.421	1.342	19.940	2.507	18.648	2.840	137.492	1.216	3.496	46.816	3.831	52.158	2.578

NIVEAU 8,46m

ex = 1,10m

Hx = 325,91t

Voile	1	2	3	4	5a	5b	6	7	8	9	10	11	12
H <sub>y</sub> (r)	14.239	1.423	21.156	2.659	19.785	3.013	145.879	1.290	3.709	49.671	4.064	55.339	2.735

NIVEAU 05,64m

ex = 1,10m

Hx = 338,42t

Voile	1	2	3	4	5a	5b	6	7	8	9	10	11	12
H <sub>y</sub> (r)	14.780	1.477	21.959	2.760	20.536	3.127	151.422	1.339	3.849	51.558	42.18	57.441	2.8380

NIVEAU 02,82m

ex = 1,10m

Hx = 344,96t

Voile	1	2	3	4	5a	5b	6	7	8	9	10	11	12
H <sub>y</sub> (r)	15.06	1.505	22.376	2.812	20.926	3.186	154.299	1.364	3.922	52.537	4.298	58.532	2.891

-----DISTRIBUTION DES MOMENTS SUR LES REEPENDS -----

M. (E·m)

voies niveau	1	2	3	4	5a	5b	6	7	8	9	10	11	12
28.2	0	0	0	0	0	0	0	0	0	0	0	0	0
25.38	7.504	0.752	11.150	1.404	10.425	1.590	76.861	0.682	1.957	26.172	2.143	29.158	1.443
22.56	22.038	2.210	32.745	4.122	30.619	4.669	225.741	2.002	5.747	76.867	6.294	85.637	4.238
19.74	42.807	4.290	63.605	8.005	59.476	9.069	438.487	3.885	11.161	102.556	18.224	166.346	8.231
16.82	69.058	6.920	102.608	12.912	95.950	14.627	707.997	6.266	18.002	149.310	19.720	268.359	13.276
14.10	99.983	10.013	148.551	18.690	138.916	21.172	1024.170	9.069	26.059	240.875	28.549	388.531	19.218
11.25	134.770	13.493	200.836	25.191	187.250	28.535	1380.539	12.221	35.183	340.738	38.481	523.721	25.901
8.46	172.617	17.278	256.467	32.260	239.838	36.544	1768.966	15.651	44.981	470.082	49.285	670.807	33.171
5.64	212.771	21.291	316.127	39.759	295.631	45.041	2179.645	19.288	55.441	610.154	60.745	826.863	40.884
2.92	254.445	25.456	378.052	47.540	353.543	53.859	2606.655	23.064	66.295	755.548	72.640	988.847	48.887
0.00	296.920	29.700	44.1152	55.472	412.554	62.843	3041.778	26.911	77.355	903.702	84.760	1153.907	57.040

## CHAPITRE 6

**ETUDE DES VOILES**

## I . Introduction .

Les voiles ayant participé au contreventement feront l'objet de notre étude.

Parmi ces refends, nous distinguerons les refends pleins, et les refends avec ouvertures. La méthode utilisée pour le calcul des efforts sollicitant chaque élément de refend est celle exposée dans l'ouvrage de Mr M.DIVER, "Calcul Pratique des Tours en Béton Armé".

Remarque : Détermination des efforts internes M, N et T engendrés par les forces latérales.

La méthode développée d'ALBAGES et GOULET est donnée pour un chargement rectangulaire, dû au vent, mais dans notre cas, nous avons un chargement triangulaire dû au séisme. Pour cela nous avons fait une modification dans la première formule dont nous donnerons la démonstration plus loin.

## 2. Sollicitations Horizontales.

### 2.1 Refends à une file d'ouverture :

#### a/ Hypothèse.

- Les efforts localisés transmis par les linteaux peuvent être considérés comme répartis le long de la fibre moyenne de chaque élément de refend.
- Les éléments de refend subissent le même déplacement horizontal au niveau de chaque étage. De ces deux hypothèses, on peut admettre qu'un refend avec ouvertures peut être assimilé du point de vue de la résistance aux efforts horizontaux, à la structure constituée par deux éléments de refends liés par des linteaux uniformément distribués sur la hauteur du bâtiment.

#### b/ Etude des linteaux

Etapes de la méthode exposées dans l'ouvrage de M.DIVER.

- Etablir.  $\frac{Y}{Z} = \frac{z}{Z}$  où : z : côte du niveau considéré  
Z : hauteur du bâtiment.

.../...

- Ayant  $\alpha$  et  $\frac{\psi}{3}$ , on détermine la valeur de  $\Phi$  à partir de l'abaque B. 23 a.
- Calculer l'effort tranchant à la section d'encastrement du linteau à partir de la formule suivante.

$$\pi = \frac{H_0 m L}{I} \Phi$$

$H_0$  : Effort tranchant d'ensemble à la base du refend.

- Dimensionner le linteau en le considérant comme une poutre encastree aux extrémités.

Le moment d'encastrement  $M = \pi \cdot a$ , l'effort tranchant  $T = \pi$  et les efforts provenant du plancher seront superposés.

#### c/ Etude des éléments de refends.

Le calcul des éléments de refends est effectué au droit de chaque linteau.

- Avec  $\alpha$  et  $\frac{\psi}{3}$  trouver la valeur de  $\Psi$  à partir de l'abaque B.23b.
- Calculer les moments dans les éléments de refends.

$$M_1 = \frac{I_1}{I_1 + I_2} H_0 Z \left[ \frac{(1-\frac{\psi}{3})^2 (2+\frac{\psi}{3})}{3} - \frac{2cm}{I} \Psi \right]$$

$$M_2 = \frac{I_2}{I_1 + I_2} H_0 Z \left[ \frac{(1-\frac{\psi}{3})^2 (2+\frac{\psi}{3})}{3} - \frac{2cm}{I} \Psi \right]$$

- Calculer les forces axiales dans les éléments des refend provoqués par l'action sismique.

A chaque étage on obtient  $N = \sum \pi$  où  $\sum \pi$  est la somme des efforts à partir du sommet jusqu'à l'étage considéré.

#### Démonstration de la formule donnant les moments dans les refends.

Dans le cas du séisme nous avons une charge qui est triangulaire.

.../...

d/ Verification de l'Equilibre extérieur à la Base du Refend:

On doit avoir  $M = M_1 + M_2 + 2 N.C$

où  $M$  : moment d'ensemble distribué au refend pris en considération. Les valeurs  $M$ ,  $M_1$ ,  $M_2$  et  $N$  sont ceux calculés à la base du refend.

e/ Cas des petites ouvertures:

Quand  $\alpha > 10$  on peut considérer que pratiquement  $\alpha \rightarrow \infty$

Les variations de  $\Phi$  et  $\kappa$  sont linéaires.

A la base:

$$\Phi = 1 ; \kappa = \frac{H_0 m L}{I}$$

Au sommet :

$$\Phi = 0 ; \kappa = 0$$

Le refend se comporte comme un mur plein, l'influence des ouvertures ayant un caractère local.

$$\kappa = \frac{H_0 m L}{I} (1 - \frac{\ell}{S})^2$$

f/ Cas de grandes ouvertures

Quand  $\alpha < 1$ , on peut considérer que pratiquement  $\alpha \rightarrow 0$  en conséquence  $\Phi = 0$  et  $\kappa = 0$ , la rigidité des linteaux étant très faible les deux éléments de refend sont simplement entrelacés par les linteaux donc assujettis aux mêmes déformations horizontales. La répartition du moment fléchissant est proportionnelle aux inerties des refends ( $\Psi = 0$ ).

$$M_1 = \frac{I_1}{I_1 + I_2} M \quad ; \quad M_2 = \frac{I_2}{I_1 + I_2} M$$

Conclusion

L'examen des contraintes donne une idée du comportement du refend. On voit que les petites ouvertures ne l'affectent pratiquement pas. L'accroissement des dimensions des ouvertures perturbe le comportement du refend, qui se sépare en deux éléments distincts quand ces ouvertures deviennent relativement très grandes.

.../...

Pour l'effort tranchant  $\tau$  dans les linteaux, sa valeur diminue généralement au fur et à mesure que les ouvertures augmentent pour devenir négligeable quand  $\alpha < 1$ ; ne font exception à cette règle que les linteaux proches du sommet.

## 2.2 Refend à plusieurs files d'ouvertures

La méthode utilisée pour le calcul des refends à une file d'ouverture peut être généralisée dans le cas des refends à plusieurs files d'ouvertures, en négligeant la déformation due aux efforts normaux dans les éléments de refend.

$$\alpha = w \cdot z \\ \text{avec } w^i = \frac{6 E'}{E(I_1 + I_2 + \dots) \ell} \left( \frac{i_1 c_1^2}{a_1^3} + \frac{i_2 c_2^2}{a_2^3} + \dots \right)$$

Ensuite on calcule l'effort tranchant dans les linteaux.

Pour la première série de linteaux.

$$\tau_1 = H_0 \ell \frac{i_1 c_1}{2a_1^3 \left( \frac{i_1 c_1^2}{a_1^3} + \frac{i_2 c_2^2}{a_2^3} + \dots \right)} \Phi$$

Pour la détermination de  $\Phi$ , on utilise l'abaque B 23.a. de même, on évalue  $\tau_2, \tau_3, \dots$ , etc.

$$N_1 = \sum \tau_1$$

$$N_2 = \sum \tau_2 - \sum \tau_1$$

$$N_3 = \sum \tau_3 - \sum \tau_2$$

$(\sum \tau_1, \sum \tau_2, \dots)$  étant les sommes des efforts  $\tau$  à partir du sommet jusqu'à l'étage considéré.

Les moments dans les éléments de refend sont donnés approximativement par la formule.

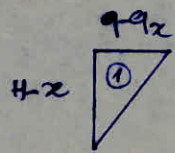
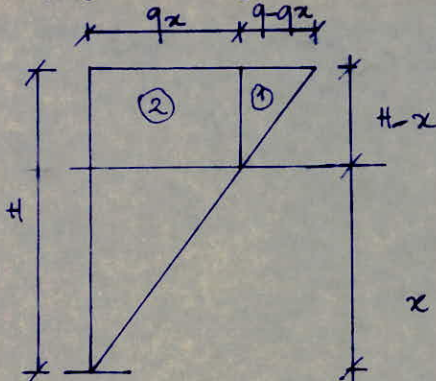
$$M_1 = \frac{I_1 H_0 Z}{I_1 + I_2 + \dots} \left[ \frac{(1-\frac{1}{3})^2 (2+\frac{1}{3})}{3} - \psi \right]$$

$$M_2 = \frac{I_2 H_0 Z}{I_1 + I_2 + \dots} \left[ \frac{(1-\frac{1}{3})^2 (2+\frac{1}{3})}{3} - \psi \right]$$

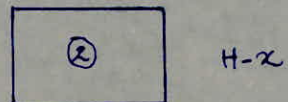
Pour l'évaluation des valeurs de  $\psi$  on utilise la figure B.23b on vérifie l'équilibre extérieur par la relation.

$$M = M_1 + M_2 + M_3 + \dots + 2N_1(c_1 + c_2 + \dots) \\ + 2N_2(c_2 + c_3 + \dots) + \dots$$

DÉMONSTRATION DE LA FORMULE DONNANT LES MOMENTS DANS LES REFENDS POUR UNE CHARGE TRIANGULAIRE. (SEISME)



$$M_1 = \frac{q-q_x}{2} (H-x) \cdot \frac{2}{3} (H-x) = \frac{q-q_x}{3} (H-x)^2$$



$$M_2 = q_x \cdot \frac{(H-x)^2}{2}$$

$$\text{d'où } M = M_1 + M_2 = \frac{1}{3} (q-q_x) (H-x)^2 + \frac{q_x}{2} (H-x)^2$$

$$\text{d'autre part nous avons } \frac{q_x}{q} = \frac{x}{H} \Rightarrow q_x = q \frac{x}{H} \text{ et } \frac{x}{H} = \frac{\psi}{3}$$

$$M = \frac{1}{3} \left( q - q \frac{x}{H} \right) (H-x)^2 + q \frac{x}{2H} (H-x)^2$$

$$M = (H-x)^2 \left[ \frac{1}{3} \left( q - q \frac{x}{H} \right) + q \frac{x}{H} \right]$$

$$M = q \frac{(H-x)^2}{6} (2+\psi) = \frac{q}{6} \left[ H \left( 1 - \frac{x}{H} \right) \right]^2 (2+\psi)$$

$$M = \frac{q}{6} H^2 (1-\psi)(2+\psi) \quad \text{et } H_0 = q \frac{H}{2} \Rightarrow q = \frac{2H_0}{H} \text{ avec } H=2$$

$$M = \frac{H_0}{3} \frac{2}{(1-\psi)} (2+\psi)$$

Les moments dans les éléments de refend sont

$$M_1 = \frac{I_1}{I_1 + I_2} \left[ M - \frac{2c}{h} \int_x^H \pi dx \right]$$

$$M_2 = \frac{I_2}{I_1 + I_2} \left[ M - \frac{2c}{h} \int_x^H \pi dx \right]$$

$$\text{avec } \int_x^H \pi dx = \frac{H_0 m h z}{I} \psi(\alpha, \psi)$$

nous aurons donc

$$M_1 = \frac{I_1}{I_1 + I_2} H_0 z \left[ \frac{(1-\psi)^2 (2+\psi)}{3} - \frac{2cm}{I} \psi \right]$$

$$M_2 = \frac{I_2}{I_1 + I_2} H_0 z \left[ \frac{(1-\psi)^2 (2+\psi)}{3} - \frac{2cm}{I} \psi \right]$$

## VOILE LONGITIDUNALE-A-

NIVEAU	$\Psi$	$\Phi$	$\Psi$	$\pi_1^*$	$\pi_2^*$	$M_1$	$M_2$	$M_3$	$N_1$	$N_2$	$N_3$
28.20	1.00	0.00	0.00	0.000	0.000	0.000	0.000	0.000	0.000	0.000	0.000
25.38	0.90	0.20	0.01	4.144	4.144	-0.682	-0.103	-0.676	4.144	"	4.144
22.56	0.80	0.35	0.04	7.392	7.392	-5.460	-0.831	-5.459	11.536	"	11.536
19.74	0.70	0.50	0.08	10.639	10.639	+2.047	+0.311	+2.043	22.175	"	22.175
16.92	0.60	0.62	0.13	13.349	13.349	+17.745	+2.701	+17.744	35.524	"	35.524
14.10	0.50	0.73	0.22	15.879	15.879	-23.88	-3.635	-23.879	51.403	"	51.403
11.25	0.40	0.83	0.30	18.229	18.229	-24.570	-3.74	-24.569	69.632	"	69.632
8.46	0.30	0.90	0.37	20.038	20.038	+11.602	+1.766	+11.601	89.670	"	89.670
5.64	0.20	0.97	0.46	21.853	21.853	+19.100	+2.908	+19.103	111.523	"	111.523
2.82	0.10	0.99	0.56	22.771	22.771	+14.332	+2.181	+14.327	134.294	"	134.294
0.00	0.00	1.00	0.66	23.507	23.507	13.650	2.077	13.650	157.801	"	157.801

+ 5

## VOILE LONGITIDUNALE - B-

NIVEAU	$\psi$	$\Phi$	$\Psi$	$\pi_1^*$	$\pi_2^*$	$M_1$	$M_2$	$M_3$	$N_1$	$N_2$	$N_3$
28.20	1.00	0	0.00	0	0	0	0	0	0	0	0
25.38	0.90	0.20	0.01	3.623	4.339	-0.531	-0.0730	-1.027	3.623	-0.709	4.339
22.56	0.80	0.35	0.04	6.621	7.710	-4.248	-0.584	-8.217	10.944	-1.798	18.042
19.74	0.70	0.50	0.08	9.520	11.091	+1.593	+0.219	+3.081	19.764	-3.369	23.133
16.92	0.60	0.62	0.13	11.927	13.903	-13.808	-1.899	-26.709	31.691	-3.345	37.036
14.10	0.50	0.73	0.22	14.169	16.526	-18.58	2.555	-35.939	45.86	-7.702	53.562
11.25	0.40	0.83	0.30	16.246	18.956	-19.119	-2.629	-36.982	62.106	-10.412	72.518
8.46	0.30	0.90	0.37	17.830	20.689	+9.028	+1.241	+17.463	79.90	-13.71	93.207
5.64	0.20	0.97	0.46	19.439	22.681	+14.87	+2.045	+28.763	99.375	-16.513	115.888
2.89	0.10	0.99	0.56	20.171	23.598	+11.153	+1.533	+21.573	119.552	-19.9	139.486
0.00	0.00	1.00	0.66	20.775	24.321	+10.621	1.460	+20.544	140.307	23.48	163.807

65

## VOILE LONGITIDUNAL-C-

NIVEAU	$\varphi$	$\dot{\varphi}$	$\psi$	$\pi(t)$	$M_1(t_m)$	$M_2(t_m)$	$N(t)$
28.90	1.00	0.00	0.00	0.000	0.000	0.000	0.000
25.38	0.90	0.20	0.01	0.015	0.016	$1.46 \cdot 10^{-5}$	0.015
22.56	0.80	0.35	0.04	0.027	0.062	$5.69 \cdot 10^{-5}$	0.042
19.74	0.70	0.50	0.08	0.039	0.146	$1.34 \cdot 10^{-4}$	0.081
16.92	0.60	0.62	0.13	0.049	0.262	$2.4 \cdot 10^{-4}$	0.130
14.10	0.50	0.73	0.22	0.057	0.353	$3.2 \cdot 10^{-4}$	0.187
11.28	0.40	0.83	0.30	0.065	0.495	$4.5 \cdot 10^{-4}$	0.252
8.46	0.30	0.90	0.37	0.071	0.682	$6.2 \cdot 10^{-4}$	0.323
5.72	0.20	0.97	0.46	0.076	0.855	$7.8 \cdot 10^{-4}$	1.293
2.82	0.10	0.99	0.56	0.078	1.026	$9.4 \cdot 10^{-4}$	2.283
0	0.00	1.00	0.66	0.079	1.204	$1.11 \cdot 10^{-3}$	2.362

6

## VOILE TRANSVERSAL -1-

NIVEAU	$\Psi$	$\dot{\Psi}$	$\Psi$	$\pi(t)$	$M_1(t_m)$	$M_2(t_m)$	$N(t)$
28.20	1.00	0.29	0.00	1.300	0.000	0.000	1.3
25.38	0.90	0.38	0.005	1.435	2.740	0.0126	2.735
22.56	0.80	0.39	0.04	1.749	6.097	0.0281	4.484
19.74	0.70	0.49	0.08	2.197	14.700	0.067	6.681
16.92	0.60	0.58	0.14	2.601	24.505	0.113	9.282
14.10	0.50	0.65	0.20	2.915	39.058	0.180	12.197
11.28	0.40	0.67	0.28	3.004	53.231	0.244	15.201
8.46	0.30	0.66	0.35	2.960	72.736	0.335	18.161
5.72	0.20	0.56	0.41	2.511	96.783	0.446	20.672
2.89	0.10	0.38	0.45	1.704	126.748	0.584	22.376
0	0.00	0.00	0.47	0.000	161.839	0.746	22.376

VOILE TRANSVERSAL-3- à UNE FILE D'OUVERTURE.

NIVEAU	$\xi$	$\Phi$	$\Psi$	$\pi(t)$	$M_1$ (t.m)	$M_2$ (t.m)	$N(t)$
28.2	1.00	0	0	0	0	0	0
25.38	0.90	0.20	0.01	1.741	1.753	0.0589	1.654
22.56	0.80	0.35	0.04	3.047	6.254	0.210	4.788
19.74	0.70	0.50	0.08	4.350	16.126	0.542	9.138
16.92	0.60	0.62	0.13	5.397	30.287	1.016	14.535
14.10	0.50	0.73	0.22	6.355	36.113	1.214	20.890
11.28	0.40	0.83	0.30	7.225	51.477	1.731	28.115
8.46	0.30	0.90	0.37	7.835	75.179	2.528	35.950
5.72	0.20	0.97	0.46	8.367	94.773	3.187	44.317
2.82	0.10	0.99	0.56	8.618	112.884	3.796	52.935
0	0.00	1,00	0.66	8.705	132.138	4.444	61.640

VOILE TRANSVERSAL --5a--  
a une file d'ouverture

NIVEAU	$\Psi$	$\Phi$	$\Psi$	$\pi(t)$	$M_1 (t_m)$	$M_2 (t_m)$	$N(t)$
28.2	1.00	0.29	0.00	2.411	0	0	2.411
25.38	0.90	0.31	0.01	2.578	1.551	0.0617	4.989
22.56	0.80	0.40	0.04	3.320	5.496	0.218	8.309
19.74	0.70	0.50	0.09	4.158	10.775	0.428	12.467
16.92	0.60	0.58	0.15	4.823	19.049	0.757	17.290
14.10	0.50	0.62	0.21	5.156	35.403	1.408	22.446
11.28	0.40	0.66	0.30	5.488	45.471	1.809	27.934
8.46	0.30	0.64	0.36	5.322	70.522	2.806	33.256
5.72	0.20	0.55	0.41	4.574	102.337	4.0721	37.830
2.82	0.10	0.38	0.47	3.160	132.696	5.280	40.990
0	0.00	0.00	0.48	0.00	182.072	7.242	40.990

16  
10

## VOILE TRANSVERSAL -6-

NIVEAU	$\varphi$	$\Phi$	$\Psi$	$\pi(t)$	$M_1(t_m)$	$M_2(t_m)$	$N(t)$
28.2	1.00	0.30	0	10.967	0.000	0.000	10.967
25.38	0.90	0.35	0.01	12.795	1.988	6.004	23.762
22.56	0.80	0.40	0.04	14.623	4.192	19.543	38.385
19.74	0.70	0.50	0.08	18.279	12.952	60.382	56.664
16.92	0.60	0.58	0.15	21.203	14.760	68.811	77.867
14.10	0.50	0.62	0.22	22.666	25.222	117.584	100.533
11.28	0.40	0.65	0.26	23.763	59.945	279.463	124.296
8.46	0.30	0.63	0.35	23.031	72.022	335.766	147.327
5.72	0.20	0.55	0.41	20.107	105.475	421.724	167.434
2.82	0.10	0.35	0.45	12.795	153.180	714.125	180.229
0	0.00	0.00	0.48	0.00	208.009	969.738	180.999

00

VOILE TRANSVERSAL -9-  
à une file d'ouverture

NIVEAU	$\phi$	$\Phi$	$\Psi$	$\pi(t)$	$M_1 (t_m)$	$M_2 (t_m)$	$N (t)$
28.2	1.00	0	0	0	0	0	0
25.38	0.90	0.20	0.01	3.177	5.048	0.019	3.177
22.56	0.80	0.35	0.04	5.561	18.383	0.357	8.738
19.74	0.70	0.50	0.08	7.944	45.374	0.881	16.682
16.92	0.60	0.62	0.15	9.851	67.124	1.304	26.533
14.10	0.50	0.73	0.22	11.59	105.184	2.043	38.123
11.28	0.40	0.83	0.30	13.187	148.746	2.889	51.31
8.46	0.30	0.90	0.35	14.30	227.452	4.418	65.610
5.72	0.20	0.97	0.45	15.41	273.860	5.320	81.020
2.82	0.10	0.99	0.57	15.73	309.529	6.013	96.750
0	0.00	1.00	0.66	15.88	372.182	7.230	112.630

VOIL

VOILE TRANSVERSAL-11-  
à une file d'ouverture

NIVEAU	$\Psi$	$\Phi$	$\Psi^*$	$\pi(t)$	$M_1 (t_m)$	$M_2 (t_m)$	$N(t)$
28.2	1.00	0	0	0	0	0	0
25.38	0.90	0.20	0.01	3.539	5.624	0.021	3.539
22.56	0.80	0.35	0.04	6.195	20.481	0.397	9.734
19.74	0.70	0.50	0.08	8.850	50.553	0.981	18.584
16.92	0.60	0.62	0.15	10.975	74.787	1.452	29.559
14.10	0.50	0.73	0.22	12.913	117.192	2.276	42.472
11.28	0.40	0.83	0.30	14.692	165.727	3.218	57.164
8.46	0.30	0.90	0.35	15.932	253.418	4.922	73.096
5.72	0.20	0.97	0.45	17.169	305.124	5.927	90.265
2.82	0.10	0.99	0.57	17.525	344.865	6.699	107.790
0	0.00	1.00	0.66	17.692	414.670	8.055	125.482

## VOILE LONGITUDINAL - A.

NIVEAU (m)	G(t)	P(t)	P'(t)	$G + \frac{P'}{5}(t)$	$\sigma_v$	$SIV = (G + \frac{P'}{5}) \sigma_v$
28.2	35,996	4,381	4,381	36,872	0.157	5.788
25.38	46.673	7.684	7.684	48.209	0.141	6.797
22.56	46.673	7.684	6.90	48.053	0.125	6.006
19.74	46.673	7.684	6.133	47.899	0.110	5.268
$\sum$	176.015	27.433	25.098	181.033		23.851
16.92	46.673	7.684	5.366	47.746	0.094	4.488
14.10	46.673	7.684	4.60	47.593	0.078	3.712
11.28	46.673	7.684	3.833	47.439	0.062	2.941
8.46	46.673	7.684	3.833	47.439	0.047	2.229
$\sum$	362.707	58.169	42.730	371.25		37.222
5.64	46.673	7.684	3.833	47.439	0.031	1.470
2.82	46.673	7.684	3.833	47.439	0.015	0.711
0.00	46.673	7.684	3.833	47.439	0.000	0.000
$\sum$	502.726	81.221	54.229	513.567		39.404

## VOILE LONGITUDINAL - B

NIVEAU	$G(t)$	$P(t)$	$P'(t)$	$G + \frac{P'}{5}(t)$	$\sigma_v$	$SIV = (G + \frac{P'}{5}) \sigma_v$
28.2	41.923	4.994	4.994	42.921	0.157	6.738
25.38	54.066	8.739	8.739	55.813	0.141	6.869
22.56	54.066	8.739	7.865	55.639	0.125	6.954
19.74	54.066	8.739	6.991	55.464	0.110	6.101
$\Sigma$	204.121	31.211	28.589	209.837		27.662
16.92	54.066	8.739	6.117	55.289	0.094	5.197
14.10	54.066	8.739	5.243	55.114	0.078	4.298
11.28	54.066	8.739	4.369	54.939	0.062	3.406
8.46	54.066	8.739	4.369	54.939	0.047	2.582
$\Sigma$	420.385	66.167	48.687	430.118		43.145
5.64	54.066	8.739	4.369	54.939	0.031	1.703
2.82	54.066	8.739	4.369	54.939	0.015	0.824
0.00	54.066	8.739	4.369	54.939	0.000	0.000
$\Sigma$	582.283	92.384	61.194	594.925		45.672

## VOILE LONGITUDINAL - C -

NIVEAU (m)	G(t)	P(t)	P'(t)	$G + \frac{P'}{5}(t)$	$\sigma_v$	$SIV = (G + \frac{P'}{5}) \sigma_v$
28.2	3.627	0.45	0.45	3.717	0.157	0.583
25.38	5.141	0.393	0.393	5.219	0.141	0.735
22.56	5.141	0.393	0.354	5.211	0.125	0.651
19.74	5.141	0.393	0.315	5.204	0.110	0.572
$\Sigma$	19.050	1.629	1.512	19.352		2.541
16.92	5.141	0.393	0.275	5.196	0.094	0.488
14.10	5.141	0.393	0.236	5.188	0.078	0.404
11.28	5.141	0.393	0.196	5.180	0.062	0.321
8.46	5.141	0.393	0.196	5.180	0.047	0.243
$\Sigma$	39.614	3.201	2.415	40.096		3.997
5.64	5.141	0.393	0.196	5.180	0.031	0.160
2.82	5.141	0.393	0.196	5.180	0.015	0.077
0.00	5.141	0.393	0.196	5.180	0.000	0.000
$\Sigma$	55.037	4.38	3.003	55.637		4.234

## VOILE LONGITUDINAL - D -

NIVEAU (m)	G(t)	P(t)	P'(t)	$G + \frac{P'(t)}{5}$	$\sigma_y$	$SIV = (G + \frac{P'}{5}) \sigma_y$
28.2	2.960	0.059	0.059	2.971	0.151	0.466
25.38	2.162	0.103	0.103	2.182	0.141	0.307
22.56	2.162	0.103	0.093	2.180	0.125	0.272
19.74	2.162	0.103	0.082	2.178	0.110	0.239
$\Sigma$	9.446	0.368	0.337	9.511		1.284
16.92	2.162	0.103	0.072	2.176	0.094	0.204
14.10	2.162	0.103	0.062	2.174	0.078	0.169
11.28	2.162	0.103	0.051	2.172	0.062	0.134
8.46	2.162	0.103	0.051	2.172	0.047	0.102
$\Sigma$	18.094	0.78	0.624	18.205		1.893
5.64	2.162	0.103	0.051	2.172	0.031	0.067
2.82	2.162	0.103	0.051	2.172	0.015	0.032
0,00	2.162	0.103	0.051	2.172	0.000	0.000
$\Sigma$	24.58	1.089	0.777	24.721		1.992

## VOILE LONGITUDINAL - E -

NIVEAU (m)	G(t)	P(t)	P'(t)	$G + \frac{P'}{5}(t)$	$\sigma_v$	$SIV = (G + \frac{P'}{5})\sigma_v$
28.2	10.065	1.174	1.174	10.299	0.157	1.616
25.38	14.010	2.055	2.055	14.421	0.141	2.033
22.56	14.010	2.055	1.849	14.319	0.125	1.797
19.74	14.010	2.055	1.644	14.338	0.110	1.577
$\Sigma$	52.095	7.339	6.722	53.437		7.023
16.92	14.010	2.055	1.438	14.297	0.094	1.343
14.10	14.010	2.055	1.232	14.256	0.078	1.111
11.28	14.010	2.055	1.027	14.215	0.062	0.881
8.46	14.010	2.055	1.027	14.215	0.047	0.668
$\Sigma$	108.135	15.559	11.446	110.42		11.026
5.64	14.010	2.055	1.027	14.215	0.031	0.440
2.82	14.010	2.055	1.027	14.215	0.015	0.213
0.00	14.010	2.055	1.027	14.215	0.000	0.000
$\Sigma$	150.165	21.724	14.527	153.065		11.679

## VOILE LONGITUDINAL - F -

NIVEAU (m)	G(t)	P(t)	P'(t)	$G + \frac{P'}{5}(t)$	$\sigma_v$	$SIV = (G + \frac{P'}{5})\sigma_v$
28.2	8.626	0.967	0.967	8.819	0.157	1.384
25.38	12.454	1.692	1.692	12.792	0.141	1.803
22.56	12.454	1.692	1.523	12.758	0.125	1.594
19.74	12.454	1.692	1.353	12.724	0.110	1.399
$\Sigma$	45.988	6.043	5.535	47.093		6.18
16.92	12.454	1.692	1.184	12.690	0.094	1.192
14.10	12.454	1.692	1.015	12.657	0.078	0.981
11.28	12.454	1.692	0.846	12.623	0.062	0.782
8.46	12.454	1.692	0.846	12.623	0.047	0.593
$\Sigma$	95.804	12.811	9.426	97.686		9.734
5.64	12.454	1.692	0.846	12.623	0.031	0.391
2.82	12.454	1.692	0.846	12.623	0.015	0.189
0.00	12.454	1.692	0.846	12.623	0.000	0.000
$\Sigma$	133.166	17.887	11.964	135.555		10.314

## VOILE LONGITUDINAL -G-

NIVEAU (m)	G(t)	P(t)	P'(t)	$G + \frac{P'}{5}(t)$	$\sigma_v$	$SIV = (G + \frac{P'}{5})\sigma_v$
28.2	3.962	0.379	0.379	4.037	0.157	0.633
25.38	7.079	0.663	0.663	7.211	0.141	1.016
22.56	7.079	0.663	0.596	7.198	0.125	0.899
19.74	7.079	0.663	0.530	7.185	0.110	0.790
$\Sigma$	25.199	2.368	2.168	25.631		3.368
16.92	7.079	0.663	0.464	7.171	0.094	0.674
14.10	7.079	0.663	0.397	7.158	0.078	0.558
11.28	7.079	0.663	0.331	7.145	0.062	0.442
8.46	7.079	0.663	0.331	7.145	0.041	0.335
$\Sigma$	53.515	5.02	3.691	54.25		5.377
5.64	7.079	0.663	0.331	7.145	0.031	0.221
2.82	7.079	0.663	0.331	7.145	0.015	0.107
0.00	7.079	0.663	0.331	7.145	0.000	0.000
$\Sigma$	74.752	7.009	4.684	75.685		5.705

## VOILE TRANSVERSAL -1-

NIVEAU (m)	G(t)	P(t)	P'(t)	$G + \frac{P'}{5}(t)$	$\sigma_v$	$S(v = (G + \frac{P'}{5}) \sigma_v)$
28.2	10.783	1.095	1.095	11.002	0.157	1.727
25.38	15.996	1.916	1.916	16.381	0.141	2.309
22.56	15.996	1.916	1.724	16.340	0.125	2.042
19.74	15.996	1.916	1.533	16.302	0.110	1.793
$\Sigma$	58.771	6.843	6.268	60.025		7.871
16.92	15.996	1.916	1.341	16.264	0.094	1.528
14.10	15.996	1.916	1.149	16.225	0.078	1.265
11.28	15.996	1.916	0.958	16.187	0.062	1.003
8.46	15.996	1.916	0.958	16.187	0.047	0.760
$\Sigma$	129.755	14.507	10.674	108.701		12.427
5.64	15.996	1.916	0.958	16.187	0.031	0.501
2.82	15.996	1.916	0.958	16.187	0.015	0.242
0.00	15.996	1.916	0.958	16.187	0.000	0.000
$\Sigma$	170.743	20.255	13.548	157.262		13.17

111

## VOILE TRANSVERSAL - 2 -

NIVEAU (m)	G(t)	P(t)	P'(t)	$G + \frac{P'}{5}(t)$	$\sigma_v$	$Siv = (G + \frac{P'}{5})\sigma_v$
28.2	3.962	0.379	0.379	4.037	0.157	0.633
25.38	7.293	0.663	0.663	7.425	0.141	1.046
22.56	7.293	0.663	0.596	7.412	0.125	0.926
19.74	7.293	0.663	0.530	7.399	0.110	0.813
$\Sigma$	25.841	2.368	2.168	26.273	0.533	3.418
16.92	7.293	0.663	0.464	7.385	0.094	0.694
14.10	7.293	0.663	0.391	7.372	0.078	0.575
11.28	7.293	0.663	0.331	7.359	0.062	0.456
8.46	7.293	0.633	0.331	7.359	0.047	0.345
$\Sigma$	55.013	5.02	3.691	55.748	0.814	5.488
5.64	7.293	0.633	0.331	7.359	0.031	0.228
2.82	7.293	0.633	0.331	7.359	0.015	0.110
0.00	7.293	0.633	0.331	7.359	0.00	0.000
$\Sigma$	76.892	7.009	4.684	77.825	0.86	5.826

## VOILE TRANSVERSAL -3-

NIVEAU (m)	G(t)	P(t)	P'(t)	$G + \frac{P'(t)}{5}$	$\sigma_v$	$SIV = \left(G + \frac{P'}{5}\right) \sigma_v$
28.2	19.855	2.382	2.382	20.331	0.157	3.192
25.38	24.332	4.168	4.168	25.160	0.141	3.548
22.56	24.332	4.168	3.751	25.082	0.125	3.135
19.74	24.332	4.168	3.334	24.998	0.110	2.749
$\Sigma$	92.851	14.886	13.635	95.577		12.624
16.92	24.332	4.168	2.917	24.915	0.094	2.342
14.10	24.332	4.168	2.501	24.832	0.078	1.931
11.28	24.332	4.168	2.084	24.748	0.062	1.534
8.46	24.332	4.168	2.084	24.748	0.047	1.163
$\Sigma$	190.179	31.558	23.221	194.82		19.599
5.64	24.332	4.168	2.084	24.748	0.031	0.767
2.82	24.332	4.168	2.084	24.748	0.015	0.371
0.00	24.332	4.168	2.084	24.748	0.000	0.000
$\Sigma$	263.175	44.062	29.473	269.064		20.737

## VOILE TRANSVERSAL -4-

NIVEAU (m)	G(t)	P(b)	P'(t)	$G + \frac{P'}{5}(t)$	$\sigma_v$	$SIV = (G + \frac{P'}{5}) \sigma_v$
28.2	12.778	1.481	1.481	13.074	0.157	2.052
25.38	15.977	2.593	2.593	16.495	0.141	2.325
22.56	15.977	2.593	2.333	16.443	0.125	2.055
19.74	15.977	2.593	2.074	16.391	0.110	1.803
Σ	60.709	9.26	8.481	62.403		8.235
16.92	15.977	2.593	1.815	16.340	0.094	1.535
14.10	15.977	2.593	1.555	16.288	0.078	1.270
11.28	15.977	2.593	1.296	16.236	0.062	1.006
8.46	15.977	2.593	1.296	16.236	0.047	0.763
Σ	124.617	19.632	14.443	127.503		12.809
5.64	15.977	2.593	1.296	16.236	0.031	0.503
2.82	15.977	2.593	1.296	16.236	0.015	0.243
0.00	15.977	2.593	1.296	16.236	0.000	0.000
Σ	172.548	27.411	18.331	176.211		13.555

## VOILE TRANSVERSAL - 5a -

NIVEAU (m)	G(t)	P(t)	P'(t)	$G + \frac{P'(t)}{5}$	$\sigma_v$	$S \cdot v = (G + \frac{P'}{5}) \sigma_v$
28.2	18.030	2.155	2.155	18.461	0.157	2.898
25.38	23.753	2.685	2.685	24.29	0.141	3.424
22.56	23.753	2.685	2.416	24.236	0.125	3.029
19.74	23.753	2.685	2.148	24.182	0.110	2.660
$\Sigma$	89.289	10.210	9.404	91.169		12.011
16.92	23.753	2.685	1.879	24.128	0.094	2.268
14.10	23.753	2.685	1.611	24.075	0.078	1.877
11.28	23.753	2.685	1.342	24.021	0.062	1.489
8.46	23.753	2.685	1.342	24.014	0.047	1.129
$\Sigma$	184.301	20.95	15.578	187.021		18.774
5.64	23.753	2.685	1.342	24.021	0.031	0.744
2.82	23.753	2.685	1.342	24.021	0.015	0.360
0.00	23.753	2.685	1.342	24.021	0.000	0.080
$\Sigma$	255.560	29.005	19.604	259.476		19.878

## VOILE TRANSVERSAL - 5b -

NIVEAU (m)	G(t)	P(t)	P'(t)	$G + \frac{P'(t)}{5}$	$\bar{G}_v$	$S_i V = (G + \frac{P'}{5}) \bar{G}_v$
28.2	18.372	2.205	2.205	18.813	0.157	2.953
25.38	20.244	3.858	3.858	21.015	0.141	2.963
22.56	20.244	3.858	3.474	20.938	0.125	2.617
19.74	20.244	3.858	3.088	20.861	0.110	2.294
$\Sigma$	79.104	13.779	12.625	81.627		10.827
16.92	20.244	3.858	2.702	20.784	0.094	1.953
14.10	20.244	3.858	2.316	20.707	0.078	1.615
11.28	20.244	3.858	1.930	20.630	0.062	1.279
8.46	20.244	3.858	1.930	20.630	0.047	0.969
$\Sigma$	160.08	29.211	21.503	164.378		16.643
5.64	20.244	3.858	1.930	20.630	0.031	0.639
2.82	20.244	3.858	1.930	20.630	0.015	0.309
0.00	20.244	3.858	1.930	20.630	0.00	0.000
$\Sigma$	180.324	40.785	27.293	226.268		17.591

## VOILE TRANSVERSAL -6-

NIVEAU (m)	G(t)	P(t)	P'(t)	$G + \frac{P'}{5}(t)$	$\tilde{G}_v$	$SIV = (G + \frac{P'}{5}) G_v$
28.9	37.559	4.059	4.059	38.370	0.157	6.024
25.38	44.252	6.055	6.055	45.463	0.141	6.410
22.56	44.252	6.055	5.449	45.341	0.125	5.667
19.74	44.252	6.055	4.844	45.220	0.110	4.974
Σ	170.315	22.224	20.407	174.394		23.075
16.92	44.252	6.055	4.238	45.099	0.094	4.239
14.10	44.252	6.055	3.633	44.978	0.078	3.508
11.28	44.252	6.055	3.027	44.857	0.062	2.781
8.46	44.252	6.055	3.027	44.857	0.047	2.108
Σ	347.323	46.444	34.332	354.185		35.711
5.64	44.252	6.055	3.027	44.857	0.031	1.390
2.82	44.252	6.055	3.027	44.857	0.015	0.672
0.00	44.252	6.055	3.027	44.857	0.000	0.000
Σ	480.079	64.609	43.413	488.756		37.773

## VOILE TRANSVERSAL -6-

NIVEAU (m)	G(t)	P(t)	P'(t)	$G + \frac{P'}{5}(t)$	$\tilde{\sigma}_v$	$SIV = (G + \frac{P'}{5})\tilde{\sigma}_v$
28.2	37.559	4.059	4.059	38.370	0.157	6.024
25.38	44.252	6.055	6.055	45.463	0.141	6.410
22.56	44.252	6.055	5.449	45.341	0.125	5.667
19.74	44.252	6.055	4.844	45.220	0.110	4.974
[ ]	170.315	22,224	20.407	174.394		23.075
16.92	44.252	6.055	4.238	45.099	0.094	4.239
14.10	44.252	6.055	3.633	44.918	0.078	3.508
11.28	44.252	6.055	3.027	44.857	0.062	2.781
8.46	44.252	6.055	3.027	44.857	0.047	2.108
[ ]	347.323	46.444	34.332	354.185		35.711
5.64	44.252	6.055	3.027	44.857	0.031	1.390
2.82	44.252	6.055	3.027	44.857	0.015	0.672
0,00	44.252	6.055	3.027	44.857	0.000	0.000
[ ]	480.079	64.609	43.413	488.756		37.773

## VOILE TRANSVERSAL -7-

NIVEAU (m)	G(t)	P(t)	P'(t)	$G + \frac{P'}{5}(t)$	$\sigma_v$	$SIV = (G + \frac{P'}{5}) \sigma_v$
28.2	4.922	0.170	0.170	4.956	0.157	0.778
25.38	4.079	0.298	0.298	4.138	0.141	0.583
22.56	4.079	0.298	0.268	4.132	0.125	0.516
19.74	4.079	0.298	0.238	4.126	0.110	0.453
$\Sigma$	17.159	1,064	0.974	17.352		2.33
16.92	4.079	0.298	0.206	4.120	0.094	0.387
14.10	4.079	0.298	0.179	4.114	0.078	0.320
11.28	4.079	0.298	0.149	4.108	0.062	0.254
8.46	4.079	0.298	0.149	4.108	0.047	0.193
$\Sigma$	33.475	2.956	1.657	33.802		3.484
5.64	4.079	0.298	0.149	4.108	0.031	0.127
2.82	4.079	0.298	0.149	4.108	0.015	0.061
0.00	4.079	0.298	0.149	4.108	0.000	0.000
$\Sigma$	45.712	3.15	2.104	46.126		3.672

## VOILE TRANSVERSAL -8-

NIVEAU (m)	G(t)	P(t)	P'(t)	$G + \frac{P'}{5}(t)$	$\bar{U}_v$	$S_i V = (G + \frac{P'}{5}) \bar{U}_v$
28.2	18.378	2.905	2.905	18.819	0.157	2.954
25.38	20.561	3.880	3.860	21.333	0.141	3.007
22.56	20.561	3.880	3.474	21.255	0.125	2.656
19.74	20.561	3.880	3.088	21.178	0.110	2.329
$\Sigma$	80.061	14.845	12.627	82.585		10.946
16.92	20.561	3.880	2.702	21.101	0.094	1.983
14.10	20.561	3.880	2.316	21.024	0.078	1.639
11.28	20.561	3.880	1.930	20.947	0.062	1.298
8.46	20.561	3.880	1.930	20.947	0.047	0.984
$\Sigma$	162.305	30.365	21.505	166.604		16.850
5.64	20.561	3.880	1.930	20.947	0.031	0.649
2.82	20.561	3.880	1.930	20.947	0.015	0.314
0.00	20.561	3.880	1.930	20.947	0.000	0.000
$\Sigma$	223.988	42.005	27.295	229.445		17.813

## voile transversal -9-

NIVEAU (m)	$G(t)$	$P(t)$	$P'(t)$	$G + \frac{P'}{5}(t)$	$\bar{G}_v$	$S_i V = (G + \frac{P'}{5}) G_v$
28.2	17.597	2.055	2.055	18.008	0.157	2.827
25.38	26.064	3.597	3.597	26.783	0.141	3.776
22.56	26.064	3.597	3.237	26.711	0.125	3.338
19.74	26.064	3.597	2.877	26.539	0.110	2.930
$\Sigma$	95.789	12.846	11.766	98.141		12.871
16.92	26.064	3.597	2.518	26.567	0.094	2.497
14.10	26.064	3.597	2.158	26.495	0.078	2.066
11.28	26.064	3.597	1.798	26.423	0.062	1.638
8.46	26.064	3.597	1.798	26.423	0.047	1.241
$\Sigma$	200.045	27.234	20.038	204.049		20.313
5.64	26.064	3.597	1.798	26.423	0.031	0.819
2.82	26.064	3.597	1.798	26.423	0.015	0.396
0.00	26.064	3.597	1.798	26.423	0.000	0.000
$\Sigma$	278.237	38.025	25.432	288.318		21.528

## VOILE TRANSVERSAL-10-

NIVEAU (m)	G(t)	P(t)	P'(t)	$G + \frac{P'}{5}(t)$	$\bar{C}_v$	$S \cdot v = (G + \frac{P'}{5}) \bar{C}_v^2$
28.9	12.821	1.481	1.481	13.117	0.157	2.059
25.38	15.087	2.593	2.593	15.605	0.141	2.250
22.56	15.087	2.593	2.333	15.553	0.125	1.944
19.74	15.087	2.593	2.074	15.501	0.110	1.705
$\Sigma$	58.082	9.26	8.481	59.776		7.908
16.92	15.087	2.593	1.815	15.450	0.094	1.452
14.10	15.087	2.593	1.555	15.398	0.078	1.201
11.28	15.087	2.593	1.296	15.346	0.062	0.951
8.46	15.087	2.593	1.296	15.346	0.047	0.721
$\Sigma$	118.430	19.632	14.443	121.316		12.233
5.64	15.087	2.593	1.296	15.346	0.031	0.475
2.82	15.087	2.593	1.296	15.346	0.015	0.230
0.00	15.087	2.593	1.296	15.346	0.000	0.000
$\Sigma$	163.081	27.441	18.331	167.354		12.938

## VOILE TRANSVERSAL -11-

NIVEAU (m)	G(t)	P(t)	P'(t)	$G + \frac{P'}{5}(t)$	$\bar{G}_v$	$S_i v = (G + \frac{P'}{5}) \bar{G}_v$
28.2	18.115	2.201	2.201	18.555	0.157	2.913
25.38	25.498	3.852	3.852	26.268	0.141	3.703
22.56	25.498	3.852	3.467	26.191	0.125	3.273
19.74	25.498	3.852	3.081	26.140	0.110	2.872
$\Sigma$	94.609	13.757	12.601	97.128		12.761
16.92	25.498	3.852	2.696	26.037	0.094	2.447
14.10	25.498	3.852	2.311	25.960	0.078	2.024
11.28	25.498	3.852	1.926	25.883	0.062	1.604
8.46	25.498	3.852	1.926	25.883	0.047	1.216
$\Sigma$	196.601	29.165	21.46	200.891		20.052
5.64	25.498	3.852	1.926	25.883	0.031	0.802
2.82	25.498	3.852	1.926	25.883	0.015	0.388
0.00	25.498	3.852	1.926	25.883	0.000	0.000
$\Sigma$	273.095	40.721	27.238	278.540		21.242

## VOILE TRANSVERSAL-12-

NIVEAU (m)	G(t)	P(t)	P'(t)	$G + \frac{P'}{5}(t)$	$\sigma_v$	$S \cdot v = (G + \frac{P'}{5}) \cdot \sigma_v$
28.2	4.049	0.379	0.379	4.124	0.157	0.647
25.38	7.264	0.660	0.660	7.396	0.141	1.042
22.56	7.264	0.660	0.596	7.383	0.125	0.922
19.74	7.264	0.660	0.530	7.370	0.110	0.810
$\Sigma$	25.841	2.359	2.165	26.273		3.421
16.92	7.264	0.660	0.464	7.356	0.094	0.691
14.10	7.264	0.660	0.397	7.343	0.078	0.572
11.28	7.264	0.660	0.331	7.330	0.062	0.454
8.46	7.264	0.660	0.331	7.330	0.047	0.344
$\Sigma$	54.897	4.999	3.688	55.632		5.482
5.64	7.264	0.660	0.331	7.330	0.031	0.227
2.82	7.264	0.660	0.331	7.330	0.015	0.109
0.00	7.264	0.660	0.331	7.330	0.000	0.000
$\Sigma$	76.689	6.979	4.681	77.622		5.818

## L'CHAPTER 7

**— FERRILLIKE  
DES VOILES —**

## CONTRAINTE DE COMPRESSION ADMISSIBLE

Il a constaté que compression admissible par seuls  
une traction de la contrainte nominale de l'acier  
à 280 mts d'age

Il adjoint de la traction dépendant de la charge  
des charges verticales de la susceptibilité au feu  
au flambement de l'efficacité de la dalle  
du coefficient de la dalle du pétal de l'exécution ainsi  
que des réductions de contraintes provoquées des sollicitations  
négligées (rectifications) la traction est au plus forte  
à la base de deux éléments suivants.

$$\left. \begin{array}{l} 280 \\ 240 \end{array} \right\} \text{min} \geq \frac{1}{2}$$

$$\frac{s = \text{épaisseur au feu} = 16 \text{cm}}{e \leq \max(1 \text{cm}, 16/300)} = \alpha = \frac{16/3}{s}$$

pour un feu sur traction sans extrémite  
 $\alpha = 0,71$

$$e \leq \max(1 \text{cm}, 0,5 \cdot 8) = 1 \text{cm}$$

$$\alpha = \frac{16 - 10 + 14}{16} = 0,71 \quad \gamma = \frac{16/3}{s} = 0,71 \cdot \frac{1}{16} = 0,285 \cdot \frac{1}{16} = 0,285$$

$$\beta = \frac{1}{1 + S(\frac{1}{100})^2} = 0,83$$

$\gamma = 1$  (les vérifications de contraintes sont effectuées  
pour des actions de compression contrebalancées)

Ainsi la traction sera telle que

$$\left. \begin{array}{l} 0,285 \cdot 0,71 \cdot 0,83 \\ 0,45 \cdot 0,71 \cdot 0,83 \end{array} \right\} \text{min} = 0,285$$

$$\bar{\sigma}_{po} = 0,285 \cdot 275 = 85,285 \text{ kg/cm}^2$$

## 1. Introduction :

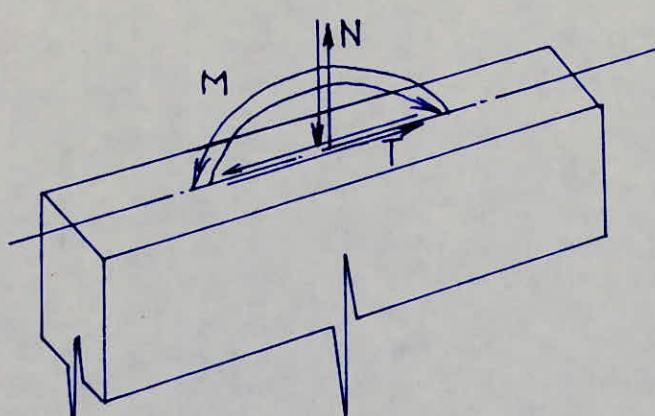
Sous l'action des forces verticales (seisme charges permanentes et surcharges) et des forces horizontales (seisme, vent), un refend est sollicité à la flexion composée.

Les sollicitations à considérer pour la détermination des sections d'acier nécessaires, sont les résultats de la superposition des sollicitations dues aux forces verticales et horizontales. En effectuant cette superposition il ne faut pas oublier que les forces (seisme dans notre cas) ont un caractère alternatif, elles peuvent changer de signes en gardant la même valeur absolue et la même direction.

L'état de contrainte se trouve modifié qualitativement (mutation compression-traction)

Ainsi nous aurons les deux (2) combinaisons suivantes à considérer :

$$\begin{array}{l} \text{1er combinaison : } M, N_{\max} \\ \text{2 } \quad " \quad : M, N_{\min} \end{array}$$



avec

$$N_{\max} = G + P + \sigma v \uparrow + \sigma H \downarrow$$

$$N_{\min} = G + P - \sigma v \uparrow - \sigma H \uparrow$$

## 2. Types d'Armatures :

Trois catégories d'armatures se rencontrent dans les murs en béton armé.

- Les armatures verticales.
- Les armatures horizontales.
- Les armatures transversales.

### - Armatures verticales

Elles servent à reprendre les contraintes de flexion composée.

Le complément C.T.C prévoit un pourcentage minimal de

$$0,15\% \text{ si } \beta_b \leq 0,025 \beta'_{28} \quad \text{Dans chaque}$$

$$0,25\% \text{ si } 0,025 \beta'_{28} \leq \beta_b \leq 0,12 \beta'_{28} \quad \text{Direction}$$

d'assemblées en général en deux nappes parallèles aux faces du refend par ailleurs ce règlement impose de placer ces aciers en double nappe, de même que les espacements entre les barres verticales consécutives doit être limité à la plus grande des deux valeurs suivantes (1,50, 30cm) b étant l'épaisseur du refend.

### - Armatures horizontales

Selon les prescriptions du complément C.T.C le choix des armatures horizontales est fonction du choix des armatures verticales en zone courante le tout doit former un quadrillage.

L'écartement de ces armatures restera le même que celui adopter pour les armatures verticales disposées également en deux nappes parallèles aux faces du refend vers l'extérieur ces armatures devront éviter la fissuration due à la contraction des façades par suite d'un éventuel abaissement de la température.

### - Armatures transversales

Selon C.T.C en général il est prévu au moins 4 épingle au mètre carré.

Ces aciers transversaux sont d'autant plus utiles qu'ils empêchent les flambements éventuels des aciers verticaux

Autres - Prescriptions - du - C.T.C

Relatives - au Ferrailages des voiles.

- Les extrémités des voiles doivent comporter un renforcement d'armatures verticales sous forme de potelet incorporés de dimensions b X 1,5 b

Il est possible d'utiliser ces armatures là, pour équilibrer les efforts de traction dans la partie tendue du voile, mais le pourcentage minimum des armatures verticales sur toute la zone tendue ne doit pas être inférieur à 0,5% dans ce cas les longueurs de recouvrement seront égales à 70 Ø. Les dispositions de ferrailage de ces potelets d'extrémités doivent être au moins égales à celles fixées pour le poteau de rive des ossatures autocastables en zone I.

Renforcement au niveau des joints de reprise de coulage.

Le long des joints de reprise de coulage on prévoit des armatures verticales de couture reparties uniformément en deux nappes équilibrant la totalité de l'effort transversal à  $\bar{b}_a = 6\text{cm}$  c'est à dire

$$A_{vj} = \frac{T}{6\text{cm}}$$

La longueur d'ancrage de ces armatures est égale ou supérieure à 50 Ø dans les voiles

A défaut de calcul, on pourra prévoir forfaitairement une section d'armatures de couture de 0,5 b par mètre linéaire

La méthode de ferrailage ainsi que toutes les justifications au contraintes seront exposées plus loin (voir exemple de calcul).

- Prescriptions relatives aux éléments de contreventement

I. Principe de calcul

Art. 4.3.2.1 : La vérification de la résistance aux sollicitations normales de flexion composée les plus défavorables doit être effectuée avec la contrainte admissible béton du premier genre majorée au plus de 50% et la contrainte de traction des aciers au plus égale à :

Art. 4.3.2.2 : La vérification de la résistance aux sollicitation d'effort tranchant doit être effectuée avec :

$T = 1,4$  fois l'effort tranchant de calcul

$$N = 0$$

$$\bar{\zeta}_b = 0,12 \bar{\sigma}_{2B}'$$

$$\bar{\sigma}_{ac} = \sigma_{en}$$

II. Disposition des armatures

Art. 4.3.3.1 : Les armatures de la section transversale resistante à l'effort tranchant doivent être calculées avec la formule :

$$\bar{m}_t = \frac{\bar{\zeta} - 8}{\sigma_{en}} \cdot 100 \quad \text{avec } \bar{\zeta} = \frac{1,4 T}{b \cdot z}$$

et pourcentage calculé par rapport à la section totale brute du béton, il doit être supérieur à la valeur minimale indiquée ci-dessous.

$$\left. \begin{array}{l} * \bar{\zeta}_b \leq 0,025 \bar{\sigma}_{2B}' \Rightarrow 0,15\% \\ * 0,025 < \bar{\zeta}_b \leq 0,12 \bar{\sigma}_{2B}' \rightarrow 0,25\% \end{array} \right\} \text{dans chaque direction}$$

Art. 4.3.3.3 : Le pourcentage minimum des armatures verticales sur toute la zone tendue d'un voile est de 0,5% et il est possible de concentrer des armatures de traction à l'extrémité du voile ou du trumeau de section totale d'armatures verticales de la zone tendue devant rester au moins égale à 0,5% de la section horizontale du béton tendue.

.../...

Art. 4.3.3.4 : L'espacement des barres verticales doit être inférieur à la plus petite des deux valeurs suivantes :

$$\left\{ \begin{array}{l} e \leq 1,5 \text{ b} \\ \text{ou} \\ e \leq 30 \text{ cm.} \end{array} \right.$$

Art. 4.3.3.5 : Les deux nappes d'armatures doivent être reliées avec au moins 4 épingles par  $\text{m}^2$ . Les barres horizontales doivent être disposées vers l'extérieur.

Art. 4.3.3.6 : Le diamètre des barres verticales et horizontales des volées ne devrait pas dépasser  $\frac{1}{10}$  de l'épaisseur du voile.

Art. 4.3.3.7 : L'espacement des barres doit être réduit de moitié sur  $\frac{1}{10}$  de la largeur du voile et ce à chaque extrémité du voile.

Art. 4.3.3.11 : Les longueurs de recouvrement doivent être égales à

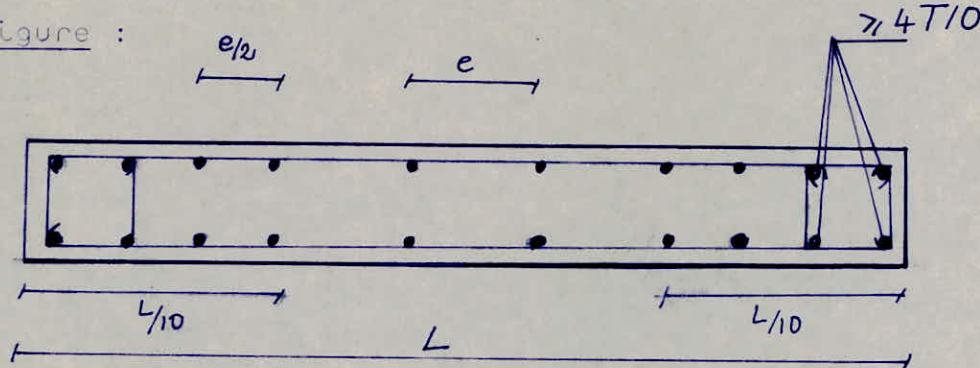
- 50 Ø pour les barres situées dans les zones où le renversement des signes des efforts est possible.

- 20 Ø pour les barres situées dans les zones comprimées sous l'action de toutes les combinaisons possibles de charges.

Art. 4.3.3.12 : L'effort tranchant doit être pris par les aciers de couverture dont la section doit être calculée avec la formule suivante :

$$A_{vj} = 1,1 \frac{T}{f_{en}}$$

figure :



FERAILLAGE DES VOILES

Les refends seront calculés sous la sollicitation la plus défavorable.

\* 0,8.G - E

\* 0,8.G + E

\* G+P+E

La combinaison la plus défavorable, est G + P+ E qui donne un effort normal très important.

Or le moment à la base de chaque refend est très important donc on prendra l'effort normal le plus petit qui est donné par la combinaison 0,8G - E car dans ce cas on peut avoir un effort de traction.

d'où la sollicitation  
N<sub>min</sub>

0,8G - E

Le mode de sollicitation: flexion composée.

Vérification des contraintes: la vérification se fera sous la sollicitation G + P+ E

Pour section partiellement comprimée:

$$\bar{G}_{b'} = K \cdot y_1 < \bar{G}_{b'}$$

$$\bar{G}_{a'} = n \cdot K (y_1 - d') \quad a' \quad n=15$$

$$\bar{G}_a = n \cdot K (h_t - y_1 - d) \quad a \quad n=15$$

Pour section entièrement comprimée:

$$\bar{G}_{b'_1} = \frac{N}{B'_o} + \frac{M}{I} \cdot v_1 < \bar{G}_{b'}$$

$$\bar{G}_{b'_2} = \frac{N}{B'_o} - \frac{M}{I} \cdot v_2 < \bar{G}_{b'}$$

$$\bar{G}_{a'_{12}} = n \left( \frac{N}{B'_o} \pm \frac{M}{I} (v - d') \right) < \bar{G}_{a'}$$

Ferraillage du voile transversale -6- à une file d'ouverture, selon RPA.81 (Trumeau II)

Caracteristiques:

$$ht = 877 \text{ cm} \quad M = 969,738 \text{ t.m}$$

$$b = 16 \text{ cm} \quad N_{\min} = 59,995 \text{ t}$$

$$d = 30 \text{ cm} \quad N_{\max} = 520,945 \text{ t}$$

$$e_0 = M/N_{\min} = 16,163 \text{ m}$$

$$e_1 = ht/6 = 1,461 \text{ m}$$

$e_0 > e_1$  donc la section est partiellement comprimée.

Moment fictif

$$f = ht/2 + e - d \quad M = M + N \cdot f$$

$$f = 877/2 + 1616,3 - 30 = 20,248 \text{ m}$$

$$M = 969,738 + 59,995 \cdot 20,248 = 2184,516 \text{ t.m}$$

K=31,7

$$\mu = \frac{15 \cdot M}{\bar{G}_a \cdot b \cdot h^2} = \frac{15 \cdot 2184,516 \cdot 10^5}{4200 \cdot 16 \cdot 847} = 0,0679$$

$\varepsilon = 0,8929$

Vérifions si les aciers comprimées sont nécessaires.

$$\bar{G}_b' = \bar{G}_a/K = 4200/31,7 = 132,49 \text{ kg/cm}^2 < \bar{G}_b' = 164,3 \text{ kg/cm}^2$$

donc pas d'acier comprimé.

on utilisera le ferraillage minimum réglementaire.

Section d'acier tendue.

$$A = \frac{M}{\bar{G}_a \cdot \varepsilon \cdot h} = \frac{-N}{\bar{G}_a} = \frac{2184,516 \cdot 10^5}{4200 \cdot 0,8929 \cdot 847} - \frac{59995}{4200} = 54,48 \text{ cm}^2$$

Longueur de la zone tendue.

$$\bar{G}_1' = 51,55 \text{ kg/cm}^2$$

$$\bar{G}_2' = -43,00 \text{ kg/cm}^2$$

$$y = \frac{\bar{G}_1}{\bar{G}_1 + \bar{G}_2} \cdot ht = 398,84 \text{ cm}$$

Section d'acier minimum tendu

Selon les prescriptions du CTS on doit prendre 0,5% de la zone tendue.

$$A_{\min} = 0,5\% \cdot b \cdot y = 0,5\% \cdot 16 \cdot 398,84 = 31,90 \text{ cm}^2$$

donc on retiendra les aciers calculés.

$$A = \frac{54,48 \cdot 100}{2 \cdot 398,84} = 6,82 \text{ cm}^2 \text{ p.m/face}$$

soit 5T14pm/face

Section d'acier en zone courante.

$$\frac{\zeta_b = 1,4 \cdot T}{b \cdot z} = \frac{1,4 \cdot 80271}{16.842.7/8} = 9,47 \text{ kg/cm}^4$$

$$\zeta_b = 6,875 \text{ kg} < \zeta_b < 33,05 \text{ kg/cm}^2$$

on prendra une section d'armature égale à 0,25% de la section de la zone courante.

$$A = 0,25\% \cdot b \cdot (ht - y) = 0,25\% \cdot 16 \cdot (877 - 398,84) = 19,12 \text{ cm}^2$$

soit  $A = 2 \text{ cm}^2 \text{ p.m/face}$

Section d'acier relatif au joint de coulage

$$A_{vj} = \frac{1,1 \cdot T}{en} = \frac{1,1 \cdot 1,4 \cdot 80271}{4200} = 29,43 \text{ cm}^2$$

$$\text{soit } A_{vj} = 1,67 \text{ cm}^2 \text{ p.m/face}$$

donc la section d'acier en zone courante sera

$$A_c = 2 + 1,67 = 3,67 \text{ cm}^2 \text{ p.m/face}$$

Soit 5T10p.m/face

Armatures horizontales

$$w_t = \frac{\zeta - 8}{\zeta_{en}} \cdot 100 = \zeta_b = 9,47 \text{ kg/cm}^2$$

$$w_t = 0,035\% < w_t = 0,25\%$$

on prendra alors :

$$A_h = 0,25\% \cdot 16 \cdot 100 = 2 \text{ cm}^2 \text{ p.m/face} \text{ soit 5T8pm/face}$$

Potelet d'extrémité

on disposera dans le potelet (16. 25) 4T14

armatures transversales on prendra des Ø8

Verification des contraintes

$$e_s = M/N_{max} = 1,861 \text{ m} \quad ht/6 = 1,461 \text{ m}$$

$e_s < ht/6$  donc la section est partiellement comprimée+

$$|C| = e_s - ht/2 = 252,4$$

$$A = 54,48 \text{ cm}^2$$

$$\begin{cases} C = +252,4 \\ P = 8902,11 \end{cases}$$

$$n = 280$$

$$\begin{cases} P_1 = -0,113 \\ Q_1 = -6,40 \end{cases}$$

$$q = -140,5033807,7$$

$$t^3 - 0,113t - 6,4 = 0$$

donc solution de l'équation c'est  $t=1,876$

$$y_2 = n \cdot t = 280 \cdot 1,876 = 525,28 \text{ cm}$$

$$y_1 = y_2 + C = 525,28 + 252,4 = 777,68 \text{ cm}$$

$$\frac{I = b \cdot y^3}{3} + n \cdot A' (y_1 - d')^2 + n \cdot A (ht - d - y_1)$$

$$I = 2512548392 \text{ cm}^4 \quad K = \frac{N_{\max} \cdot v_2}{I} = 0,108$$

ainsi les contraintes seront de la forme

$$\bar{\sigma}_b' = K \cdot v_1 = 0,108 \cdot 83,98 \text{ kg/cm}^2 < \bar{\sigma}_b'$$

$$\bar{\sigma}_a' = n \cdot K (v_1 - d') = 1211,24 \text{ kg/cm}^2 < \bar{\sigma}'_a$$

$$\bar{\sigma}_a = n \cdot K (ht - d - v_1) = 112,29 \text{ kg/cm}^2 < \bar{\sigma}_a$$

Vérification au flambement.

$L_c = 0,7L_o$  longueur de flambement

$$L_o = 2,82 \text{ m}$$

$$L_c = 1,974 \text{ m}$$

calcul de l'élancement

$$\lambda = \frac{L_c}{i}$$

$$I = \frac{ht \cdot b^3}{12}$$

$$i = \sqrt{\frac{I}{B}} = 4,61 \quad \rightarrow \lambda = 42,8$$

$$B = ht \cdot b = 14032 \text{ cm}^2$$

d'où  $\lambda = 42,81 < 50$  donc pas de risque de flambement.

### Ferraillage du voile-B- à deux files d'ouvertures

#### TUMEAU-1-

Caractéristiques:

$$ht = 736 \text{ cm}$$

$$M = 14,87 \text{ t.m}$$

$$b = 16 \text{ cm}$$

$$N = 14,617 \text{ t}$$

$$d = 25 \text{ cm}$$

$$N_{\max} = 354,512 \text{ t}$$

$$e_0 = M/N_{\min} = 14,87/14,617 = 1,01 \text{ m}$$

$$e_1 = ht/6 = 736/6 = 1,22 \text{ m}$$

$e_0 < e_1$  donc la section est entièrement comprimée.

Dans le cas où les aciers comprimés ne sont pas nécessaires

$$A' = A'' = 0 \quad w' = w'' = \bar{w}' = 0$$

$$\widetilde{\sigma}_{b'}_{1.2} = N'/b \cdot ht \left( K \frac{+e.R}{ht} \right) \quad (K=1, R=6)$$

$$\widetilde{\sigma}_{b'}_1 = 2,27 \text{ kg/cm}^2 \quad \widetilde{\sigma}_{b'}_2 = 0,21 \text{ kg/cm}^2$$

donc pas d'acier comprimé on utilisera le ferraillage minimum réglementaire.

$$\bar{\sigma}_b = \frac{1,4;57722}{16.7/8.686} = 8,41 \text{ kg/cm}^2$$

donc on prendra une section égale à 0,25% de la section du béton  $A_{min} = 0,25\% \cdot 16.736 = 29,44 \text{ cm}^2$

soit  $A = 2 \text{ cm}^2$ ; p.m/face soit 5T8.p.m/face

Potelet (16.25) 4T12  $A = 4,52 \text{ cm}^2$

Armatures horizontales

$$wt = \frac{8,41 - 8 \cdot 100}{4200} = 0,009\% < wt = 0,25\%$$

donc  $A_h = 5T8.p.m//face;$

Armature le long du joint de reprise

$$A_{vj} = \frac{1,1 \cdot 1,4 \cdot 57722}{4200} = 21,16 \text{ cm}^2 \quad \text{soit } 5T6.p.m/face$$

Justification des contraintes

$$e_o = M/N_{max} = 0,041 \text{ m} \quad ht/6 = 1,22 \text{ m}$$

$e_o < e_1$  section entièrement comprimée

$$w = A/b; ht = 0,00038 \quad \delta = d/ht = 0,0339$$

$$B'_o = 16.736 \cdot (1 + 15 \cdot 2 \cdot 0,00038) = 11911,306 \text{ cm}^2$$

$$I = \frac{16.736^3}{12} \cdot 2 \cdot 15 \cdot 0,00038 \cdot 3 \cdot 16.736 \cdot (ht/2 - 736)^2 = 547507589,4 \text{ cm}^4$$

$$\widetilde{\sigma}_{b'} = \frac{354512/11911,306}{547707589,4} \pm \frac{1487000 \cdot 736/2}{547707589,4}$$

$$\widetilde{\sigma}_{b'_1} = 30,76 \text{ kg/cm}^2 < \widetilde{\sigma}_{b'} \quad \widetilde{\sigma}_{b'_2} = 28,76 \text{ kg/cm}^2 < \widetilde{\sigma}_{b'}$$

$$\widetilde{\sigma}_a = 461,4 \text{ kg/cm}^2 < \widetilde{\sigma}_a = 4200 \text{ kg/cm}^2$$

verifie :

VOILES PLEINS

	VT2	VT4	VT5b	VT7	VT8
(t <sub>M</sub> ) (t.m)	23,39	51,823	58,627	25,072	72,445
N <sub>max</sub> (t)	82,512	194,545	213,075	48,236	256,70
N <sub>min</sub> (t)	61,513	138,038	144,259	36,569	179,19
nature sollici	SEC	SEC	SEC	SEC	SEC
A <sub>vc</sub> cm <sup>2</sup>	5T6pm/f	5T6pm/f	5T6pm/f	5T6pm/f	5T6pm/f
A <sub>vt</sub>	/	/	/	4T12pm/f	/
A <sub>vj</sub> cm	0,2cm <sup>2</sup>	& 1	1	1	1,3
A <sub>h</sub> cm	5T6pm/r	5T6pm/r	5T6pm/r	5T6pm/r	5T6pm/r
POTELET	4T12	4T12	4T12	4T12	4T12
L cm	328	385	385	275	385
G <sub>b'</sub>	43,41	43,41	47,97	58,20	
G <sub>a'</sub>	651	651,15	719,55	873	
b cm	16	16	16	16	16

-VOILES PLEINS-

	VL C	VLE	VLF	VLC	VT10
M (t.m)	1,2	16,017	8,77	2,067	79,34
Nmin	26,25	120,132	106,53	59,801	130,95
Nmax (t)	40,08	164,693	145,13	79,436	185,68
	SEC	SEC	SEC	SEC	SEC
A <sub>vt</sub>	/	/	/	/	/
A <sub>vc</sub>	5T6	5T6	5T6	5T6	5T6
A <sub>ah</sub>	5T6	5T6	5T6	5T6	5T6
A <sub>vj</sub>	0,04	0,25	0,04	0,05	1,5
potelet	4T12	4T12	4T12	4T12	4T12
t <sub>cm</sub>	12 25	12 25	12 25	12 25	12 25
G <sub>b</sub> $\frac{kg}{m^2}$	13,4	41,95	25,11	12,9	46,95
G <sub>a</sub> $\frac{kg}{m^2}$	201	629	376,65	193,5	704,25

VOILE -A-				VOILE-B-			VOILE-6-					VOILE-9-	
	TRUMEAU 1	trumeau 2	trumeau 3	trumeau	trumeau	trumeau	trumeau	trumeau	trumeau	trumeau	trumeau	trumeau	trumeau
M (tm)	19.10	2.90	19.10	14.87	2.045	28.763	208.009	969.73	279.46	372.182	7.23		
Nmin (t)	-14.09	76.456	-14.098	14.67	56.50	29.22	-36.412	59.99	29.723	46.145	1.50		
Nmax (t)	366.81	107.99	356.815	354.51	134.07	430.68	384.194	520.945	324.56	329.234	269.566		
nature de sollicitation	SPT	SEC	SPT	SEC	SEC	SEC	SPT	SPC	SPC	SPC	SPC		
A <sub>vt</sub>	6T10pm/f	/	6T10pm/f	/	/	/	6T10 pm/f	5T14pm/f	5T12pm/f	6T10 pm/f	6T10 pm/f		
A <sub>vc</sub>	5T8pm/F	5T8pm/ f	5T8pm/ f	5T8pm/ f	5T8 pm/f	5T8 pm/f	5T6pm/f	5T10 pm/f	5T6 pm/f	5T6pm/f	5T6pm/f		
A <sub>h</sub>	5T8pm/F		5T8pm/F	5T8pm	5T8pm/F	5T8pm/F	5T6pm/F	5T8pm	5T6pm/f	5T6pm	5T6pm/f		
A <sub>vi</sub>	20,48	10,89	20,48	21,16	10,92	26,36	17,61	29,43	26,19	12,84	3,45		
potelet	4T12	4T12	4T12	4T12	4T12	4T12	6T10	6T14	6T12	6T10	6T10		
L cm	683,5	365	683,5	736	380	917	525	877	877	676	182		
t cm	25	25	25	25	25	25	25	25	25	25	25		
fb'	2936	28	29.36	30.76		28.39	67.53	83.98	33.46	60.44	93.62		
fa	705.2	605		461,00		425.85	1012.90	12.11.24	50.1.9	866.16	1404.4		

136

	VOILE- 1-		VOILE- 3-		VOILE-5a-		VOILE- 11-			VOILE-12-	
	trumeau 1	trumeau 2	trumeau 1	trumeau 2	trumeau 1	trumeau 2	trumeau 1	trumeau 2	trumeau 1	trumeau 2	plein
M (tm)	161,83	0,746	132,138	4,444	182,012	7,242	414,87	8,055	3,12		50,881
N (t)	73,289	-6,404	79,722	-16,002	94,377	5,23	30,308	-83,539	-38,3		61,315
Nmax (t)	151,44	43,925	258,132125,076	223,179103,20	339,642	183,14	85,50				81,37
nature de la sollicitation	SPC	SET	SPC	SET	SPC	SPC	SPC	SET	SET	SPC	
A <sub>vt</sub>	6T10 pm/f	6T10 pm/n	6T10 pm/n	6T10 pm/n	6T10 pm/n	6T10 pm/n	6T10 pm/n	5T12 pm/n	6T10 PM/f	6T10 pm/n	
A <sub>vc</sub>	5T6 pm	/	5T6 pm pf	/	5T6 pm pf	5T6 pm/f	5T6 pm/f	5T8 pm/f	5T6 pm/f	pm/f	5T6
A <sub>h</sub>	5T6 pm/n	5T6 pm/f	5T6 pm/f	5T6 pm/f	5T6 pm/f	5T6 pm/f	5T6 pm/f	5T6 pm/f	5T6 pm/f		5T6 pm/f
A <sub>vj</sub>	3,61	0,6	5,15	1,66	4,75	1,62	14,31	3,85	1,2		1,5
potelet	4T12	4T12	4T12	4T12	4T12	4T12	4T12	4T12	4T12		4T12
t cm	20 10	20 10	20 10	20 no	20 no	20 no	20 no	25 10,5	20 10		20 10
L <sub>cm</sub>	575	96	540	175	533	182	676	182	676		328
G <sub>b</sub> G <sub>T</sub> (kg/m)	34,31 501,15	27,88 418,2	48,67 130,05	43 645	47,027 705,40	40,74 611,1	65,42 875,64	58,37 875,64	48,3		33,23 12,15

137

Ferraillage du voile transversal-5b- selon les règles parasismiques 69 et le complément C.T.C ;

Caractéristiques

$$ht = 385\text{cm} \quad N = 162,649 \text{ t}$$

$$b = 16\text{cm} \quad N_{\max} = 225,208\text{t}$$

$$d = 20\text{cm} \quad M = 62,84\text{t.m}$$

$$e_0 = \frac{M}{N_{\min}} = \frac{62,834}{162,649} = 0,386\text{m}$$

$$e_1 = ht/6 = \frac{385}{6} = 0,641\text{m}$$

$e_0 < e_1$  ce qui implique que la section est entièrement comprimée.

Dans le cas où les armatures comprimées ne sont pas nécessaire

$$A'1 = A'2 = 0 \quad w'_1 = w'_2 = \bar{w} = 0$$

$$\tilde{\sigma}_{b1}' = \frac{N'}{b \cdot ht} + \frac{M \cdot V}{I} = \frac{N'}{b \cdot ht} + \frac{6 \cdot M}{b \cdot ht^2}$$

$$\tilde{\sigma}_{b1}' = \frac{162649}{16 \cdot 385} + \frac{6 \cdot 62,84 \cdot 10^5}{16 \cdot 385^2} = 42,287 \text{kg/cm}^2$$

$$\tilde{\sigma}_{b2}' = \frac{162649}{16 \cdot 385} - \frac{6 \cdot 62,84 \cdot 10^5}{16 \cdot 385^2} = 10,52 \text{kg/cm}^2$$

Donc les armatures comprimées non nécessaires on utilisera le ferraillage minimum préconisé par le règlement.

Section d'acier minimum.

$$\tilde{\sigma}_b = \frac{1,4 \text{ T}}{b \cdot h} \quad \tilde{\sigma}_b = \frac{1,4 \cdot 3010}{16 \cdot 7/8 \cdot 365} = 0,824 \text{kg/cm}^2$$

$$\tilde{\sigma}_b = 0,025 \cdot 28 = 0,025 \cdot 275 = 6,875 \text{kg/cm}^2$$

$$\tilde{\sigma}_b = 0,824 \text{kg/cm}^2 < \tilde{\sigma}_{b1}'$$

donc on prendra une section d'acier égale à 0,15% de la section du béton dans les deux directions (verticale et horizontale).

$$A_{\min} = 0,15\% \cdot 16 \cdot (385-20) = 8,76 \text{cm}^2$$

$$\text{Soit } \frac{8,76 \cdot 100}{2 \cdot (385-20)} = 1,20 \text{cm}^2 \text{ p.m/face}$$

Ce qui correspond à 5T6 p.m/face éspacée de  $t = 25\text{cm}$   
l'écartement des armatures à  $L/10$  de chaque côté des  
extrémités doit être réduit de moitié qu'en zone  
courante.

#### Calcul des aciers horizontaux

Selon les prescriptions du C.T.C il faut prendre un  
un quadrillage avec les armatures verticales  
donc on prendra des H.A 6 espacé de 25cm

#### Armatures transversales:

Selon les prescriptions du CTC il faut prendre 4 épingleau  $\text{m}^2$   
Il est prévu un renforcement aux extrémités du voile sous  
forme de potelet dont le ferraillage et la section sont  
imposés par le complément CTC.

à savoir      section b . 1,5b = on retiendra 16 . 25  
 $A_{min} = 1/100 ; 16 . 25 = 4\text{cm}^2$   
qui correspondra à 4.T.12  $A=4,52\text{cm}^2$

#### Armature transversale dans le potelet d'extrémité.

selon les prescriptions du CTC il faut prévoir des cadres  
en HA de Ø 6 espacés de  $t = \min(10\text{Ø et } 15\text{cm})$   
donc  $t = 6\text{cm}$ , l'espacement étant le même en zone courante ou  
en zone nodale.

#### Armatures le long du joint de reprise.

$$A_{vj} = \frac{1,1 \bar{T}}{\text{en}} \quad A_{vj} = \frac{1,1.1.4.3010}{4200} = 1,10\text{cm}^2$$

#### Justification aux contraintes admissibles.

ON procède à la vérification avec l'effort normal le plus grand.

$$e_0 = \frac{M}{N_{max}} = \frac{62,84}{225,208} = 0,279\text{m}$$

$$e_1 = ht/6 = 385/6 = 0,641\text{m}$$

$e_0 < e_1$  ce qui implique que la section est entièrement comprimée.

$$e_0 < ht/2 = 192,5\text{cm} \quad \bar{G}_{b'} = 1,25 \left( 1 + \frac{e}{3e} \right) \bar{G}_b$$

$$\bar{G}_{b'} = 1,25 \left( 1 + \frac{0,279}{0,641} \right) 65,72 = 94,068\text{kg/cm}^2$$

$$\bar{\sigma}_a = 4200 \text{ kg/cm}^2$$

$$w'_1 = w'_2 = \bar{w}' = A/b \cdot ht = 4,52/16,385 = 7,33 \cdot 10^{-4}$$

$$B\delta = b \cdot ht \cdot (1 + 2nw) = 16,385(1 + 2 \cdot 15 \cdot 0,000733) = 6295,45 \text{ cm}^2$$

$$I = \frac{b \cdot \bar{ht}^3 + 2nw \cdot b \cdot ht \cdot (ht/2 - \delta \cdot ht)^2}{12}$$

$$I = \frac{16 \cdot 385^3}{12} + 2 \cdot 15 \cdot 0,00073 \cdot 16,385 \cdot (385/2 - 0,0519 \cdot 385)^2 = \\ I = 80103931,55 \text{ cm}^4$$

$$\widetilde{\sigma}_{b'}(1.2) = \frac{N_{max}}{B\delta} = \frac{M}{I} \cdot v \quad (v = ht/2)$$

$$\widetilde{\sigma}_{b'_1} = 50,874 \text{ kg/cm}^2 < \bar{\sigma}_b'$$

$$\widetilde{\sigma}_{b'_2} = 20,671 \text{ kg/cm}^2 < \bar{\sigma}_b'$$

$$\widetilde{\sigma}_{a'_1} = n \widetilde{\sigma}_{b'_1} = 763,11 \text{ kg/cm}^2 < \bar{\sigma}_a'$$

$$\widetilde{\sigma}_{a'_2} = n \widetilde{\sigma}_{b'_2} = 310,06 \text{ kg/cm}^2 < \bar{\sigma}_a'$$

<i>Voiles</i>	VOILE-6-			VOILE-9-			VOILE-1-		VOILE-11-		
	trumeau 1	trumeau 2	trumeau 2(zone)	trumeau 1	trumeau 2	trumeau 1	trumeau 2	trumeau 1	trumeau 2	trumeau 1	trumeau 2
M tm	221.654	1033.363	280.83	397.97	7.731	172.99	0.79	443.38	8.61		
Nmax (t)	378.298	603.16		356.27	352.39	271.90	162.20	47.006	363.479	195.90	
N (t)	-42.24	53.179	47.84	62.683	18.06	86.44	-5.49	45.41	-85.82		
<i>nature de la sollicitation</i>	SPT	SPC	SPC	SPC	SPC	SPC	SET	SPC	SET		
A <sub>vt</sub>	6T10 pm/f	5T14 pm/f	6T10 pm/f	6T10 pm/f	6T10 pm/f	6T10 pm/f	6T10 pm/f	6T10 pm/f	5T12 pm/f		
A <sub>vc</sub>	6T6 pm/f	5T8 pm/f	6T6 pm/f	6T6 pm/f	6T6 pm/f	6T6 pm/f	6T6 pm/f	6T6 pm/f	5T8 pm/f		
A <sub>h</sub>	6T6 pm/f	5T8 pm/f	6T6 pm/f	6T6 pm/f	6T6 pm/f	6T6 pm/f	6T6 pm/f	6T6 pm/f	5T8 pm/f		
c <sup>m</sup> A <sub>vj</sub>	1.7 pm/f	1.7 pm/f	1.2 pm/f	1 pm/f	1 pm/f	1 pm/f	1 pm/f	1.05 pm/f	1 pm/f		
potelet	4T12	4T14	4T12	4T12	4T12	4T12	4T12	4T12	4T12		
t cm	20 10	25 12.5	20 10	20 10	20 10	20 10	20 10	20 10	25 10		
b' kg/cm <sup>2</sup>	68.9	86.62	37.18	58.33	97.25	37.2	29.13	66.73	62.07		
$\sigma_a$ (4)		112.29									
$\sigma_{a'}$	1033.5	1211.24	567.9	874.95	1458.75	463.05	436.95	954.68	931.05		

VOILE-A-				VOILE-B-				VOILE-3-		VOILE-5a-	
	trumeau 1	trumeau 1	trumeau 2	trumeau 3	trumeau 1	trumeau 2	trumeau 3	trumeau 1	trumeau 2	trumeau 1	trumeau 2
M (tm)	20,35	26,184	3,09	20,35	15,82	2,18	30,66	141,266	4,749	194,635	7,744
Nmax (t)	380,98	232,44	114.32	380.98	378.96	143.46	460.43	276.294	133.81	239.182	110.53
N (t)	-2.25	42.552	87.677	-2.25	28.89	67.106	47.728	96.90	-13.32	112.216	9.452
	SPT	SEC	SEC	SPT	SEC	SEC	SPC	SPT	SPC	SPC	SPC
A <sub>vt</sub>	6T10 pm/f	/	/	6T10 pm/f	/	/	/	6T10 pm/f	6T8 pm/f	6T10 pm/f	6T10 pm/f
A <sub>vc</sub>	5T8 pm/f	5T8 pm/f	5T8 pm/f	5T8 pm/f	5T8 pm/f	5T8 pm/f	5T8 pm/f	6T6 pm/f	6T6 pm/f	6T8 pm/f	6T8 pm/f
A <sub>h</sub>	5T8 pm/f	5T8 pm/f	5T8 pm/f	5T8 pm/f	5T8 pm/f	5T8 pm/f	5T8 pm/f	6T6 pm/f	6T6 pm/f	6T8 pm/f	6T8 pm/f
A <sub>vj</sub> cm <sup>2</sup>	pm!f <sup>2</sup>	1,2 pm/f	1,5 pm/f	1,2 pm/f	1,5 pm/f	1,5 pm/f	1,5 pm/f	0,5 pm/f	1 pm/f	1,5 pm/f	1,7 pm/f
Petelet	4T12	4T12	4T12	4T12	4T12	4T12	4T12	4T12	4T12	4T12	4T12
t <sub>cm</sub>	25 12.5	25 12.5	25 12.5	25 12.5	25 12.5	25 12.5	25 12.5	25 12.5	20 10	20 10	20 10
b' kg/cm <sup>2</sup>	36,25	21,54	18,94	36,25	31.16	22.42	30.35	48,03	45.85	46.99	44.24
a kg/cm	543,85	322.5	284.22	543.85	467.4	336.3	455.22	720	687.75	705	663.6

**--VOILES PLEINS--**

E42

	VT2	VT4	VT5b	VT7	VT8	VT10	VT12	VLC	VLE	VLF	VLG
M (tm)	29,70	55,47	62,84	26,91	77,35	84,76	57,04	1,30	16,964	10,07	2,143
Nmin (t)	71,068	158,99	162,84	42,04	206,91	150,75	70,87	30,49	138,48	122,85	69,04
Nmax (t)	87,40	204,43	225,20	51,48	269,09	194,96	87,188	43,022	176,37	155,44	85,141
<i>solicitation nature</i>	SEC	SEC	SEC	SPC	SEC	SEC	SPC	SEC	SEC	SEC	SEC
A <sub>vt</sub>	/	/	/	4T12pm/F	/	/	4T12pm	/	/	/	/
A <sub>vc</sub>	5T6										
A <sub>h</sub>	5T6										
potelet	4T12										
t (cm)	25 12,5										
G <sub>b'</sub>	25,29	31,18	34,73		43,54	37,20	35,8	14,35	39,91	27,05	13,95

- Prescriptions relatives aux ferraillage des linteaux.

Art. 4.3.2.4

- Les linteaux doivent être conçus de façon à éviter leur rupture fragile. Ils doivent être capables de prendre l'effort tranchant et le moment fléchissant dont les sens d'action peuvent alterer.

Art. 4.3.2.5

- La vérification de la résistance des linteaux aux sollicitations d'effort tranchant les plus défavorables doit être effectuée avec :

\*  $T = 1,4$  fois l'effort tranchant de calcul

\*  $M$  calculé à partir de la valeur ci dessus de  $T$ .

$$\bar{\sigma}_b = 0,12 \cdot \sigma_{28}$$

$$\sigma_b = 0,75 \cdot \sigma_{28}$$

$$\bar{\sigma}_a = \bar{\sigma}_{at} = \sigma_{en}$$

Art. 4.3.3.1

- Les armatures de la section transversale résistant à l'effort tranchant doivent être calculées avec la formule.

$$\bar{w}_t = \frac{\bar{\tau} - 8}{\sigma_{en}} \cdot 100$$

$$\text{avec } \bar{\tau} = 1,4 T / b.z$$

où :  $\bar{\tau}$  est la contrainte de cisaillement et  $\sigma$  en est la limite élastique des aciers (en bars). Le pourcentage  $\bar{w}_t$  (en%) est calculé par rapport à la section totale brute du béton; il doit être supérieur à la valeur minimale indiquée dans l'article 4.3.3.2.

Art. 4.3.3.2

- pour  $\bar{\tau}_b \leq 0,025 \sigma_{28}'$  : 0,15 % dans chaque
- pour  $0,025 \sigma_{28}' \leq \bar{\tau}_b \leq 0,12 \sigma_{28}'$  0,25 % direction

Art. 4.3.3.13 :

- Les armatures doivent être disposées et ancrées dans les trumeaux suivant la figure ci après.

### Ferraillage des linteaux.

Sous l'action de M et T les linteaux seront calculées en flexion simple comme des poutres encastrées à leurs extrémités. Il doivent être capables de reprendre les moments fléchissants et les efforts tranchants dûs aux charges permanentes, aux surcharges d'exploitation et aux séismes. La méthode utilisée sera celle proposée par Monsieur P.CHARRON, elle permet en même temps la vérification des contraintes par l'utilisation des tableaux, en outre cette méthode présente l'avantage d'être rapide.

Il convient cependant de tenir compte du fait que les actions horizontales (séisme) pouvant alterner, les moments fléchissants dans les linteaux peuvent alors changer de sens. Il sera donc procédé à un ferraillage symétrique de la section transversal des linteaux.

Les sections d'acières seront évaluées à partie de la combinaison du second genre. (S.P<sub>2</sub>)

\* Les contraintes de references sont :

$$\bar{\sigma}_{bo} = 1,5 \cdot 73,74 = 110,16 \text{ Kg/cm}^2$$

$$\bar{\sigma}_a = \bar{\sigma}_{en} = 4200 \text{ Kg/cm} \quad (\emptyset \leq 20)$$

$$\bar{\sigma}_b = 1,5 \times 137 = 205,5 \text{ Kg/cm}^2$$

$$\bar{\sigma}_b = 1,5 \cdot 5,9 = 8,85 \text{ Kg/cm}^2$$

Pourcentage minimum d'armatures :

$$\frac{A_s}{A_i} \geq 0,0015 \text{ b.a}$$

$$A_r \geq 0,002 \text{ b.a}$$

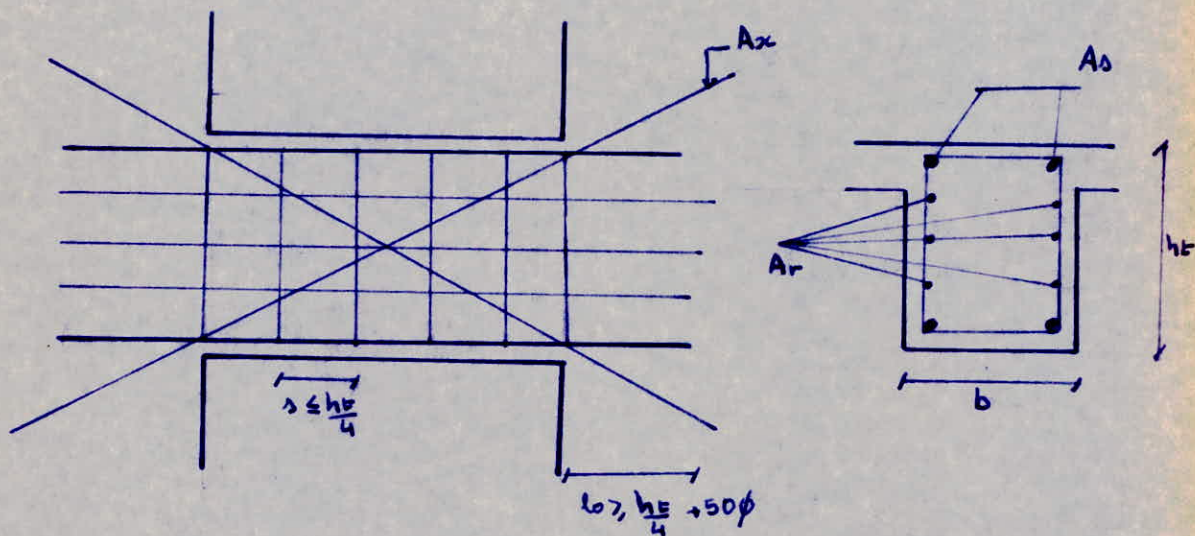
$$A_t \geq 0,0025 \text{ b.t} \quad t \leq \frac{a}{4} \text{ (éspacement des cadres)}$$

$$L_r \geq \frac{a}{4} + 50 \emptyset$$

## Art . 4.3.3.14.

Pour  $\tau_{\ell} \geq 0,06 \sigma'_{28}$ , des armatures supplémentaires doivent être disposées dans les angles suivant la figure ci après.

$\tau_{\ell}$  = contrainte de cisaillement dans le linteau =  $1,4 \frac{T}{b \cdot z}$



$$A_x \geq 0,0015 h_f \cdot b$$

$$\text{si } \tau_{\ell} \geq 0,06 \sigma'_{28}$$

$$A_x, A_s \geq 0,0015 h_f$$

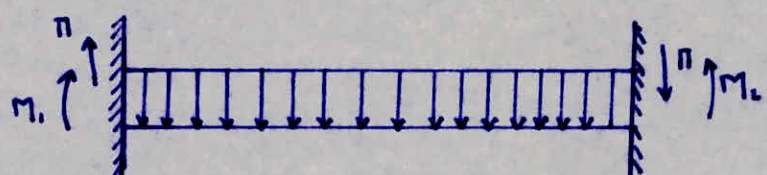
$$A_r \geq 0,0020 b \cdot h_f$$

$$A_c \geq 0,0035 b \cdot s$$

METHODE DE CALCUL

LES LINTEAUX SERONT CALCULES COMME DES POUTRES ENCASTREES

AUX DEUX EXTREMITES



$$M_1 = \pi \frac{l}{2} + 9 \frac{l^2}{12}$$

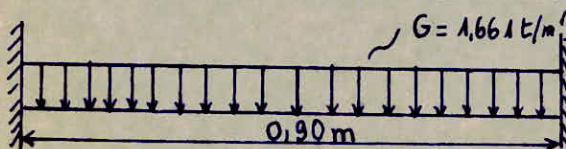
$$M_2 = \pi \frac{l}{2} - 9 \frac{l^2}{12}$$

ON FERRAILLERA LES LINTEAUX AVEC  $M_{max} = M_1$  ET DU FAIT QUE LE SEISME AGIT AUSSI BIEN DANS UN SENS QUE DANS L'AUTRE

Nous donnerons, ici un calcul détaillé pour le linteau du voile transversal -5a - à une fille d'ouverture.

Pour les autres linteaux des autres voiles, la méthode de calcul étant la même nous exposerons les résultats sous forme de tableau.

### 1) Etude du linteau du voile-5a-



$Q_1$  = poids propre du linteau.

$$Q_1 = 2,5 \cdot 0,74 \cdot 0,16 = 0,296 \text{t/ml}$$

$Q_2$  = poids de plancher lui revenant:

$$Q_2 = 0,607 \cdot \frac{2,025}{0,9} = 1,365 \text{t/ml}$$

$$G = Q_1 + Q_2 = 0,296 + 1,365 = 1,661 \text{t/ml}$$

C: =charge permanente sur le linteau.

#### Effort tranchant due à G

$$T_G = \frac{1,661 \cdot 0,9}{2} = 0,747 \text{t}$$

#### Moment flechissant

$$M = \frac{q_1^2}{12} = \frac{1,661 \cdot 0,9^2}{12} = 0,112 \text{t.m}$$

#### Surcharge d'exploitation

$$Q_s = 0,175 \cdot \frac{2,025}{0,9} = 0,393 \text{t/ml}$$

#### Effort tranchant du à Qs

$$T_{qs} = \frac{Q_s \cdot L}{2} = \frac{0,393 \cdot 0,9}{2} = 0,176 \text{t}$$

#### Moment flechissant

$$M = \frac{Q_s \cdot L^2}{12} = \frac{0,393 \cdot 0,9^2}{12} = 0,0266 \text{t.m}$$

$$T_{qs} = 0,176 \text{t}$$

#### Seisme horizontal

#### Effort tranchant du à Sh

$$T = 1,4 \text{ F}$$

$$T = 1,4 \cdot 5,48 = 7,672 \text{t}$$

#### Moment flechissant

$$M = T \cdot L / 2$$

$$M = 7,672 \cdot 0,9 \cancel{L} = 3,452 \text{t.m}$$

$$T_{sh} = 7,672 \text{t}$$

$$M_{sh} = 3,452 \text{t.m}$$

Seisme vertical

$$Q_{sv} = (C + Q_s/5) \bar{U}_{vmoy}$$

$$Q_{sv} = (1,661 + 0,393/5) 0,094 = 0,1635 t/m^2$$

Effort tranchant T<sub>qs</sub>

$$T_{qs} = \frac{0,1635 \cdot 0,9}{2}$$

$$T_{qv} = 0,0735 t$$

Moment fléchissant

$$M_{qv} = \frac{0,1635 \cdot 0,9^2}{12}$$

$$M_{qv} = 0,011 t.m$$

Combinaison du second genre (S.P.2)

$$T_{max} = \sum T_i = 0,748 + 0,176 + 7,672 + 0,0735 =$$

$$M_{max} = \sum M_i = 0,112 + 0,0266 + 3,452 + 0,11 =$$

$$T_{max} = 8,616 t \quad M_{max} = 3,601 t.m$$

1) Vérification au cisaillement.

$$\bar{\sigma}_b = 0,12 \cdot \bar{U}'_{28} = 33,05 \text{ kg/cm}^2$$

$$\sigma_b = \frac{T}{b.z} = \frac{8,617}{16.7/8.70} = 8,792 \text{ kg/cm}^2$$

$\sigma_b < \bar{\sigma}_b$  vérifiée.

2) Ferrailage, (méthode de M. P. CHARRON)

$$\mu = \frac{15 \cdot M}{\bar{G}a.b ; h^2} = \frac{15 \cdot 3,6 \cdot 10^5}{4200 \cdot 16 \cdot 70^2} = 0,0164 - \begin{cases} K=73,25 \\ \epsilon=0,9433 \\ \alpha=0,170 \end{cases}$$

Armatures de répartition:

$$A_x = 0,002 \cdot b \cdot h_t = 0,002 \cdot 16 \cdot 74 = 2,368 \text{ cm}^2$$

soit 6T8-----A=3,01cm<sup>2</sup>

Aciers transversaux:

$$A_t \geq 0,0025 \cdot b \cdot t \quad \text{avec } t = ht/4 = 74/4 = 18,5 \text{ cm}$$

$$A_t \geq 0,0025 \cdot 16 \cdot 18,5 = 0,74 \text{ cm}^2$$

on prendra  $A_t = 2,08 \text{ cm}^2$ , soit 4T8 (1 cadre + 1 épinglé)

Espacement:

$$t = \frac{z \cdot \bar{U}_{at} \cdot A_t}{T} \quad t = \frac{7/8 \cdot 4200 \cdot 2,01}{8,617 \cdot 10^3} = 60,006 \text{ cm}$$

$t = ht/4 = 18,5 \text{ cm}$  on retiendra  $t = 18 \text{ cm}$

On prévoit des armatures d'angles dans le cas où  $\bar{\sigma}_b > 0,06 \cdot \bar{U}'_{28}$

On a  $\bar{\sigma}_b = 8,792 \text{ kg/cm}^2 < 0,06 \cdot \bar{U}'_{28}$  donc armatures d'angle sont nécessaires.

Calcul de la section d'acier tendue

$$\bar{\sigma}_b' = 205 \text{ kg/cm}^2$$

$\bar{\sigma}_b' = \bar{\sigma}_a/K = 4200/73,25 = 57,33 \text{ kg/cm}^2 < \bar{\sigma}_b'$  donc les aciers comprimées ne sont pas nécessaire.

Acier tendu.

$$A = \frac{M}{\bar{\sigma}_a ; \epsilon \cdot h} = \frac{3,601 \cdot 10^5}{4200 \cdot 0,9433 \cdot 70} = 1,29 \text{ cm}^2$$

Soit 4T8.  $A=2,01 \text{ cm}^2$

Contrainte d'adhérence admissible pour l'entraînement.

$$\bar{\sigma}_d = 2 \cdot \psi_d \cdot \bar{\sigma}_b = 2 \cdot 1,5 \cdot 8,85 = 26,55 \text{ kg/cm}^2$$

$$\bar{\sigma}_d = \frac{T}{n.p.z} = \frac{8,617 \cdot 10^3}{4(+2) 7/8 \cdot 70} = 6,85 \text{ kg/cm}^2$$

$\bar{\sigma}_d < \bar{\sigma}_d$  vérifiée.

Vérification de la fissuration.

$$\bar{\sigma}_1 = \frac{1,5 \cdot 10^6 \cdot 1,6}{8} \frac{0,031}{1 + 10 \cdot 0,031} = 7099,23 \text{ kg/cm}^2$$

$$\bar{\sigma}_2 = 2,4 \frac{1,5 \cdot 10^6 \cdot 1,6}{8} 8,85 = 3910,6 \text{ kg/cm}^2$$

$$\bar{\sigma}_f = \max(\bar{\sigma}_1, \bar{\sigma}_2) = 7099,23 \text{ kg/cm}^2 > \bar{\sigma}_a = 4200 \text{ kg/cm}^2$$

vérifiée.

Condition de non fragilité.

$$A \geq 0,69 \cdot b \cdot h \quad \frac{\bar{\sigma}_b}{\bar{\sigma}_{en}} = 0,69 \cdot 16 \cdot 70 \cdot \frac{8,85}{4200} = 1,628 \text{ cm}^2$$

$$A = 2,01 \text{ cm}^2 > 1,628 \text{ cm}^2 \quad \text{vérifiée.}$$

Vérification de contraintes

$$w = 100 \cdot A / b \cdot h = 100 \cdot 2,01 / 16 \cdot 70 = 0,179 \rightarrow \begin{cases} K = 57,75 \\ \epsilon = 0,9312 \end{cases}$$

$$\bar{\sigma}_a = \frac{M}{A \cdot \epsilon \cdot h} = \frac{3,601 \cdot 10^5}{2,01 \cdot 0,9312 \cdot 16} = 2748,43 \text{ kg/cm}^2$$

$\bar{\sigma}_a < \bar{\sigma}_a = 4200 \text{ kg/cm}^2$  vérifiée.

$$\bar{\sigma}_b' = \frac{\bar{\sigma}_a}{K} = \frac{2748,43}{57,75} = 47,59 \text{ kg/cm}^2$$

$$\bar{\sigma}_b' < \bar{\sigma}_b' = 205,5 \text{ kg/cm}^2 \quad \text{vérifiée.}$$

---EFFORTS SOLICITANT LES LINTEAUX ---

	T (t)	M(t;m)
VLA	34,782	15,127
VLB	35,931	15,644
VT1	15,50	4,55
VT3	13,578	5,691
VT5a	8,617	3,601
VT6	34,805	24,84
VT9 VT11	25,651	11,276

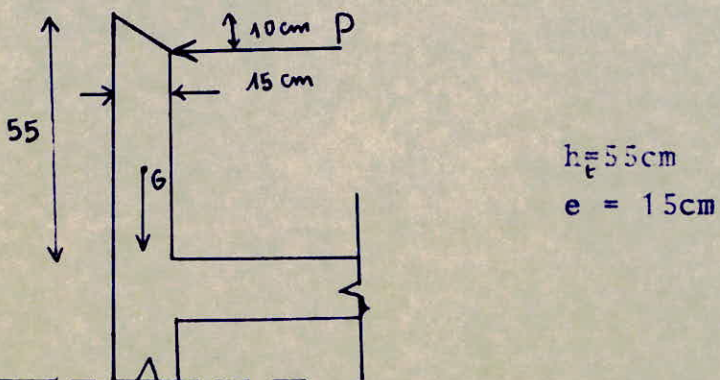
Les contraintes tangentielles calculées sont inférieurs à  $\bar{\sigma}_b$  admissible sauf pour le linteau (LA) et (LB) on a  $\bar{\sigma}_b = 36,6 \text{ kg/cm}^2$  ce qui correspond à une erreur de 19,6% qui est admissible, donc tout les linteaux passent au cisaillement.  $\bar{\sigma}_b$

----TABLEAU RESUMANT LE FERRAILLAGE DES LINTEAUX---

	L (cm)	ht (cm)	b (cm)	$A_{S2}$ (cm $^2$ )	$A_{I2}$ (cm $^2$ )	$A_t$ (cm $^2$ )	$A_r$ (cm $^2$ )	$A_x$ (cm $^2$ )	t (cm)	L (cm)
VLA	90	74	16	4T14 6,16cm $^2$	4T14 6,16cm $^2$	4T6 2,01cm $^2$	6T8 3,01cm $^2$	2T12 2,26cm $^2$	14	337
VLB	90	74	16	4T14 6;16cm $^2$	AT14 6,16cm $^2$	4T8 2,01cm $^2$	6T8 3,01cm $^2$	2T12 2,26cm $^2$	14	337
VT1	150	74	16	4T8 2,01cm $^2$	4T8 2,01cm $^2$	4T8 2,01cm $^2$	6T8 3,01cm $^2$	0,00	14	0,00
VT3	90	74	16	3T10 2,35cm $^2$	3T10 2,35cm $^2$	4T8 2,01cm $^2$	6T8 3,01cm $^2$	0,00	14	0,00
VT5a	90	74	16	4T8 2,01cm $^2$	4T8 2,01cm $^2$	4T8 2,01cm $^2$	6T8 3,01cm $^2$	0,00	14	0;00
VT6	180	74	16	4T14 6,16cm $^2$	4T14, 6,16cm $^2$	4T8 2,01cm $^2$	6T8 3,01cm $^2$	2T12 2,26cm $^2$	14	337
VT9	90	74	16	4T12 4,52cm $^2$	4T12 4,52cm $^2$	4T8 2,01cm $^2$	6T8 3,01cm $^2$	2T12 2,26cm $^2$	14	337
VT11	90	74	16	4T12 4,52cm $^2$	4T12 4,52cm $^2$	4T8 2,01cm $^2$	6T8 3,01	2T12 2,26cm $^2$	14	337

## =CHAPITRE 8=

—CHAPITRE  
—DES ELEMENTS—

CALCUL DE L'ACROTERE1) SCHEMA

L'acrotère est assimilable à une console encastrée dans le plancher terrasse, la section dangereuse est celle de l'enca斯特rement.

La console est soumise à son poids propre et à une surcharge réglementaire de 100kg/ml

2) CHARGE ET SURCHARGE.

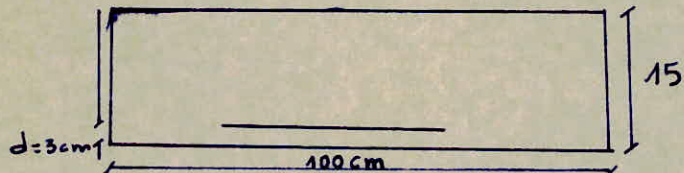
poids propre:  $G = 2,5 \cdot 0,15(0,55 - 0,05); 1 = 0,19 \text{ t/ml}$

-Surcharge d'exploitation, elle représente la main courante appliquée horizontalement  $P = 100 \text{ kg/ml}$

$$1,2P = 120 \text{ kg/ml}$$

3) CHARGE DE CALCUL

-Le calcul se fera en flexion composée on prendra un mètre linéaire d'acrotère, (on considérera une section rectangulaire.)



EFFORT NORMAL

$$N = G = 0,19 \text{ t}$$

MOMENT DE FLEXION

$$M = 1,2P \cdot ht = 1,2 \cdot 100 \cdot 0,55 = 66 \text{ kg.m/ml}$$

La méthode de ferrailage utilisée est celle de M<sup>r</sup>. P. CHARRON.

-Centre de pression

$$e_0 = \frac{M}{N} = \frac{66}{190} = 0,34 \text{ m}$$

$$e_0 = 0,34 \text{ m} \quad e_1 = \frac{ht}{6} = \frac{0,15}{6} = 2,5 \text{ cm}$$

$e_0 < e_1$ , donc la section est partiellement comprimée.

-Moment fictif

$$M_f = N \cdot f = N \cdot (e + ht/2 - d)$$

$$M_f = 190 \cdot (34,4 + 15/2 - 3) = 73,91 \text{ kg.m/ML}$$

Moment résistant du béton

$$M_{rb} = 1/2 \cdot b \cdot \tilde{\sigma}_b' \cdot (h - y/3)$$

$$y = n \cdot \frac{\tilde{\sigma}_b'}{n \cdot \tilde{\sigma}_b' + \tilde{\sigma}_a} h \quad n=1,5$$

$$y = \frac{15 \cdot 137,5}{15 \cdot 137,5 + 2800} \cdot 52 = 5,4 \text{ cm}$$

$$M_{rb} = 1/2 \cdot 100 \cdot 137,5 \cdot (15 - 5,4/3) \cdot 5;4 = 490050 \text{ kg.cm}$$

donc  $M_{rb} > M_a$  les aciers COMPRIMÉS ne sont pas nécessaires.

Calcule Des aciers

Le calcul se fera en flexion simple sous l'effet de  $M = N.f$  puis on déduit la section en flexion composée par la relation suivante:  $A = A_1 - \frac{N}{a}$

$$\mu = \frac{15 \cdot M}{\tilde{\sigma}_a \cdot b \cdot E} = \frac{15 \cdot 8391}{2800 \cdot 100 \cdot 12^2} = 0,002749$$

$$\mu = 0,00274 \quad \begin{cases} K = 193 \\ \varepsilon = 0,9760 \end{cases}$$

$$A = \frac{Mf}{\tilde{\sigma}_a \cdot \varepsilon \cdot h} = \frac{7391}{2800 \cdot 0,976 \cdot 12} = 0,225 \text{ cm}^2$$

$$A = A_1 - \frac{N}{\tilde{\sigma}_a} = 0,225 - \frac{190}{2800} = 0,157 \text{ cm}^2$$

La section d'acier trouvée étant très faible, on adoptera alors une section minimale conformément aux prescriptions du C.C.B.A. 68. (Art 52)-relative à la condition de non fragilité.

$$A \geq 0,69 \cdot b \cdot h \cdot \frac{\tilde{\sigma}_b}{\tilde{\sigma}_{en}} = 0,69 \cdot 100 \cdot 12 \cdot \frac{5,9}{4200} = 1,22 \text{ cm}^2$$

On adoptera donc cette section limitée par cette condition.

$$\text{SOIT } 5T6 \text{ p.m } (A=1,41 \text{ cm}^2)$$

VERIFICATION ADE L'EFFORT TRANCHANT

$$\text{On doit vérifier } A \cdot \bar{\sigma}_a \geq T + \frac{M}{z}$$

$$T = 1,2P = 120 \text{ kg/ml} \quad z = 7/8 \cdot h = 7/8 \cdot 12 = 10,5 \text{ cm}$$

$$1,41 \cdot 2800 = 3948 \text{ kg} > 120 + \frac{7391}{10,5} = 823,90 \text{ kg.}$$

Donc la condition est bien vérifiée.

Armature de répartition.

$$\text{On disposera } 25\%A \leq Ar \leq 50\%A$$

Soit 3T6 pm

VERIFICATION DE LA FISSURATION/

$K_f = 1,5 \cdot 10^6$  fissuration peu préjudiciable.

$$f^n = 1,6 \quad \varnothing = 6 \text{ mm} \quad \bar{\omega}_f = \frac{A}{B_f} = \frac{1,41}{100,6} = 2,35 \cdot 10^{-3}$$

$$\tilde{\sigma}_1 = \frac{K_f}{\varnothing} \cdot \frac{wf}{1 + 10 \cdot wf} = 918,42 \text{ kg/cm}^2$$

$$\tilde{\sigma}_2 = 2, \sqrt{\frac{K_f \cdot \tilde{\sigma}_b}{\varnothing}} = 3687 \text{ kg/cm}^2$$

$$\text{MAX}(\tilde{\sigma}_1, \tilde{\sigma}_2) = 3687 \text{ kg/cm}^2$$

$$\tilde{\sigma}_a = \min(2/3 \tilde{\sigma}_{en}; \tilde{\sigma}_f) = 2800 \text{ kg/cm}^2$$

$\tilde{\sigma}_f > \tilde{\sigma}_a$  la condition de fissuration est vérifiée.

VERIFICATION AU SEISME.

L'acrotère est soumis à des sollicitations horizontales, de direction quelconques, agissant seules.

$$F = G \cdot W \quad \tilde{\sigma} = 0,2 + 0,1\alpha$$

$$= 0,2 + 0,1 \cdot 1 = 0,3$$

$$W = G + P/5 = 0,19 \text{ t/ml}$$

$$P=0 \text{ (surcharge verticale)}$$

$$F = 0,3 \cdot 0,19 = 0,057 \text{ t} = 0,120 \text{ t}$$

Donc la vérification au séisme n'est pas nécessaire.

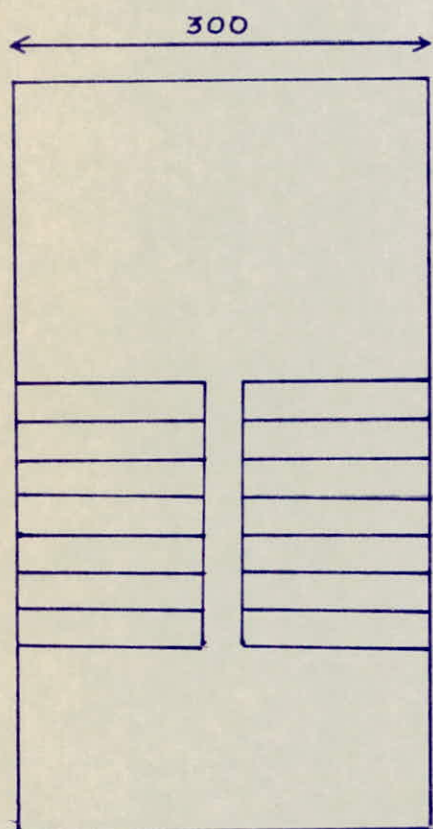
---CALCUL DE L'ESCALIER---

La cage d'escalier est située à l'intérieur du bâtiment. Celle-ci est limitée de part et d'autre par des voiles transversaux, appelés murs d'échiffres.

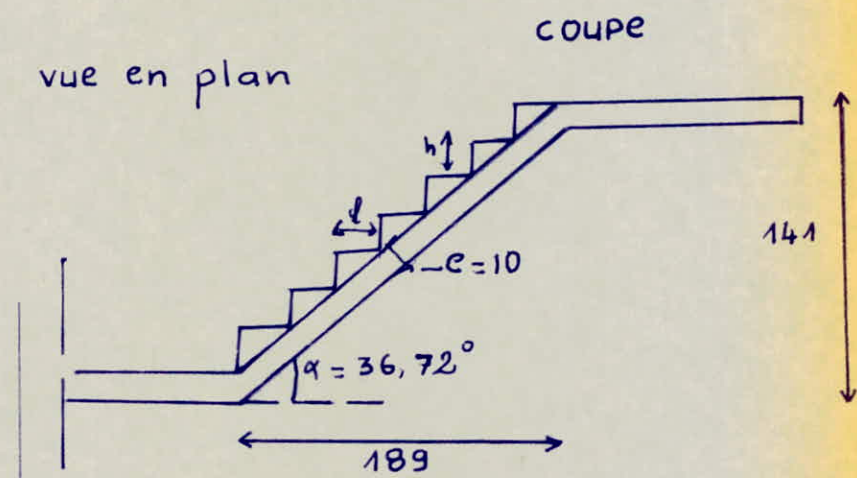
Les escaliers que nous étudions seront en béton armé à paillasse préfabriquée, alors que les paliers seront coulés sur place.

Les paliers s'encastreront dans les refends, tandis que la volée reposera simplement sur les deux paliers.

Schema:

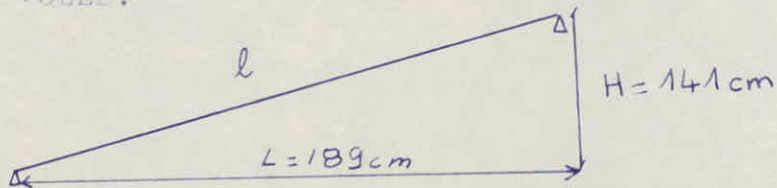


vue en plan



La préfabrication de la paillasse peut être faite sur chantier ou en usine.

## CALCUL DE LA VOLÉE.



## 1) épaisseur de la paillasse.

$$\operatorname{tg} \alpha = H/L = 141/189 = 0,74603$$

$$\text{d'où } \alpha = 36^\circ,72$$

$$\cos \alpha = 0,8015$$

$$\sin \alpha = 0,5979$$

d'après les recommandation du C.T.C la volée sera calculée en flexion simple pour les charges normales G+1,2S avec une portée horizontale égale à la distance entre les deux plans verticaux, passant par les extrémités des bâquots. Dans le cas de la dalle portant sur deux côtés l'épaisseur à prendre en compte est comprise entre 1/20 et 1/30 de la portée entre appui.

$$e = L/\cos \alpha = 189/0,8015 = 236 \text{ cm}$$

$$1/20 < e < 1/30$$

$$7,86 < e < 11,8 \text{ cm}$$

donc on prendra  $e = 10 \text{ cm}$  pour toute la paillasse.

Predimensionnement:

$$h = 141/3 = 17,62 \text{ cm} \quad (\text{hauteur de la contre marche})$$

$$g = 189/7 = 27 \text{ cm} \quad (\text{largeur de la marche})$$

Vérification de la formule de BLONDEL

$$60 < 2h + g < 64$$

$$60 < 2 \cdot 17,6 + 27 < 64 \quad \text{Formule est vérifiée.}$$

Evaluation des charges et surcharges.

Dans le calcul on pourra considérer les surcharges et le poids propre constituent une charge uniformément répartie sur 01 mètre de projection horizontale et pour un mètre d'en-  
- manchement.

-Charges et permanentes

$$\text{Poids propre de la volée: } \frac{2500 \cdot 0,10}{0,801} = 312,1 \text{ kg/ml}$$

$$\text{Poids propre des marches: } \frac{2200 \cdot 0,176}{2} = 193,6 \text{ kg/ml}$$

$$\text{Revêtement 3cm} \quad 2200 \cdot 0,03 \cdot 1 = 66 \text{ kg/ml}$$

$$\text{Carte corps:} \quad = 100 \text{ kg/ml}$$

$$\underline{\text{POIDS TOTAL}} = 671,7 \text{ kg/ml}$$

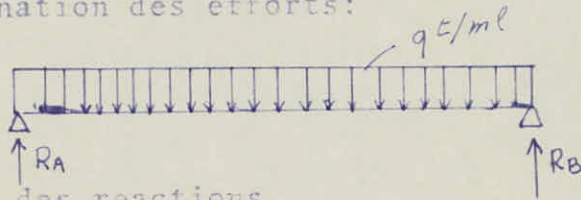
-Surcharges:

$$\text{Escalier d'habitation: } S = 250 \text{ kg/ml}$$

donc la charge de calcul à considérer sera prise égale à

$$\underline{q = G + 1,2S = 971,7 \text{ kg/ml}}$$

-Détermination des efforts:



calcul des réactions.

$$R_A = R_B = \frac{q_1}{2} = 971,7 \cdot 189/2 = 918,25 \text{ kg}$$

soit le moment de flexion dans la volée

$$M_{\max} = \frac{q_1^2}{8} = 433,870 \text{ kg.m}$$

-Ferraillage.

méthode utilisée celle de M<sup>r</sup> P. CHARRON.

$$M = 433,87 \text{ kg.m} \quad h = 8 \text{ cm} \quad ht = 10 \text{ cm} \quad \varnothing = 0,8 \text{ cm} \quad (\varnothing e/10)$$

$$\nu = \frac{15 \cdot M}{G_a \cdot b \cdot h^2} = \frac{15 \cdot 4338700}{2800 \cdot 100 \cdot 8^2} = 0,0363 \cdots \left. \begin{array}{l} K = 46,4 \\ \varepsilon = 0,0186 \end{array} \right\}$$

$$\text{Section d'acier: } A = \frac{M}{G_a \cdot \varepsilon \cdot h} = \frac{4338700}{2800 \cdot 0,0186 \cdot 8} = 2,10 \text{ cm}^2$$

on prendra 6Ø6 soit  $A = 3,01 \text{ cm}^2$

Contrainte de compression:

$$\bar{G}' = \bar{G}_a / K = 2800 / 46,4 = 60,34 \text{ kg/cm}^2 < \bar{G}_b'$$

les armatures comprimées ne sont pas nécessaires.

Armature de répartition.

$$A/4 \leq A_{rep} \leq A/2$$

$$0,752 \leq A_{rep} \leq 1,5$$

donc on prendra 4T6/ml soit  $A_{rep} = 1,13\text{cm}^2$   $t=20\text{cm}$

### VERIFICATION

a) Verification de non fissuration.

$$K=1,5 \cdot 10^6 \quad (\text{fissuration peu nuisible})$$

$$n = 1,6 \quad \text{acier HA Ø8}$$

$$\rho_{wf} = A/BF = 3,01/2.2.100 = 0,0075$$

$$\sigma_1 = \frac{K \cdot n}{\emptyset} \cdot \frac{\rho_{wf}}{1 + 10\rho_{wf}} = 2093, \text{kg/cm}^2$$

$$\sigma_2 = 2,4 \sqrt{\frac{K \cdot n \cdot \bar{\sigma}_b}{\emptyset}} = 3091,6 \text{kg/cm}^2$$

$$\sigma_f = \max(\sigma_1, \sigma_2) = 3091,6 \text{kg/cm}^2$$

$$\sigma_a = \min(2/3, \sigma_f) = 2800 \text{kg/cm}^2$$

condition vérifiée.

b) Verification de contrainte.

$$A = 3,01 \text{cm}^2 \quad w = \frac{A}{b \cdot h} = \frac{3,01}{100 \cdot 8} = 0,3762$$

$$w = 0,3762 \quad K = 37,8 \quad \varepsilon = 0,9053$$

$$\sigma_a = \frac{M}{A \cdot \varepsilon \cdot h} = \frac{43387}{3,01 \cdot 0,9053 \cdot 8} = 1990,26 \text{kg/cm}^2$$

$$\sigma_a = 1990,26 \text{kg/cm}^2 < \sigma_a = 2800 \text{kg/cm}^2$$

$$\sigma'_b = \frac{\sigma_a}{K} = \frac{1990,26}{37,8} = 52,65 \text{kg/cm}^2 < \bar{\sigma}'_b = 137$$

c) Verification de l'effort tranchant.

$$\bar{\sigma}_b = \frac{T}{b \cdot z} = \frac{918,25}{100 \cdot 7 / 8,8} = 1,311 \text{kg/cm}^2$$

$$\bar{\sigma}_b = 1,15 \cdot \bar{\sigma}_b = 1,15 \cdot 5,9 = 6,79 \text{kg/cm}^2$$

$\bar{\sigma}_b < \bar{\sigma}_b$  donc les armatures transversales ne sont pas nécessaires.

## d) Condition de non fragilité

$$\frac{A \geq 0,69 \cdot 1 \cdot h_i \sqrt{f_b}}{\sigma_{en}} = \frac{0,69 \cdot 100 \cdot 8,5,9}{4200} = 1,16 \text{ cm}^2$$

comme  $A=3,01 \text{ cm}^2$  donc la condition est vérifiée.

## e) Vérification de la flèche.

La flèche est donné par la formule

$$f = \frac{5q_1^4}{384 \cdot E \cdot I} \quad E = 7000 \sqrt{f_b} = 7000 \sqrt{270}$$

$$f = \frac{5 \cdot 971,7 \cdot 1,89^4 \cdot 10^8}{384 \cdot 115021,73 \cdot 1 \cdot 0,1^3} = 0,169 \text{ cm}$$

12

La flèche admissible est donnée par les recommandations techniques relatives au volées d'escaliers préfabriquées en béton armé du type paillasse pleine.

$$F_{ad} = L/300 = 189/300 = 0,63 \text{ cm}$$

$$f = 0,17 \text{ cm} < f_{ad} = 0,63 \text{ cm} \text{ vérifiée.}$$

## f) Vérification d'about.

$$\Lambda \cdot \bar{G}_a > T + M/z$$

$$\text{on a } \Lambda \cdot n = 3,01 \cdot 2800 = 8428 \text{ kg}$$

$$\text{et } T + M/z = 918,25 + 13387/7/8 \cdot 8 = 980,23 \text{ kg}$$

$$\text{donc } \Lambda \cdot \bar{G}_a > T + M/z \text{ relation vérifiée.}$$

## g) Vérification d'adhérences:

La contraintes d'adhérence admissible vis à vis de l'entraînement des barres est

$$\bar{G}_d = 2 \bar{G}_a \bar{G}_b = 2 \cdot 175 \cdot 5,9 = 17,7 \text{ kg/cm}^2$$

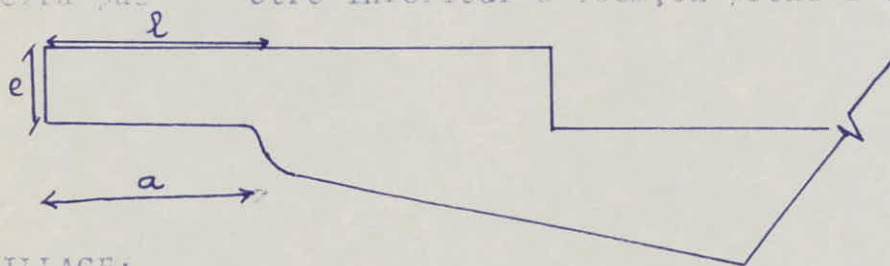
$$\bar{G}_d = \frac{T}{n.p.z} = \frac{918,25}{6 \cdot 3,17 \cdot 7/8 \cdot 8} = 6,96 \text{ kg/cm}^2$$

donc  $\bar{G}_d < \bar{G}_d$  vérifiée.

--- CALCUL DES BEQUETS ---

Epaisseur des bequets des paillasses et des paliers :

D'après les recommandations techniques du C.T.C, cette épaisseur ne doit pas être inférieure à 7cm aussi bien dans la section d'encastrement que dans la section d'extrémité. On prend  $e=8\text{cm}$ , la longueur des bequets ne devra pas être inférieure à 10cm, on prend  $a=13\text{cm}$ ,  $l=15\text{cm}$



FERRAILLAGE:

L'armature des bequets de la paillasse et des paliers devra être réalisée au moyen de boucles ou des cadres fermés; l'écartement des armatures des bequets à son encastrement ne devra pas dépasser 20cm.

CALCUL

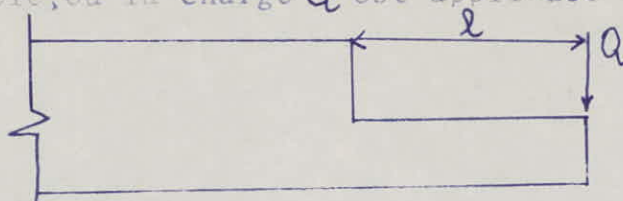
Chaque bequet de la paillasse et de la poutre palier doit être calculé pour une charge linéaire  $Q = (C_p + 1,2S)$   
 $C_p$ : charge permanente de la totalité de la volée.  
 $S$ : surcharge d'exploitation sur la totalité de la volée.

$\gamma_q$ : coefficient de comportement donné par le tableau.

$$\gamma_q = 1,4 \quad ; \quad L = 1,89\text{m}$$

$$Q = 1,4 \cdot 1,89 ( 671,7 + 1,2 \cdot 250 ) = 2571,11\text{kg/M}$$

Les armatures en boucles des bequets, des paillasses, et des paliers seront calculées en flexion simple avec une portée  $l = 15\text{cm}$ , on prendra le cas le plus défavorable, où la charge  $Q$  est appliquée à l'extrémité.



Moment d'une console encastrée

$$M = Q \cdot l$$

$$M = 2571,11 \cdot 0,15$$

$$\Rightarrow M = 385,66\text{kg.m}$$

CALCUL DES ACIERS:

=

$$\mu = \frac{15.M}{\bar{\sigma}_a \cdot b \cdot h^2} = \frac{15 \cdot 38566}{2800 \cdot 100 \cdot 6^2} = 0,05738$$

$$\mu = 0,05738 \quad K = 35,2 \quad \varepsilon = 0,9004$$

$$A = \frac{M}{\bar{\sigma}_a \cdot \varepsilon \cdot h} = \frac{38566}{2800 \cdot 0,9004 \cdot 6} = 2,54 \text{ cm}^2$$

SOIT 6T8 /m1 ( $A=3,01 \text{ cm}^2$ )

Espacement:

Selon les recommandation du C.T.C indiqué  $t < 2.e = 16 \text{ cm}$

$e$  = épaisseur totale du bequet.

$t$  = écartement entre les armatures longitudinales (boucles)  
soit  $t = 14 \text{ cm}$  (entre boucles)

Armatures longitudinales de répartition

Les bequets comportent des armatures longitudinales de répartition de section totale supérieur ou égale à  $0,5 \text{ cm}^2$  (soit une barre Ø8, ou 2 barres Ø6 suivant les deux directions du bequet.)

$$\text{on a } A=3,01 \text{ cm}^2 \quad A/4 \leq A_{\text{rep}} \leq A/2$$

$$0,752 \leq A_{\text{rep}} \leq 1,505$$

$$\text{soit } A_{\text{rep}} = 3T8 \quad (A=1,5 \text{ cm}^2/\text{m1})$$

VERIFICATION AU CISAILLEMENT:

$$T = q = 2571,11 \text{ kg}$$

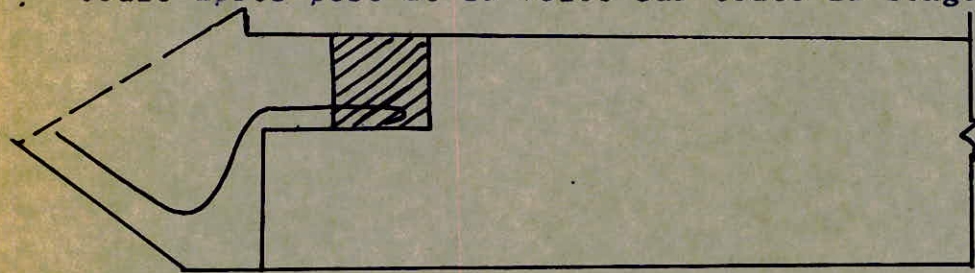
$$\tau_b = \frac{T}{b \cdot z} = \frac{2571,11}{100 \cdot 7/8 \cdot 6} = 4,89 \text{ kg/cm}^2$$

$$b = 1,15 \sqrt{b} = 1,15 \cdot 5,9 = 6,78 \text{ kg/cm}^2 \Rightarrow \tau_b < \bar{\tau}_b$$

Donc les armatures transversales dans les bequets ne sont pas nécessaires.

-- L I A I S O N P A L I E R P A I L L A S S E --

Afin d'assurer toute garantie , contre tout risque d'effondrement de la paillasse aussi bien sous les charges verticales normales que sous l'action du séisme , il devra obligatoirement être prévu une liaison systematiques des paillasses et des paliers par des armatures sortant des extrémités de la paillasse préfabriquée, et scellées dans un chainage coulé après pose de la volée sur toute la longueur de l'appui.



Les liaisons en acier devront être disposées au droit de cadres de la poutre palier et devront être choisies avec un diamètre supérieur ou égale à Ø 8 mm . Elles devront être totalement ancrées dans le chainage coulé en place et dans la paillasse préfabriquée.

CALCUL DES ACIERS DE LIAISON volée - palier

Chaque liaison haute et basse sera calculée pour une charge égale à 0,7 fois le poids total( Cp + 1,2S) de la volée préfabriquée.

$$q = 0,7(1,89 \cdot 971,7) = 1285,55 \text{ kg/ml}$$

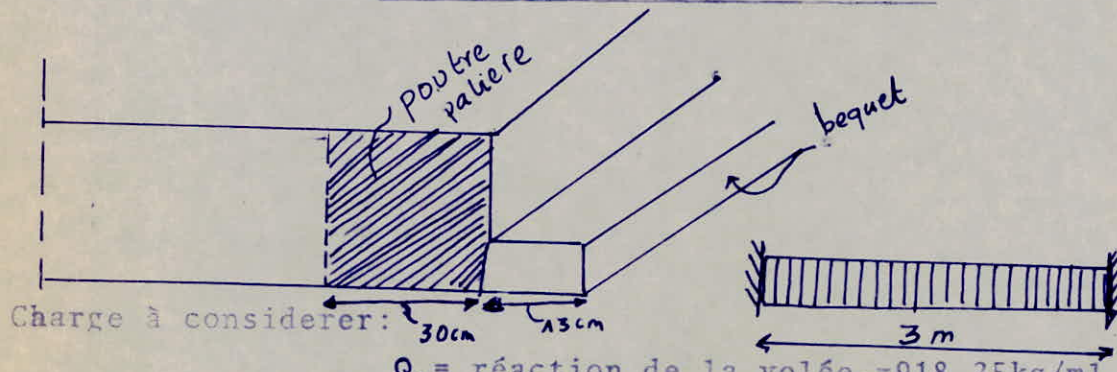
les aciers intervenant dans le cas de la traction volée , palier

$$A = \frac{F}{\sigma_a} \quad \text{avec } F = 1285,55 \cdot 1,50 = 1928,33 \text{ kg.}$$

$$A = 1928,33 / 2800 = 0,688 \text{ cm}^2$$

On prend  $A_L = 3T8$  soit  $A = 1,50 \text{ cm}^2$

avec un recouvrement de 50Ø c'est à dire  $50 \cdot 0,6 = 30 \text{ cm}$

CALCUL DE LA POUTRE PALIERE

La poutre sera considérée comme encastrée à ses extrémités.

Moment en travée.

$$M_t = \frac{q_1}{24} l^2 = \frac{2343,25 \cdot 3^2}{24} = 878,71 \text{kg.m}$$

Moment en appui:

$$M_a = \frac{-q_1}{12} l^2 = -\frac{2343,25 \cdot 3^2}{12} = -1757,42 \text{kg.m}$$

Effort tranchant:

$$T = \frac{q_1}{2} l = \frac{2343,25 \cdot 3}{2} = 3514,87 \text{kg.}$$

Prédimensionnement de la poutre.

$$ht/10 > 1/10 \cdot M_t/M_o \quad \text{avec } M_o = qL^2/8 = 2636,15 \text{kg.m}$$

$$\text{soit } ht > 1/100 \cdot 300 \cdot 878,71 / 2636,15 = 0,9 \text{cm}$$

Soit  $ht = 16 \text{cm}$

$$\zeta_b = \frac{T}{b.z} = \frac{3514,87}{30 \cdot 16} < 3,5 \bar{\zeta}_b \quad b = \frac{T}{3,5 \bar{\zeta}_b \cdot 7/8 \cdot h} = 6,94 \text{cm}$$

soit  $b = 30 \text{cm}$

Ferraillage de la poutre.

Armature en travée.

$$\mu = \frac{15M_t}{\bar{\zeta}_a \cdot b \cdot h^2} =$$

$$\mu = \frac{15 \cdot 878,71 \cdot 100}{2800 \cdot 30 \cdot 14^2} = 0,08$$

$$\Rightarrow \begin{cases} K=28,55 \\ \varepsilon=0,8852 \end{cases}$$

$$\text{Contrainte du béton } \bar{\zeta}_b' = \frac{\bar{\zeta}_a}{K} = \frac{2800}{28,55} = 98,05 \text{kg/cm}^2$$

donc les aciers comprimés ne sont pas nécessaires.

Acier tendu:

$$A = \frac{M}{\bar{\sigma}_a \cdot E \cdot h} = \frac{878,71 \cdot 100}{2800 \cdot 0,8852 \cdot 14} = 2,53 \text{ cm}^2$$

Soit 3T12 ( $A = 3,39 \text{ cm}^2$ )

Acier en appui:

$$\mu = \frac{15 \cdot 1757,42 \cdot 100}{2800 \cdot 30 \cdot 14^2} = 0,160 \Rightarrow \left\{ \begin{array}{l} K=18 \\ \varepsilon=0,8485 \end{array} \right.$$

$$A = \frac{M}{\bar{\sigma}_a \cdot \varepsilon \cdot h} = \frac{175742}{2800 \cdot 0,8485 \cdot 14} = 5,28 \text{ cm}^2$$

soit 3T16  $A = 6,03 \text{ cm}^2$

Vérification de la fissuration:

$$K = 1,5 \cdot 10^6; \quad \eta = 1,6; \quad \varnothing 16; \quad wf = \frac{A}{Bf} = 0,033; \quad \bar{\sigma}_b = 5,9 \text{ kg/cm}^2$$

$$\bar{\sigma}_1 = \frac{K \cdot \eta}{\varnothing} \cdot \frac{wf}{1 + 10wf} \Rightarrow \bar{\sigma}_1 = 3721,80 \text{ kg/cm}^2$$

$$\bar{\sigma}_2 = 2,4 \sqrt{\frac{K \cdot \eta \cdot \bar{\sigma}_b}{\varnothing}} \Rightarrow \bar{\sigma}_2 = 2257,78 \text{ kg/cm}^2$$

$$\max(\bar{\sigma}_1, \bar{\sigma}_2) = 3721,80 \text{ kg/cm}^2 > \bar{\sigma}_a = 2800 \text{ kg/cm}^2$$

donc la condition est vérifiée.

Condition de non fragilité.

$$A_o \geq 0,69 \cdot b \cdot h \cdot \frac{\bar{\sigma}_b}{\bar{\sigma}_{en}} = 0,69 \cdot 30 \cdot 14 \cdot \frac{5,9}{4200} = 0,40 \text{ cm}^2$$

$$A_t = 3,39 \text{ cm}^2 > A_o = 0,40 \text{ cm}^2$$

$$A_a = 6,03 \text{ cm}^2 > A_o = 0,40 \text{ cm}^2$$

Fleche:

$$* \frac{ht}{l} > 1/10 \Rightarrow 16/300 = 0,053 < 0,1$$

$$* \frac{ht}{l} \geq \frac{Mt}{10Mo} = \frac{878,71}{10 \cdot 2636,15} \text{ vérifiée.}$$

$$* \frac{A}{b \cdot h} \geq \frac{43}{\bar{\sigma}_{en}}; \quad \frac{43}{4200} = 0,0102, \quad \frac{A}{1430} = 0,014$$

Effort tranchant:

$$\zeta_b = \frac{T}{b.z} \leq \bar{\zeta}_b$$

comme  $\bar{\zeta}'_{bo} \leq \zeta'_b \leq \bar{\zeta}'_b \Rightarrow \bar{\zeta}_b = (4,5 - \frac{\zeta'_b}{\bar{\zeta}'_{bo}}) \bar{\zeta}_b$

$$\bar{\zeta}_b = (4,5 - \frac{98,05}{68,5}) 5,9 = 18,10 \text{ kg/cm}^2$$

$$\zeta_b = \frac{3514,87}{30,14} = 8,36 \text{ kg/cm}^2 \Rightarrow \zeta_b = 8,36 \text{ kg/cm}^2 < \bar{\zeta}_b$$

$\Rightarrow$  vérifié

Armatures transversales:

La section (At) d'armature transversale est constituée d'un cadre et d'un étrier Ø8 At = 3T8 = 1,5 cm<sup>2</sup>

Espacement:

$$\bar{\zeta}_{at} = f_{at} \bar{\zeta}_e$$

$$f_{at} = \max(1 - \frac{\zeta_b}{9\bar{\zeta}_b}, \frac{2}{3}) \text{ pas de reprise de bétonnage.}$$

soit  $f_{at} = 0,84$

$$\bar{\zeta}_{at} = 0,84 \cdot 2400 = 2016 \text{ kg/cm}^2 \text{ (Acier doux ou rond lisse)}$$

$$\bar{\zeta}_a = 1600 \text{ kg/cm}^2$$

$$\bar{\zeta}_{at} = 2016 \text{ kg/cm}^2 \quad \text{----- Fe E24}$$

$$\bar{\zeta}_e = 2400 \text{ kg/cm}^2$$

$$t = \frac{1,5(7/8) \cdot 14 \cdot 2016}{3514,87} = 10,53 \text{ cm}$$

$$0,2h \leq t \leq (1 - 0,3 \frac{\zeta_b}{\bar{\zeta}_b}) \cdot h \quad \zeta_b = 8,36 \text{ kg/cm}^2$$

$$\bar{\zeta}_b = 5,9 \text{ kg/cm}^2$$

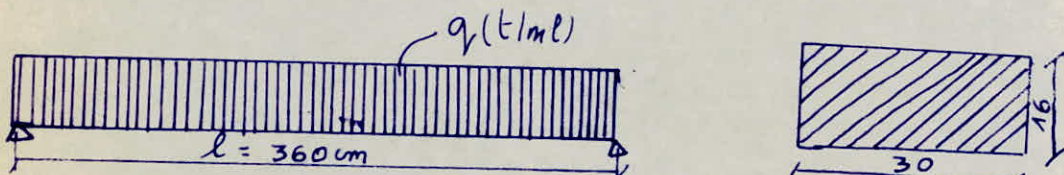
$$2,8 \text{ cm} \leq t \leq 8,04 \text{ cm} \quad \text{soit } t = 8 \text{ cm}$$

Demi longueur L/2 = 150 cm

pour la répartition des armatures transversales perpendiculaires à la ligne moyenne, on utilisera la méthode de Mr CAQUOT applicable aux cas des poutres supportant des charges uniformément réparties.

- CALCUL DES POUTRES NOYÉES -

Au niveau des loggias on prévoit une bande noyée de 30cm de largeur et de 16cm de hauteur ,elle sera considérée comme simplement appuyée et chargée uniformément.



Poids propre de la poutre:  $G_1 = 2,5 \cdot 0,3 \cdot 0,16 \cdot 3,6 = 432 \text{ kg.}$

Poids du plancher lui revenant:  $G_2 = 0,607 \cdot 2 \cdot 1,8^2 = 1960 \text{ Kg.}$

Surcharge du plancher:  $P_1 = 0,4 \cdot 2 \cdot 1,8^2 = 1,29 t.$

Surcharge sur la poutre:  $P_2 = 0,4 \cdot (3,6 \cdot 0,3) = 13,2 \text{ kg.}$

$$Q = G_1 + G_2 + 1,2(P_1 + P_2)$$

$$Q = 2,392 + 1,2(1,722) = 4,458 t$$

$$q = \frac{Q}{L} = 1,238 t/m$$

Moment fléchissant:  $M_{\max} = \frac{q_1 L^2}{8} = 2,005 t.m.$

$$T_{\max} = q \cdot L/2 = 2,22 t$$

Ferraillage de la poutre:

$$\mu = \frac{15 M}{\bar{\sigma}_a b h^2} = \frac{15 \cdot 2,005 \cdot 10^5}{2800 \cdot 30 \cdot 14^2} = 0,1826$$

$$\mu = 0,1826 \quad K = 16,43 \quad \varepsilon = 0,8410$$

$$\bar{\sigma}'_b = \frac{\bar{\sigma}_a}{K} = 2800/16,43 = 170,21 \text{ kg/cm}^2 > \bar{\sigma}'_b = 137,5 \text{ kg/cm}^2$$

Donc les armatures comprimées sont nécessaires.

$$\text{Soit } K = \bar{\sigma}'_a / \bar{\sigma}'_b = 20,26 \quad \text{soit } K = 18 \quad \alpha = 0,4545$$

$$\omega = 1,263$$

$$\mu' = 0,1928$$

contrainte de traction des aciers.

$$\bar{\sigma}_a = K \cdot \bar{\sigma}'_b = 2475 \text{ kg/cm}^2 < \bar{\sigma}_a$$

$$\bar{\sigma}_a = 15 \cdot \left( \frac{\alpha - \delta'}{\alpha} \right) = 1413,57 \text{ kg/cm}^2 < \bar{\sigma}_a$$

Calcul des aciers comprimées.

$$\Delta M = \mu' \cdot b \cdot h^2 \cdot \bar{\sigma}_b = 1,567 \text{ t.m}$$

$$\Delta M = M - Mo = 0,36 \text{ t.m}$$

$$A = \frac{\Delta M}{(h-d) \cdot \bar{\sigma}_a} = \frac{0,36 \cdot 10^5}{(14-2) \cdot 1413,57} = 2,12 \text{ cm}^2$$

Soit  $A=3,01 \text{ cm}^2$  c'est à dire 6T8

Calcul des aciers tendus:

$$A = \frac{W \cdot b \cdot h}{100} + \frac{M}{(h-d') \cdot \bar{\sigma}_a} = 6,51 \text{ cm}^2$$

Soit 6T12  $A=6,78 \text{ cm}^2$

Armatures transversales:

$$T=2,22 \text{ t} \quad \bar{\sigma}_b = \frac{T}{b \cdot z} = 6,04 \text{ kg/cm}^2 < 3,5 \cdot \bar{\sigma}_b'$$

donc les armatures transversales perpendiculaires à la ligne moyenne seront des cadres etétriens de nuances Adx Fe.E24.

Taux de travail admissible de ces armatures.

$$\bar{\sigma}_{at} = (1 - \frac{\bar{\sigma}_b}{9 \cdot \bar{\sigma}_b}) \cdot \bar{\sigma}_{en} = 2136,94 \text{ kg/cm}^2$$

$$\bar{\sigma}_{at} > 2/3 \cdot \bar{\sigma}_{en} = 1600 \text{ kg/cm}^2$$

donc on choisira des cadres Ø6 (4)  $A=1,13 \text{ cm}^2$

Espacement des cadres au voisinage des appuis.

$$t = \frac{At \cdot z \cdot \bar{\sigma}_{at}}{T} = 10,33 \text{ cm}$$

Espacement max réglementaire.

$$t_{max} \leq \left( 0,2h, h \left( 1 - \frac{0,3 \cdot \bar{\sigma}_b}{\bar{\sigma}_b} \right) \right)$$

$$h=14 \text{ cm} \quad \bar{\sigma}_b = 5,9 \text{ kg/cm}^2 \quad \bar{\sigma}_b = 6,04 \text{ kg/cm}^2$$

$$\begin{cases} t_1 = 2,8 \text{ cm} \\ t_2 = 9,85 \text{ cm} \end{cases}$$

SOIT  $t = 8 \text{ cm}$

Verification de la condition de non fragilité.

$$A \geq 0,69 \cdot \frac{\bar{\sigma}_b}{\bar{\sigma}_{en}} \cdot b \cdot h$$

$$0,69 \cdot 5,9 / 4200 \cdot 14 \cdot 30 = 0,40 \text{ cm}^2$$

on  $A = 6,78 \text{ cm}^2 > 0,4 \text{ cm}^2 \Rightarrow \text{verified}$

Verification de la fissuration:

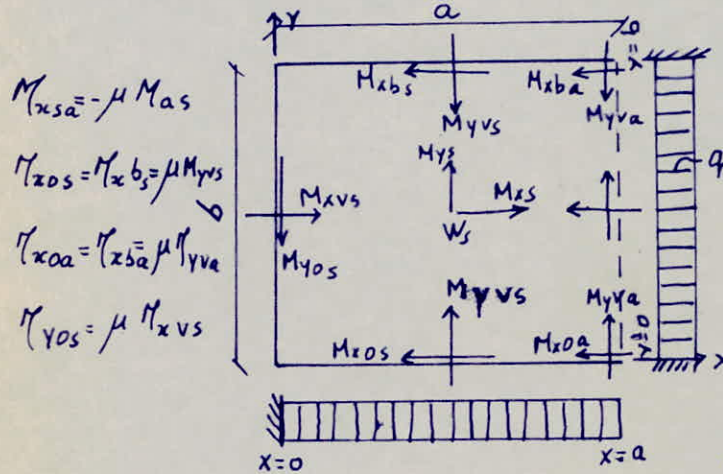
$$K = 1,5 \cdot 10^6, \quad \eta = 1,6 \quad \bar{\sigma}_b = 5,9 \text{ kg/cm}^2 \quad wf = \frac{A}{2 \cdot b \cdot d} = \frac{6,78}{2 \cdot 2 \cdot 30} = 0,055$$

$$\bar{\sigma}_1 = \frac{K \cdot \eta}{\emptyset} \cdot \frac{wf}{1 + 10wf} = 7096,77 \text{ kg/cm}^2$$

$$\bar{\sigma}_2 = 2,4 \sqrt{\frac{K \cdot \eta \cdot \bar{\sigma}_b}{\emptyset}} = 2607,06 \text{ kg/cm}^2$$

$\max(\bar{\sigma}_1, \bar{\sigma}_2) = 7096,77 \text{ kg/cm}^2 > \bar{\sigma}_a = 2800 \text{ kg/cm}^2$   
pas de risque de fissuration.

Dalle portant sur 2 sens encastré sur 3 cotés libre  
sur le 4<sup>eme</sup> côté dalle N° 4



### Table de BARRES

$$\mu = 0.15 \text{ (coefficient de POISSON)}$$

$$\gamma = \frac{a}{b} = \frac{467}{300} = 1.556$$

$$q = 817 \text{ Kg/m}^2$$

$$h_t = 16 \text{ cm}, h = 14 \text{ cm}$$

$$E = 2,1 \cdot 10^5 \text{ Kg/cm}^2$$

$$q \cdot a^2 = 0,817 \cdot 4,67^2 = 17,817 \text{ t/m}^2$$

$$q \cdot b^2 = 0,817 \cdot 3^2 = 7,353 \text{ t/m}^2$$

$\gamma$	$w_s$	$w_{bs}$	$M_{xs}$	$M_{xvs}$	$M_{ys}$	$M_{yas}$	$M_{yvs}$	$M_{yva}$
1,556	0,00508	0,00609	0,0044	-0,02357	0,0374	0,04491	-0,07973	-0,0845
$F_M$	$\frac{q a^4}{E h^3}$	$\frac{q a^4}{E h^3}$	$q a^2$	$q a^2$	$q b^2$	$q b^2$	$q b^2$	$q b^2$
Moment 0,7 est 0,3 au a	/	/	0,0783	0,4199	0,275	0,3301	0,586	0,62132

### FERRAILLAGE : (méthode de P. CHARRON)

$$M_{max} = 62132 \text{ Kg.cm}$$

$$\mu = \frac{15M}{\bar{\sigma}_a \cdot b \cdot h^2} = \frac{15 \cdot 62132}{2800 \cdot 100 \cdot 14^2} = 0,01698 \Rightarrow K = 72, \epsilon = 0,9425$$

on adoptera dans les 2 sens 4T8/m<sup>2</sup> ( $A = 2,01 \text{ cm}^2$ )

### Vérification :

1) condition de non fragilité: CCBAG8 (Art 52)

$A_0$  = armatures longitudinales suffisantes pour résister aux sollicitations calculées

$A_1$  = section d'acier évaluée pour résister dans les mêmes conditions que  $A_0$  et aux mêmes sollicitations

$$A_1 = 1.2 A_0$$

$A_2$  = section d'acier pouvant équilibrer la sollicitation de fissuration ou de rupture par traction du béton supposé non fissuré et non armé

$$A_2 = 0,69 \cdot b \cdot h \frac{\bar{G}_b}{G_{en}} x$$

pour acier dispose  
 selon lx       $\frac{2 - \rho}{2}$   
 $\rho = Lx/Ly$   
 pour aciers disposés  
 selon grand côté ly       $\frac{1 + \rho}{4}$

La section d'armature ( $A$ ) longitudinale susceptible d'être tendues dans une poutre ou dans une plaque rectangulaire doit être au moins égale à

- d'une part à la section  $A_o$
- d'autre part à la plus petite des sections  $A_1$  et  $A_2$

$$A \geq \sup \begin{cases} A_o \\ \min(A_1, A_2) \end{cases}$$

En outre en aucun cas le rapport de la section des aciers de chaque direction à la section totale du béton ne doit être inférieur à

$0,0008$ (rond lisse)
$0,0006$ (haute adhérence)

Remarque

Cette dernière condition (quelque soit le cas des que la section adoptée  $A_o > 1,4 \text{ cm}^2/\text{m}l$ ) est vérifiée

$$\frac{1,4}{100 \cdot 16} = 0,00085 > 0,0008 > 0,0006$$

$$\rho = l_x/l_y = 0,642 \quad A_2 x = 0,69 \cdot 100 \cdot 14 \cdot \frac{5,9}{4200} \left(1 - \frac{0,642}{2}\right) = 0,921 \text{ cm}^2$$

$$A_2 y = 0,69 \cdot 100 \cdot 14 \cdot \frac{5,9}{4200} \left(1 + \frac{0,642}{4}\right) = 0,557 \text{ cm}^2$$

$$A_1 x = 1,2 A_o x = 1,2 \cdot 2,01 = 2,412 \text{ cm}^2/\text{m}l$$

$$A_1 y = 1,2 A_o y = 1,2 \cdot 2,01 = 2,412 \text{ cm}^2/\text{m}l$$

$$A_x \geq \begin{cases} 2,01 \text{ cm}^2 \\ \min(2,412, 0,921) \end{cases} \Rightarrow A_x = 2,01 \text{ cm}^2/\text{m}l$$

SOIT 4 T8 POUR

$$A_y \geq \begin{cases} 2,01 \\ \min(0,557, 2,412) \end{cases} \Rightarrow A_y = 2,01 \text{ cm}^2/\text{m}l \text{ lit sup INF}$$

### Verification de la flèche

Si les deux vérifications suivantes sont vérifiées il est inutile de faire de vérification de flèche.

$$\begin{cases} h_0/l_x > 1/20 \cdot M_t/M_x & M_t > 0,75 M_x \\ A/b.h = w_0 < 20/\sigma_{en} \end{cases}$$

$M_t$  = moment en travée calculé.

$M_x$  = Moment max en travée, comme si la dalle était non encastrée et non continue par bande de longueur unité dans le sens  $l_x$ .

$$M_x = p_x \cdot q_x \cdot l_x^2 = 0,078 \cdot 0,817 \cdot 3^2 = 0,5735 \text{ t.m} = 57353 \text{ kg.cm}$$

$$M_t = 62132 \text{ kg.cm} > 0,75 \cdot M_x = 43014,75 \text{ kg.cm} \quad \text{VERIFIÉE.}$$

$$\text{Mais } h_0/l_x = 16/300 = 0,053 \neq 1/20 \cdot M_t/M_x = \frac{1}{20} \frac{62132}{57353} = 0,054$$

Faisons une vérification de flèche

$$\bar{f}_a = L/500 = 300/500 = 0,6 \text{ cm}$$

$$f = \frac{q L^4}{384 \cdot E \cdot I} = \frac{817 \cdot 3^4 \cdot 10^{-2}}{384 \cdot 115021,74 \cdot 0,00034} = 0,04 \text{ cm}$$

$$\bar{f}_a = 0,6 \text{ cm} \quad \text{ET} \quad f = 0,04 \text{ cm} \Rightarrow \text{verifié.}$$

$$w_0 = \frac{A}{b.h} = \frac{2,01}{100 \cdot 14} = 0,0014 < \frac{20}{\sigma_{en}} = \frac{20}{4200} = 0,0047 \quad \text{verifiée.}$$

CONDITION DE NON FISSURATION.

$$K = 1,5 \cdot 10^6 \quad (\text{fissuration peu nuisible})$$

$$\eta = 1,6 \quad (\text{HA}) \quad \varnothing = 8 \text{ mm} \quad \sigma_b = 5,9 \text{ kg/cm}^2$$

$$w_f = \frac{A}{B_f} = \frac{A}{2 \cdot b \cdot h} = (2,01) / (2 \cdot 2 \cdot 100) = 0,005$$

$$\sigma_1 = \frac{K \cdot \eta}{\varnothing} \cdot \frac{w_f}{(1 + 10 \cdot w_f)} = 1428,57 \text{ kg/cm}^2$$

$$\sigma_2 = 2,4 \sqrt{\frac{K \cdot \eta \cdot \sigma_b}{\varnothing}} = 3192,99 \text{ kg/cm}^2$$

$$\max(\sigma_1, \sigma_2) = 3192,99 \text{ kg/cm}^2 > \sigma_a = 2800 \text{ kg/cm}^2$$

condition vérifiée.

$\Rightarrow$  pas de risque de fissuration

Vérification des contraintes.

$$\bar{A}_x = 2,01 \text{ cm}^2 / \text{mL}$$

$$\bar{A}_y = 2,01 \text{ cm}^2 / \text{mL}$$

$$\tilde{w} = \frac{100 \cdot A}{b \cdot h} = \frac{100 \cdot 2,01}{100 \cdot 14} = 0,143$$

$$w = 0,143 \Rightarrow K = 65,10 \quad ; \quad \varepsilon = 0,9376$$

$$\tilde{\sigma}_a = \frac{M}{A \cdot \varepsilon \cdot h} = \frac{62132}{2,01 \cdot 0,9376 \cdot 14} = 2354,90 \text{ kg/cm}^2 < \tilde{\sigma}_a = 2800 \text{ kg/cm}^2$$

$$\tilde{\sigma}_b' = \frac{\sigma_a}{K} = \frac{2354,90}{65,10} = 36,17 \text{ kg/cm}^2 < \tilde{\sigma}_b' = 135 \text{ kg/cm}^2$$

Effort tranchant:

$$T_{\max} = \frac{q \cdot l}{2} = \frac{817 \cdot 4,67}{2} = 1907,69 \text{ kg}$$

$$\tilde{\tau} = \frac{T}{b \cdot z} = \frac{1907,69}{100 \cdot 7/8 \cdot 14} = 1,557 \text{ kg/cm}^2$$

$$\tilde{\tau} = 1,15 \cdot \tilde{\sigma}_b = 1,15 \cdot 5,9 = 6,785 \text{ kg/cm}^2$$

$$\Rightarrow \tilde{\tau}_b < 1,15 \tilde{\sigma}_b \Rightarrow \text{verified.}$$

2<sup>me</sup> type de dalle, encastrée sur les 4 cotés.  
dalle 11

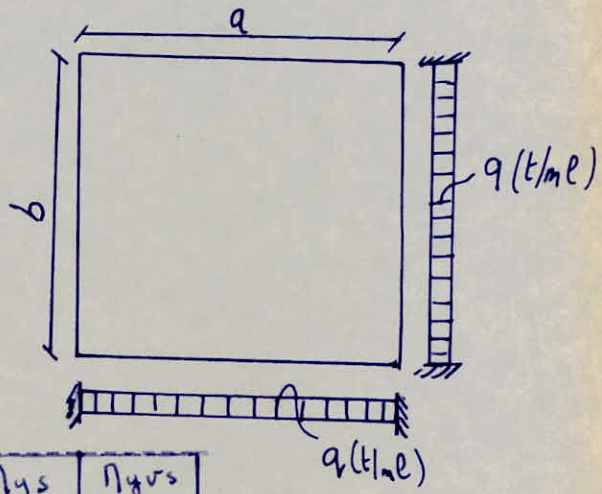
table de BARRES(1.12)

$$\mu = 0,15$$

$$\delta = a/b = 1$$

$$q_a^2 = 7,353 t.m$$

$$q_b^2 = 7,353 t.m$$



$\gamma$	$w_s$	$M_{axs}$	$M_{ayr}$	$N_{ys}$	$N_{yrs}$
1	0,0149	0,0202	0,0515	0,0202	0,0515
$t.m$	—	0,14853	0,37867	0,14853	0,37867

$$M_{max} = 37867 \text{ kg.cm}$$

$$\mu = \frac{15.M}{G_a.b.h^2} = \frac{15.37867}{2800.100.14^2} = 0,0103 \Rightarrow \left\{ \begin{array}{l} \\ \epsilon = 0,9545 \end{array} \right.$$

section d'acier

$$A = \frac{M}{G_a \cdot \epsilon \cdot h} = \frac{37867}{2800.0,9545.14} = 1,012 \text{ cm}^2$$

ON adoptera dans les deux sens  $4T8 = A = 2,01 \text{ cm}^2/\text{m}$  pour le lit supérieur et le lit inférieur.

#### VERIFICATION

1) Condition de non fragilité.

$$A_{ox} = A_{oy} = 2,01 \text{ cm}^2$$

$$A_{1x} = A_{1y} = 1,2.2,01 = 2,412 \text{ cm}^2$$

$$\rho = l_x/l_y = 1$$

$$A_{2x} = 0,69.100.14 \frac{5,9}{4200} (1 - \frac{1}{2}) = 0,678 \text{ cm}^2$$

$$A_{2y} = 0,69.100.14 \frac{5,9}{4200} (\frac{1+1}{4}) = 0,678 \text{ cm}^2$$

$$A_x = 2,01 \text{ cm}^2$$

$$A_y = 2,01 \text{ cm}^2$$

car  $A > \begin{cases} A_o \\ \min(A_1, A_2) \end{cases}$

$$A/5,8 = 0,00085 > 0,0008 \text{ vérifiée.}$$

2) Vérification de la flèche.

$$\frac{h_0}{l_x} = 16/300 = 0,053$$

$$1x$$

$$M_x = \mu_x \cdot q_x \cdot 1x^2 = 0,0423 \cdot 8,17 \cdot 300^2 = 31103 \text{ kg.cm}$$

$$M_t = 37867 > 0,75 \cdot M_x = 23327 \text{ kg.cm} \quad \rightarrow \text{ vérifiée.}$$

$$h_0/1x = 0,053 > 1/20 \cdot M_t/M_x = 0,0374$$

$$A/b.h = 2,01/100 \cdot 14 = 0,0014 < 20/4200 = 0,0047 \quad \text{vérifiée.}$$

3) CONDITION DE NON FISSURATION.

$$K=1,5 \cdot 10^6 \quad \gamma = 1,6 \quad (\text{acier H.A}) \quad \varnothing = 8 \text{ mm}; \quad \bar{\sigma}_b = 5,9 \text{ kg/cm}^2$$

$$w_f = A/Bf = 2,01/2 \cdot 100 \cdot 2 = 0,005$$

$$\bar{\sigma}_1 = \frac{K \cdot \gamma}{\varnothing} \cdot \frac{w_f}{(1+10w_f)} = 1428,57 \text{ kg/cm}^2$$

$$\bar{\sigma}_2 = 2,4 \sqrt{\frac{K \cdot \gamma b}{\varnothing}} = 3192,99 \text{ kg/cm}^2$$

$$\max(\sigma_1, \sigma_2) = 3192,99 \text{ kg/cm}^2 > \bar{\sigma}_a = 2800 \text{ kg/cm}^2 \quad \text{vérifiée.}$$

Verification de contraintes.

$$\left. \begin{array}{l} A_x = 2,01 \text{ cm}^2/\text{ml} \\ A_y = 2,01 \text{ cm}^2/\text{ml} \end{array} \right\} \tilde{w} = \frac{A \cdot 100}{b \cdot h} = \frac{2,01 \cdot 100}{100 \cdot 14} = 0,143$$

$$\tilde{w} = 0,143 \Rightarrow K = 65,10; \quad \epsilon = 0,9376$$

$$\bar{\sigma}_a = \frac{M}{A \cdot \epsilon \cdot h} = \frac{37867}{2,01 \cdot 0,9376 \cdot 14} = 1435,22 \text{ kg/cm}^2 < \bar{\sigma}_a = 2800 \text{ kg/cm}^2$$

$$\bar{\sigma}_b' = \frac{\bar{\sigma}_a}{K} = \frac{1435,22}{65,10} = 22,04 \text{ kg/cm}^2 < \bar{\sigma}_b' = 137 \text{ kg/cm}^2 \quad \text{vérifiée.}$$

Verification de l'effort tranchant.

$$T_{\max} = \frac{q_1}{2} = \frac{817,5}{2} = 1225,5 \text{ kg}$$

$$\zeta = T/b.z = \frac{1225,5}{100(7/8) \cdot 14} = 1 \text{ kg/cm}^2$$

$$\tilde{\zeta} = 1,15 \bar{\sigma}_b = 1,15 \cdot 5,9 = 6,785 \text{ kg/cm}^2$$

$$\Rightarrow \zeta_b < 1,15 \bar{\sigma}_b \Rightarrow \text{vérifiée.}$$

Dalle portant sur un seul sens encastrées sur 3 côtés le 4ème étant libre, on choisit pour le calcul la dalle N°13 et on ferraillée ensuite de la même manière les autres dalles similaires.

$a = 9,32\text{m}$        $b = 3,60\text{m}$        $a/b = 2,58$        $1/\sqrt{b} = 0,38 < 0,5$   
 $l_x = 3,60\text{m}$        $l_y = 9,32\text{m}$        $q = 817\text{kg/ml}$   
 le calcul de cette dalle se fera comme le calcul d'une poutre encastrée à ses deux extrémités.

$$M_t = \frac{l_y l_x^2}{10} = 1,058\text{tm/ml}$$

$$M_a = -\frac{q l_x^2}{20} = 0,529\text{t.m/ml}$$

Ferraillage:

$$\mu_t = \frac{15 \cdot M}{\bar{\sigma}_a \cdot b \cdot h^2} = \frac{15 \cdot 1,058 \cdot 10^5}{2800 \cdot 100 \cdot 14^2} = 0,0289.$$

$$t = 0,0289 \quad K = 53 \quad \varepsilon = 0,9265$$

$$A_t = M_t / \bar{\sigma}_a \cdot \varepsilon \cdot h = 2,91\text{cm}^2$$

$$\mu_{ap} = \frac{15 \cdot M_a}{\bar{\sigma}_a \cdot b \cdot h^2} = \frac{15 \cdot 0,529 \cdot 10^5}{2800 \cdot 100 \cdot 14^2} = 0,0144$$

$$\mu_{ap} = 0,0144 \quad K = 78,7 \quad \varepsilon = 0,9467$$

$$A_{ap} = M_a / \bar{\sigma}_a \cdot \varepsilon \cdot h = 1,425\text{cm}^2$$

On adoptera donc en travée 6T8/ml  $A = 3,01\text{cm}^2$  suivant  $l_x$  et 4T8/ml en appui.

dans le sens  $l_y$  on adoptera le même ferraillage que  $l_x$

1) Vérification de la condition de non fragilité.

$$A_g = 1,2 A_o = 3,61\text{cm}^2$$

$$A_2 = 0,69 \cdot b \cdot h \cdot \bar{\sigma}_b (1 - \rho) / 2 \cdot \bar{\sigma}_{en} = 0,42\text{cm}^2$$

$$A_{y2} = 0,69 \cdot b \cdot h \cdot \bar{\sigma}_b (1 + \rho) / 4 \cdot \bar{\sigma}_{en} = 0,468\text{cm}^2$$

$$\min(A_1, A_2) = 0,42\text{cm}^2 \quad A > \sup \begin{cases} 3,01\text{cm}^2 \\ 0,42\text{cm}^2 \end{cases} \quad \text{vérifiée.}$$

$$A_{1y} = 1,2 A_o = 1,2 \cdot 2,01 = 2,41\text{cm}^2$$

$$A_{2y} = 0,468\text{cm}^2$$

$$\min(A_1, A_2) = 0,468\text{cm}^2 \quad A > \sup \begin{cases} 2,01 \\ 0,468 \end{cases} \quad \text{vérifiée.}$$

## 2) Verification de la flèche.

$$M_t = 1,058 t.m \quad M_x = 1/8 \cdot (1 + 2 \cdot 3^3) q_{12} = 0,138 \cdot 0,817 \cdot 3,6^2 \\ M_x = 1,47 t.m$$

$$h_o/l_x = 16/360 = 0,044 > M_t/M_x \cdot 1/20 = 1/20 \cdot 1,058/1,47 = 0,035 \\ A/b.h.w = 20/16 = 3,01/100 \cdot 16 = 0,0018 \quad 20/4200 = 0,0047 \\ \text{donc la flèche est vérifiée.}$$

## 3) Condition de non fissuration.

$$K = 1,5 \cdot 10^6 \quad m = 1,6 \quad b = 100 \quad d = 2 \quad w_f = A/Bf = 0,0075 \\ \emptyset 8 \text{ mm}$$

$$\bar{\sigma}_1 = \frac{K \cdot n}{\emptyset} \cdot \frac{w_f}{1 + 10w_f} \quad \bar{\sigma}_1 = 2093,02 \text{ kg/cm}^2$$

$$\bar{\sigma}_2 = 2,4 \sqrt{\frac{K \cdot n \cdot \bar{\sigma}_b}{\emptyset}} \quad \bar{\sigma}_2 = 3192,99 \text{ kg/cm}^2$$

$$\max(\bar{\sigma}_1, \bar{\sigma}_2) = 3182,99 \text{ kg/cm}^2 < \bar{\sigma}_a = 2800 \text{ kg/cm}^2$$

PAS D'ERISQUE DE FISSURATION.

## 4) Verification de contraintes:

$$w = \frac{100 \cdot A}{b \cdot h} = \frac{3,01}{14} = 0,215 \rightarrow K = 52, \quad \varepsilon = 0,9254$$

$$\bar{\sigma}_a = \frac{M}{A \cdot \varepsilon \cdot h} = 2373,93 \text{ kg/cm}^2 < \bar{\sigma}_a = 2800 \text{ kg/cm}^2$$

$$\bar{\sigma}_{b'} = \frac{\bar{\sigma}_a}{K} = 2373,93/52 = 45,65 \text{ kg/cm}^2 < \bar{\sigma}_b = 137 \text{ kg/cm}^2$$

## 5) Verification de l'effort tranchant.

$$T = \frac{q \cdot 1}{2} = 1470,6 \text{ kg.} \quad \bar{\tau}_b = \frac{T}{b \cdot z} = 1470,6 / 100 \cdot 0,87 \cdot 14 \quad \bar{\tau}_b = 1,20 \text{ kg/cm}^2$$

$$\bar{\tau}_b = 1,15 \cdot \bar{\sigma}_b = 1,15 \cdot 5,9 = 6,78 \text{ kg/cm}^2$$

$$\bar{\tau}_b < \bar{\sigma}_b \quad \text{condition vérifiée.}$$

## CALCUL DES PREDALES DU PLANCHER HAUT DU VIDE SANITAIRE

---

### CHOIX DU SYSTEME DES PREDALES:

Vu l'impossibilité d'un coffrage table et banche pour ce plancher, voulant éviter la solution d'un coffrage perdu; nous adoptons un système de pré-dalles préfabriquées jointives présentant les avantages suivants:

- \*-Suppression des coffrages, réduction de l'etaiement, facilité d'incorporation des canalisations, suppression des enduits de platre en sous face.

- \*-Préfabrication: sur le chantier, en usine, fabrication soignée de chaque élément, rendement assuré, réalisation aisée d'éléments non réguliers, réservation facile.

- \*-Temps d'exécution et de livraison réduit.

### DEFINITIONS, CALCUL DES PREDALLES:

On désigne par prédalles, des plaques préfabriquées en béton armé ou précontraint destinés à former la partie inférieure armée d'un plancher de type dalle pleine qui après durcissement d'une lame de béton, d'épaisseur au moins égale à celle des prédalles est coulé sur le chantier où aura un fonctionnement monolithique.

Dans le calcul, nous aurons à considérer 3 phases, conformément aux prescriptions du CCBA 68 (Art 22) : Les 3 phases sont :

1<sup>ere</sup> phase : Prédalle soumise à son poids propre seulement.

2<sup>e</sup> phase : Prédalle soumise à son poids propre, plus une surcharge constituée de béton frais coulé sur chantier et une surcharge forfaitaire  $100\text{kg/m}^2$  DITE de chantier, correspondant aux ouvriers, aux matériels courants ou aux matériaux concentrés susceptibles d'être présents pendant la mise en œuvre.

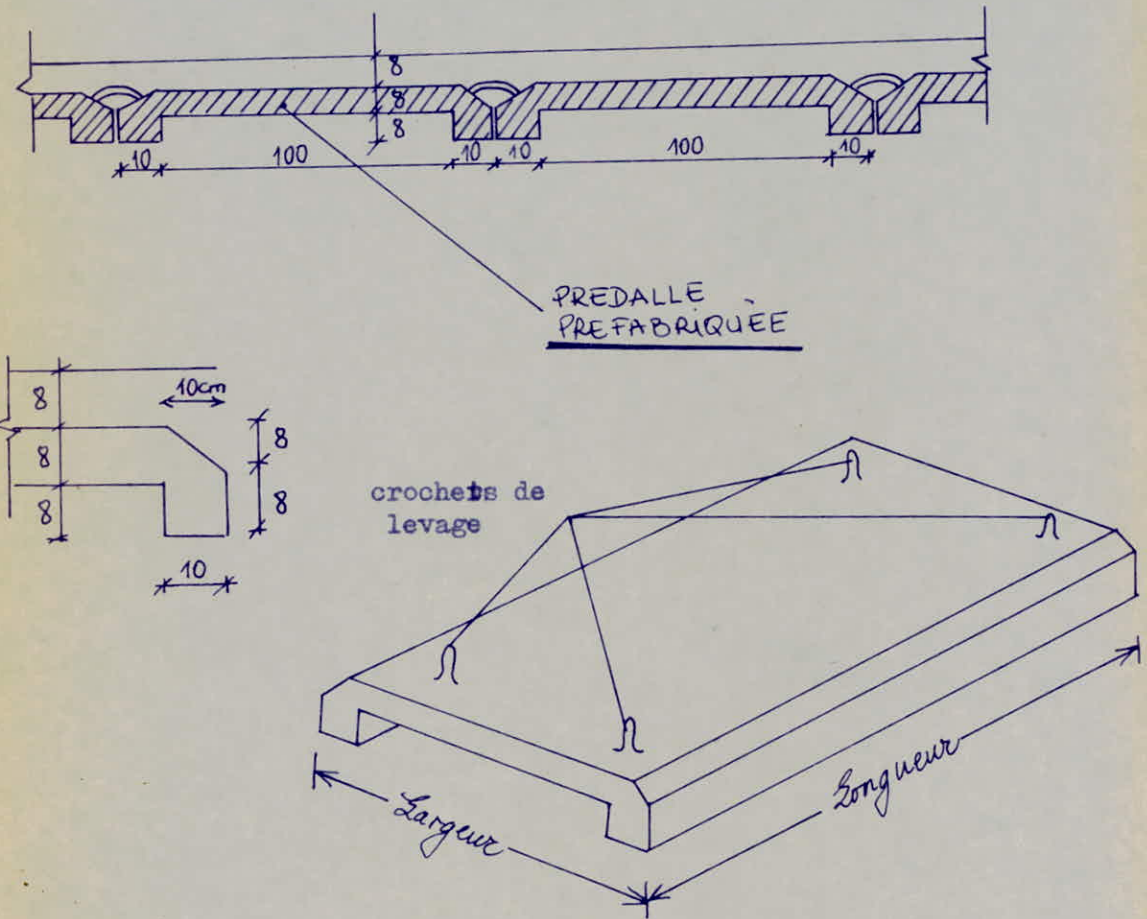
3<sup>e</sup> phase : Prédalle à pleine résistance sous G+1,2P. Les prédalles sont calculées suivant les règles classiques de la résistance des matériaux et armés en conséquence.

### DIMENSIONNEMENTS :

La longueur d'une prédale sera prise égale à la petite portée du panneau plus 8cm qui doivent servir comme appuis de la dite prédale sur les voiles du vide sanitaire, la largeur est en fonction de la grande portée du panneau et de l'emplacement des trémis.

L'étude sera faite seulement pour les prédalles du panneau N°13

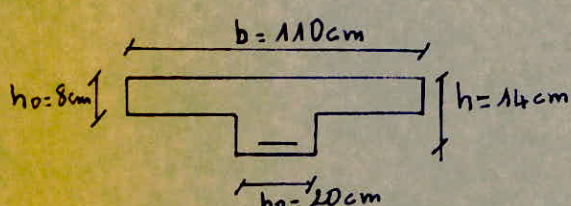
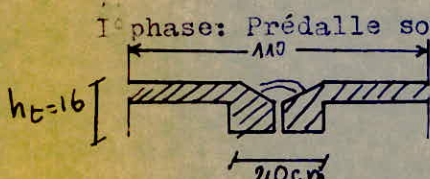
L'étude est similaire pour tous les autres



DETAIL D'une predalle et de son système  
de crochets de levage

#### ETUDE DES POUTRES PORTEUSES

des armatures de ligatures sont prévues au niveau de la jonction de deux predalles consecutives, ce qui nous permet d'adopter comme section transversale de calcul une section en Té. nous utiliserons les méthodes exposées dans le calcul et la vérification des ouvrages en béton armé (théorie et application) de P.CHARON. Pour les 2 types de section; rectangulaire ou section en Té.



Charge par metre linéaire:

$$q = (0.20 \cdot 0.08 + 1.10 \cdot 0.08) \cdot 2500 = 260 \text{ kg/ml}$$

2° Phase : predalle soumise à son poids propre plus une surcharge constituée de béton frais, de chantier(ouvriers et matériel)  
charge par mètre linéaire:

Poids propre par mètre linéaire = 260kg/ml

Béton frais majoré: 1.2 . 0,08 . 1,10 . 2500 = 264kg/ml

Surcharge de chantier majorée: 1,2 . 1,10 ; 100 = 132kg/ml

$$q = 656 \text{ kg/ml}$$

La comparaison des 2 valeurs de surcharge par mètre linéaire dans les deux phases montre que le cas le plus défavorable est celui de la 2<sup>e</sup> phase.

$$\text{ETUDE DE LA 2}^{\circ} \text{ PHASE. } M = \frac{q \cdot 12}{8} = \frac{656 \cdot (3,60)^2}{8} = 1062,71 \text{ kg/ml}$$

$$\text{Position de l'axe neutre } N = \frac{15 \cdot M}{a \cdot b \cdot h^2} = \frac{15 \cdot 1062,71 \cdot 14^2}{2800 \cdot 110 \cdot 14^2}$$

$$N = 0,0264 \quad \alpha = 0,2116 \quad K = 55,8 \quad E = 0,9294$$

$$h = 0,2116 \cdot 14 = 2,964 \text{ cm} \quad h_d = 8 \text{ cm}$$

L'axe neutre tombe dans la table on calcule la section rectangulaire de largeur  $b$  et de hauteur  $h$ .

Section d'armature/:

$$A = \frac{M}{\sigma_a \cdot E \cdot h} = \frac{1062,71 \cdot 10^2}{2800 \cdot 0,9294 \cdot 14} = 2,91 \text{ cm}^2$$

$$A = 50/10 = 3,92 \text{ cm}^2$$

VERIFICATIONS

$$\text{a) Contraintes: } \bar{\sigma}_a = \frac{M}{A \cdot E \cdot h} = \frac{106271}{3,92 \cdot 0,9294 \cdot 14}$$

$$\bar{\sigma}_a = 2083,54 \text{ kg/cm}^2 < \bar{\sigma}_a = 2800 \text{ kg/cm}^2 \text{ Verifiée.}$$

$$\tilde{\sigma}_b' = \frac{\tilde{\sigma}_a}{K} = \frac{2083,54}{55,8} = 37,33 \text{ kg/cm}^2$$

$$\tilde{\sigma}_b' = 37,33 \text{ kg/cm}^2 < \tilde{\sigma}_b = 135 \text{ kg/cm}^2$$

$$\bar{\omega} = \frac{100 \cdot A}{S \cdot h} = \frac{100 \cdot 3,92}{110 \cdot 14} = 0,162 \quad \rightarrow \quad \epsilon = 0,9199$$

$$\tilde{\sigma}_a = \frac{M}{A \cdot \epsilon \cdot h} = \frac{105271}{3,92 \cdot 0,9199 \cdot 14} = 2105,05 \text{ kg/cm}^2$$

$$\tilde{\sigma}_b = \frac{\tilde{\sigma}_a}{K} = \frac{2105,05}{47,4} = 44,41 \text{ kg/cm}^2 < \tilde{\sigma}_b' = 135 \text{ kg/cm}^2$$

b) Non fragilité

$$A_{\min} = 0,69 \cdot b \cdot h \cdot \frac{\tilde{\sigma}_b}{\tilde{\sigma}_{\text{en}}}$$

$$A = 3,92 \cdot 0,69 \cdot 110 \cdot 14 \cdot \frac{5,9}{4200} = 1,49 \text{ cm}^2 \quad \text{Vérifié.}$$

c) Non fissuration/

$$\bar{\omega}_f = \frac{A}{Bf} = \frac{A}{2 \cdot b \cdot d} = \frac{3,92}{2 \cdot 110 \cdot 14} = 0,0089$$

$$\tilde{\sigma}_1 = \frac{K}{\phi} \cdot \frac{f}{1 + 10 \cdot f} = \frac{1,5 \cdot 10^6 \cdot 1,6}{10} \cdot \frac{0,0089}{1 + 10 \cdot 0,0089} = 1961,41$$

$$\tilde{\sigma}_2 = 2,4 \sqrt{\frac{K \cdot n}{\phi} \cdot \tilde{\sigma}_b} = 2,4 \sqrt{\frac{1,5 \cdot 10^6 \cdot 1,6}{10} \cdot 5,9} = 2855,88 \text{ kg/cm}^2$$

$$\max(\tilde{\sigma}_1, \tilde{\sigma}_2) = 2855,88 \text{ kg/cm}^2 > \tilde{\sigma}_a = 2105 \text{ kg/cm}^2$$

3<sup>e</sup> PHASE

Predalles à pleine résistance sous G + I,2P

$$\text{Charge par ml: } (0,2 \cdot 0,08 + 1,10 \cdot 0,16) \cdot 9 = 480 \text{ kg/ml}$$

$$\text{Carrelage (2cm)} \quad 0,02 \cdot 2200 = 44 \text{ kg/ml}$$

$$\text{Mortier de pose} \quad 0,02 \cdot 2000 = 40 \text{ kg/ml}$$

$$\text{Dalle de 3cm} \quad 0,03 \cdot 1700 = 51 \text{ kg/ml}$$

$$\text{Surcharge majorée} \quad 1,2 \cdot 250 = 300 \text{ kg/ml}$$

$$q = 515 \text{ kg/ml}$$

$$M = \frac{q l^2}{8} = \frac{515 \cdot 3,6^2}{8} = 1482,30 \text{ kg.m}$$

$$T_{\max} = \frac{q \cdot l}{2} = \frac{515 \cdot 3,6}{2} = 1647 \text{ kg.}$$

$$\alpha = 0,1628$$

$$M = \frac{15 \cdot M}{\tilde{\sigma}_a \cdot b \cdot h^2} = \frac{15 \cdot 1482,30 \cdot 10^2}{2800 \cdot 110 \cdot 22^2} = 0,0149 \quad K = 77,40$$

$$y = \alpha \cdot h = 0,1628 \cdot 22 = 3,58 \text{ cm} < h_{\text{d}} = 16 \text{ cm}$$

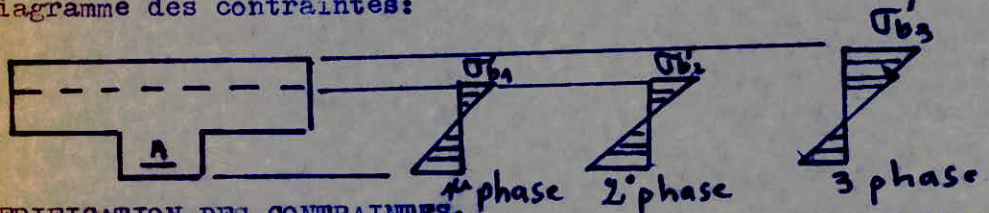
Donc l'axe neutre tombe dans la table nous sommes ramenés à l'étude d'une section rectangulaire ( $b = 110$ ,  $h = 22$ )

$$\mu = 0,0149 \quad \epsilon = 0,9458 \quad A_3 = \frac{M}{\bar{\sigma}_a \cdot \epsilon \cdot h} = \frac{14830}{2800 \cdot 0,9458 \cdot 22}$$

$$A = 2,54 \text{ cm}^2$$

La section a prendre en compte devra être max ( $A_2, A_3$ ) c'est à dire max de  $(3,92 \cdot 2,54) = 3,92 \text{ cm}^2$  SOIT 5T10

Diagramme des contraintes:



VERIFICATION DES CONTRAINTES:

$$\bar{\omega} = \frac{100A}{b \cdot h} = \frac{100 \cdot 3,92}{110 \cdot 22} = 0,1619 \Rightarrow \begin{cases} \epsilon = 0,9344 \\ K = 61,25 \end{cases}$$

$$\text{Acier } \bar{\sigma}_a = \frac{M}{A \cdot \epsilon \cdot h} = \frac{14830}{3,92 \cdot 0,9344 \cdot 22} = 1839,47 \text{ kg/cm}^2 < \bar{\sigma}_a$$

$$\text{Béton } \bar{\sigma}_b = \frac{\bar{\sigma}_a}{K} = \frac{1839,47}{61,25} = 30,03 \text{ kg/cm}^2 < \bar{\sigma}_b$$

Verification de non fragilité:

$$A_{min} = 0,69 b h \sqrt{\frac{\bar{\sigma}_a}{\bar{\sigma}_{en}}}$$

$$A_{min} = 2,34 \text{ cm}^2 \quad \text{donc } A_c > A_{min} = \text{Vérifié}$$

Condition de non fissuration:

$$\bar{\sigma}_1 = \frac{K \cdot n}{\phi} \cdot \frac{\bar{\omega}_f}{I + 10 \bar{\omega}_f} \quad \bar{\omega}_f = \frac{3,92}{2 \cdot 2 \cdot 20} = 0,049$$

$$\bar{\sigma}_1 = \frac{1,5 \cdot 10^6 \cdot 1,6}{10} \cdot \frac{0,049}{I + 10 \cdot 0,049} = 7892,61 \text{ kg/cm}^2$$

$$\bar{\sigma}_2 = 2,4 \sqrt{\frac{K \cdot n}{\phi} \cdot \bar{\sigma}_b} = 2,4 \sqrt{\frac{1,5 \cdot 10^6 \cdot 5,9}{10}} = 2855,19 \text{ kg/cm}^2$$

$$\max(\bar{\sigma}_1, \bar{\sigma}_2) = 7892,61 \text{ kg/cm}^2 > \bar{\sigma}_a \dots \text{Vérifié}$$

$$T_{\max} = 1647 \text{ kg}$$

On utilisera DES cadres perpendiculaires à la ligne moyenne.

$$\bar{\sigma}_b' = 30,30 \text{ kg/cm}^2 < \bar{\sigma}_{b_0}' = 67,5 \text{ kg/cm}^2$$

$$\bar{\sigma}_b = 3,5 \bar{\sigma}_b = 3,5 \cdot 5,9 = 20,65 \text{ kg/cm}^2$$

$$\bar{\sigma}_b = \frac{T_{\max}}{b \cdot z} = \frac{1647}{20 \cdot 7/8 \cdot I4} = 6,72 \text{ kg/cm}^2$$

$$\bar{\sigma}_b = 6,72 \text{ kg/cm}^2 < \bar{\sigma}_b = 20,65 \text{ kg/cm}^2$$

Contraintes admissible des armatures transversales.

$$\bar{\sigma}_{at} = f_{at} \bar{\sigma}_{en} \quad \text{avec } f_{at} = \max \left( \frac{2}{3}, 1 - \frac{\bar{\sigma}_b}{9 \bar{\sigma}_b} \right) \\ \bar{\sigma}_{en} = 2400 \text{ kg/cm}^2$$

$$1 - \frac{\bar{\sigma}_b}{9 \bar{\sigma}_b} = 1 - \frac{6,72}{9 \cdot 5,9} = 0,873 \quad , \quad 2/3 += 0,66$$

$$\bar{\sigma}_{at} = 0,873 \quad \bar{\sigma}_{at} = 0,873 \cdot 2400 = 2095,2 \text{ kg/cm}^2$$

L'écartement des cadres doit vérifier la condition suivante:

$$t \leq \inf \begin{cases} t_0 \\ \max(\bar{t}_I, \bar{t}_2) \end{cases}$$

$$t_0 = \frac{At \cdot z \cdot \bar{\sigma}_{at}}{T} = \frac{I,13 \cdot 7/8 \cdot 2095,2}{1647} = 17,6 \text{ cm}$$

At = I,13 cm<sup>2</sup> = section des armatures transversales dans une

$$t_1 = h \left( I - \frac{0,3 \bar{\sigma}_b}{\bar{\sigma}_b} \right) \quad \text{section droite, soit 2 cadres Ø6} \\ t_1 = I4 \left( I - \frac{0,3 \cdot 6,72}{5,9} \right) = 9,21 \text{ cm}$$

$$t_2 = 0,2 h = 0,2 I4 = 2,8 \text{ cm}$$

$$t \leq \inf \begin{cases} 17,6 \\ \max(9,21, 2,8) \end{cases}$$

On adoptera donc t = 8 cm à l'appui c'est à dire quand T=1647kg

Calcul des hourdis:

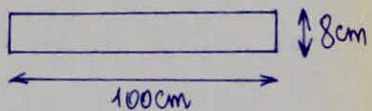
1<sup>o</sup> phase :

Charge par metre lineaire

$$q = 1,00 \cdot 0,08 \cdot 2500 = 200 \text{ kg/ml}$$

$$M_{t1} = \frac{q l^2}{10} = \frac{200 \cdot 1,00^2}{10} = 20 \text{ kg.m}$$

$$M_{a1} = \frac{q l^2}{20} = \frac{200 \cdot 1,00^2}{20} = 10 \text{ kg.m}$$



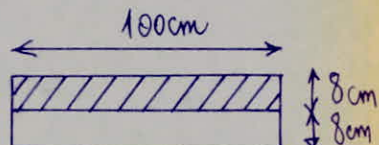
2<sup>o</sup> phase :

Charge par metre lineaire

- Hourdis :  $1,00 \cdot 0,08 \cdot 2500 = 200 \text{ kg/ml}$

- Béton frais:  $1,2 \cdot 0,08 \cdot 10 \cdot 2500 = 240 \text{ kg/ml}$

- Surcharges de chantiers:  $1,2 \cdot 100 \cdot 1,00 = 120 \text{ kg/ml}$



$$q = 560 \text{ kg/ML}$$

$$M_{t2} = \frac{q l^2}{10} = \frac{560 \cdot 1,00^2}{10} = 56,0 \text{ kg/m}$$

$$M_{a2} = \frac{q l^2}{20} = \frac{560 \cdot 1,00^2}{20} = 28,0 \text{ kg.m}$$

3<sup>o</sup> phase

charge par metre lineaire

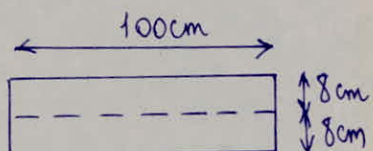
- Dalle  $0,16 \cdot 1,00 \cdot 2500 = 400 \text{ kg/ml}$

- Carrelage  $0,2 \cdot 0,22 = 44 \text{ kg/ml}$

- Mortier de pose  $0,02 \cdot 2000 = 40 \text{ kg/ml}$

- Sable  $0,03 \cdot 1700 = 51 \text{ kg/ml}$

- Surcharge Majorée  $1,2 \cdot 250 = 300 \text{ kg/ml}$



$$q = 835 \text{ kg/ml}$$

$$M_{t3} = \frac{q l^2}{10} = \frac{835 \cdot 1,00^2}{10} = 83,5 \text{ kg.m}$$

$$M_{a3} = \frac{q l^2}{20} = \frac{835 \cdot 1,00^2}{20} = 41,75 \text{ kg.m}$$

## FERRAILLAGE DU HOURDIS.

On prendra une bande de 1,00m de large c'est à dire  $b = 1,00m$   
1er phase.

$$\mu = \frac{15 \cdot M_{t_1}}{\bar{\sigma}_a \cdot b \cdot h^2} = \frac{15 \cdot 20 \cdot 10^2}{2800 \cdot 100 \cdot 7^2} = 0,0021 \Rightarrow \begin{cases} \varepsilon = 0,9787 \\ K = 220 \end{cases}$$

$$A_1 = \frac{M_{t_1}}{\bar{\sigma}_a \cdot \varepsilon \cdot h} = \frac{20 \cdot 10^2}{2800 \cdot 0,9787 \cdot 7} = 0,104 \text{ cm}^2$$

$$\begin{array}{l} \text{2ème phase} \\ \mu = \frac{15 M_{t_2}}{\bar{\sigma}_a \cdot b \cdot h^2} = \frac{15 \cdot 56 \cdot 10^2}{2800 \cdot 100 \cdot 7^2} = 0,006 \end{array} \Rightarrow \begin{cases} \varepsilon = 0,9647 \\ K = 127 \end{cases}$$

$$A_2 = \frac{M_{t_2}}{\bar{\sigma}_a \cdot \varepsilon \cdot h} = \frac{56 \cdot 10^2}{2800 \cdot 0,9647 \cdot 7} = 0,296 \text{ cm}^2$$

$$\begin{array}{l} \text{3ème phase} \\ \mu = \frac{15 M_{t_3}}{\bar{\sigma}_a \cdot b \cdot h^2} = \frac{15 \cdot 83,5 \cdot 10^2}{2800 \cdot 100 \cdot 7^2} = 0,009 \end{array} \Rightarrow \begin{cases} \varepsilon = 0,9573 \\ K = 102 \end{cases}$$

$$A_3 = \frac{M_{t_3}}{\bar{\sigma}_a \cdot \varepsilon \cdot h} = \frac{83,5 \cdot 10^2}{2800 \cdot 0,9573 \cdot 7} = 0,445 \text{ cm}^2$$

$$\text{DONC } A = \max (A_1, A_2, A_3) = 0,445 \text{ cm}^2$$

SECTION MINIMALE PAR LA CONDITION DE NON FRAGILITE.

$$A_{\min} = 0,69 \cdot b \cdot h = 0,69 \cdot 100 \cdot 14 \cdot \frac{5,9}{4200} = 1,357 \text{ cm}^2$$

donc on choisira la section minimale donné par la condition de non fragilité.

$$A = 1,35 \text{ cm}^2 \quad \text{SOIT } 5T6 / ml \quad A = 1,41 \text{ cm}^2$$

$$\begin{array}{l} \text{espacement } e = 20 \text{ cm} \\ \text{on a } e = 20 \text{ cm} \end{array} \leq \begin{cases} t_1 = 44 \text{ cm} \\ t_2 = 2 \cdot h = 2 \cdot 16 = 32 \text{ cm} \end{cases}$$

Ferraillage dans le sens de la grande portée (armature de répartition)  
les pédalles sont considérées comme des poutres dalles la section d'acier de répartition sera donnée par la condition suivante.

$$A_{\text{rep}} = \frac{4 \cdot \bar{\sigma}_b \cdot I}{0,9 \cdot h \cdot v ; \bar{\sigma}_{en}} = \frac{4 \cdot 5,9 \cdot 22866,66}{0,9 \cdot 14 \cdot 8 \cdot 4200} = 1,27 \text{ cm}^2$$

$$\text{On adoptera: } A_{\text{rep}} = 5T6 / ml = 1,41 \text{ cm}^2$$

Chapeau ( nappe supérieure )

$$\begin{array}{l} \text{1ère phase:} \\ \mu = \frac{15 \cdot M_{a_1}}{\bar{\sigma}_a \cdot b \cdot h^2} = \frac{15 \cdot 10 \cdot 10^2}{2800 \cdot 100 \cdot 7^2} = 0,001 \end{array} \Rightarrow \begin{cases} \varepsilon = 0,9851 \\ K = 320 \end{cases}$$

$$A_1 = \frac{Ma_1}{6a.\varepsilon.h} = \frac{10 \cdot 10^2}{2800 \cdot 0,9851 \cdot 7^2} = 0,051 \text{ cm}^2$$

2<sup>e</sup> phase:

$$\mu = \frac{15 \cdot Ma_2}{6a.\varepsilon.h} = \frac{15 \cdot 28 \cdot 10^2}{2800 \cdot 100 \cdot 7^2} = 0,003$$

$$A_2 = \frac{Ma_2}{6a.\varepsilon.h} = \frac{28 \cdot 10^2}{2800 \cdot 0,9749 \cdot 7} = 0,146 \text{ cm}^2$$

$$\left\{ \begin{array}{l} \varepsilon = 0,9749 \\ K = 184 \end{array} \right.$$

3<sup>e</sup> phase:

$$\mu = \frac{15 \cdot Ma_3}{6a.b.h^2} = \frac{15 \cdot 41,75 \cdot 10^2}{2800 \cdot 100 \cdot 7^2} = 0,0045$$

$$\left\{ \begin{array}{l} \varepsilon = 0,9693 \\ K = 148 \end{array} \right.$$

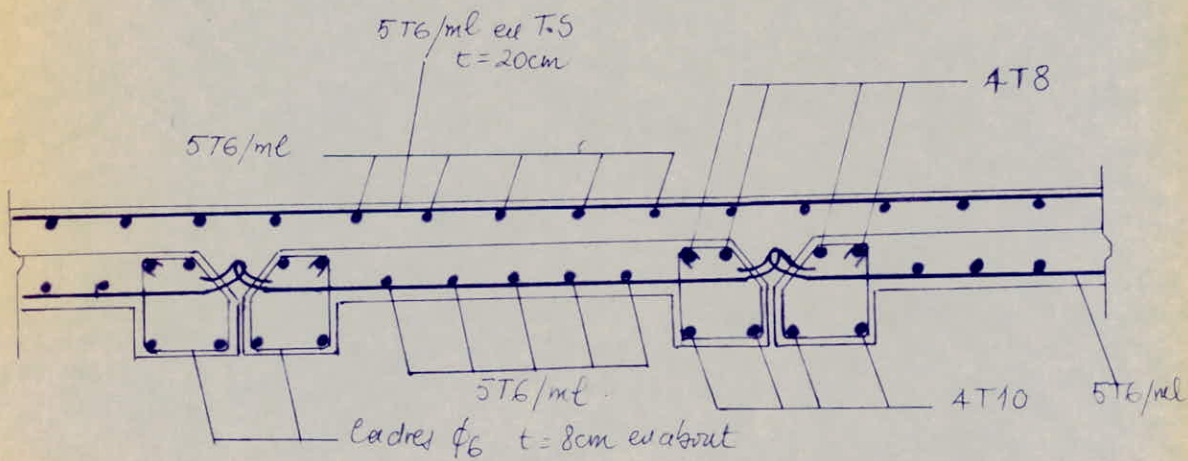
$$A_3 = \frac{Ma_3}{6a.\varepsilon.h} = \frac{41,75 \cdot 10^2}{2800 \cdot 0,9693 \cdot 7} = 0,219 \text{ cm}^2$$

$$A = \max(A_1; A_2; A_3) = 0,219 \text{ cm}^2$$

Le ferraillage minimum vérifiant la condition de non fragilité est:

A = 1,35 cm<sup>2</sup> (calculée précédemment, ferraillage en travée)

On adoptera: A = 5T6/ml = 1,41 cm<sup>2</sup> dans les 2 sens sous forme de treillis soudés (écartement de 20 cm dans les 2 sens).



Coupe du Plancher "Piedalle"

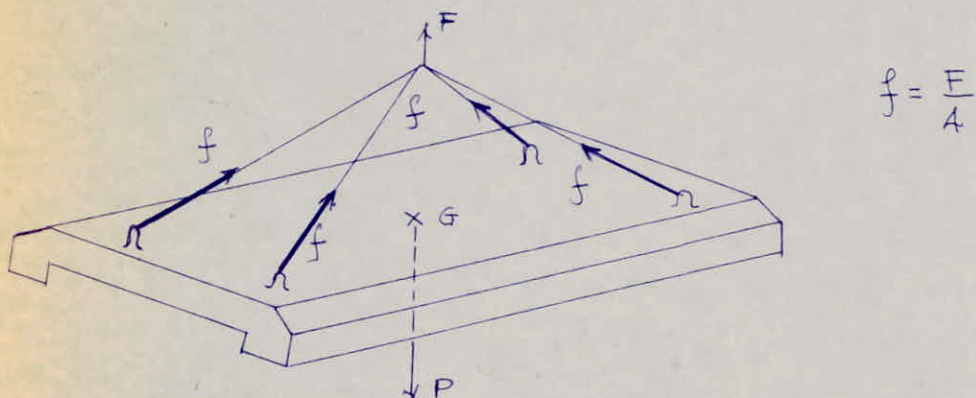
### SYSTEMES DE LEVAGE ET D'ANCRAGE DANS LES PREDALLES

Les systèmes doivent être positionnés de telle sorte que l'on puisse procéder au levage sans avoir à agir sur l'équilibrage du palonnier.

Tous les détails doivent figurer sur les plans d'exécution et que, particulièrement, la pose des aciers de manutention ne soit pas laissée à l'initiative du chantier qui improvisera sûrement une solution sans tenir compte des règles de sécurité.

Les boucles doivent être rendues solidaires des armatures de l'élément. Elles ne doivent pas être trop près du parement.

#### Calcul des boucles de levage:



K = 1,56 : Coefficient de sécurité à appliquer au calcul sur la contrainte admissible:

$$\text{Pour une boucle on aura: } \sigma_a = K \cdot \frac{f}{2s} = K \cdot \frac{f}{2 \cdot \frac{\pi \phi^2}{4}} = \frac{2 \cdot K \cdot f}{\pi \phi^2}$$

s: section de la boucle en ( $\text{cm}^2$ )

$\phi$  en ( $\text{cm}$ ) et f en ( $\text{kg}$ )

"f" doit tenir compte non seulement du poids du panneau, mais également des efforts parasites qui peuvent être superposés ou non :

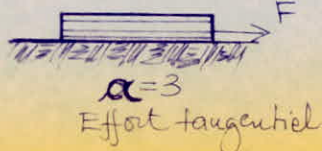
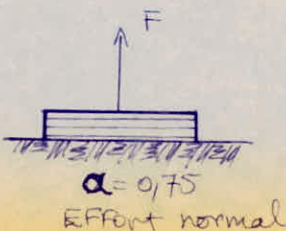
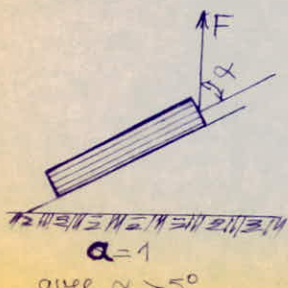
- Efforts supplémentaires de démoulage.
- Efforts supplémentaires pour emploi d'élinges.

On prend:  $F = a \cdot k \cdot P$

F: effort global.

P: poids du panneau.

k: coefficient, fonction de l'orientation de F par rapport au plan de la pièce.



Pour les calculs de l'optimisation des enroulements.

Finalement on a:  $F = a \cdot k \cdot P = 0,75 \cdot 1,70 \cdot 870,8 = \underline{\underline{1110,24 \text{ kg}}}$

$$P = (1,00 \cdot 3,11 \cdot 0,08) + (2,0 \cdot 10 \cdot 3,11 \cdot 0,16) \cdot 2500$$

$$P = \underline{\underline{870,8 \text{ kg}}}$$

$$f = \frac{F}{4} = \frac{1110,27}{4} = 277,56 \text{ kg}$$

$$\bar{\sigma}_a = K \cdot \frac{2f}{\pi \phi^2} \Rightarrow \phi = \sqrt{\frac{K \cdot 2f}{\bar{\sigma}_a \pi}} = \sqrt{\frac{1,56 \cdot 2 \cdot 277,56}{1600 \cdot 5,14}} = 0,409 \text{ cm} \simeq 4 \text{ mm}$$

$$\text{On prendra: } \phi = \underline{\underline{8 \text{ mm}}}$$

N.B.: Ces crochets sont aciers doux

Longueurs d'ancrege:



Ancrege normal: (C.C.B.A.68)

$$ld = \frac{\phi}{4} \cdot \frac{\bar{\sigma}_a}{\bar{\sigma}_d}$$

\* -  $\bar{\sigma}_a$  = Contrainte de traction admissible de l'acier.

\* -  $\bar{\sigma}_d$  = Contrainte d'adhérence admissible.

\* -  $\psi$  = Coefficient de scellement.

$$d = 1,25 \cdot \psi_d^2 \cdot \bar{\sigma}_b$$

$$\psi_d = \frac{1,5}{\sqrt{2}} \cdot \gamma_d$$

$$\Rightarrow \psi_d = \frac{1,5}{\sqrt{2}} = 1,06$$

$\gamma_d = 1$  pour Fe E 24

$$\Rightarrow \bar{\sigma}_d = 1,25 \cdot 1,06^2 \cdot 5,9 = 8,29 \text{ kg/cm}^2$$

$$ld = \frac{0,8}{4} = \frac{1600}{8,29} = \underline{\underline{38,60 \text{ cm}}}$$

$$\text{On prend: } ld = \underline{\underline{45 \text{ cm}}}$$

## =CHAPITRE 9=

### CALCUL DES FONCTIONS

Détermination de la surpression admissible( )vis à vis du pouvoir portant. la surpression admissible sera déterminée avec les hypothèses suivantes concernant les caractéristiques du sol.

$$h = 2t/m^3 \quad C=0,7 \text{ (cohesion)} \quad \phi=23^\circ \text{ (angle de frottement)}$$

$$N_q = 8,66 \quad N_y = 7,73 \quad N_c = 18,01$$

$$B=1,60m \text{ (largeur de la semelle)}$$

$$D=2,90m \text{ (hauteur de penetration de la fondation)}$$

$$F_s = 3 \text{ coefficient de sécurité.}$$

$$q_1/F_s = 2,25kg/cm^2$$

#### Méthode utilisée.

Dans notre cas, on considérera dans un premier lieu que toute l'infrastructure se compose d'une boîte assez rigide d'où on déterminera :

\* N total de la superstructure.

\* Moment total du bâtiment qui sera la superposition d'un moment dû à la résultante des forces sismiques horizontales et d'un moment résiduel dû à l'excentricité de la semelle par rapport à la superstructure dans les deux sens.

On calculera la surface des semelles et leurs inerties dans les deux sens, on procédera par la suite à la vérification suivante:

$$\bar{G}(1,2) = \frac{N}{A} + \frac{M}{I} . v$$

avec  $\bar{G}(1,2) < 1,33 \bar{G}_s$  (R.P.A81) pour sol meuble.

1) N: total du bâtiment avec voile du vide sanitaire.

$$N = 4991,12t$$

2) Résultante due aux efforts sismique horizontaux:

$$R = \text{effort sismique appliqué à } 19,16m$$

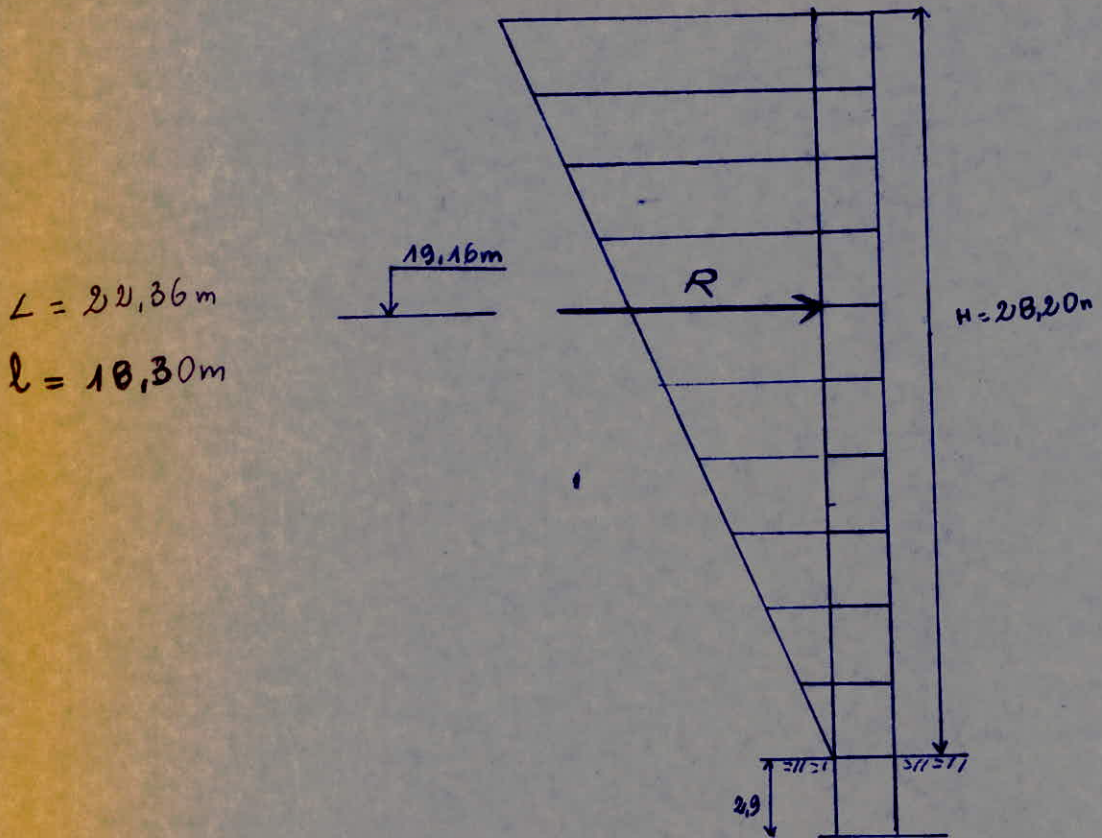
$$R = 322,46t \quad Z = 19,16m$$

Moment dû aux efforts sismiques.

$$M = R \cdot Z = 322,46 \cdot 19,16 = 6178,33t.m$$

Dimension de la semelle

suivant les caractéristiques du sol et les efforts appliqués, la largeur de la semelle  $B=1,60m$  c'est à dire  $80cm$  de chaque côté du voile.



Surface totale de toute la fondation.

$$S = 350 \text{ m}^2$$

Surface des semelles.

$$A_s = 350 - 116,4 = 233,6 \text{ m}^2$$

Centre de gravité de la fondation (semelles)

$$\left\{ \begin{array}{l} X_G = \frac{s_i \cdot x_i}{S_i} = 10,91 \text{ m} \\ Y_G = \frac{s_i \cdot y_i}{S_i} = 8,50 \text{ m} \end{array} \right.$$

Excentricité.

$$\left\{ \begin{array}{l} e_x = 10,72 - 10,91 = 0,19 \text{ m} \\ e_y = 9,60 - 8,50 = 1,10 \text{ m} \end{array} \right.$$

$$\left\{ \begin{array}{l} v_x = 1x - X_G = 22,36 - 10,91 = 11,45 \text{ m} \\ v_y = 1y - Y_G = 18,30 - 8,50 = 9,80 \text{ m} \end{array} \right.$$

Moment total du bâtiment.

$$M_{xy} = R \cdot Z + N_e(xy)$$

$$M_x = 6178,33 + 4991,12 \cdot 1,1 = 11668,56 \text{ t.m}$$

$$M_y = 6178,33 + 4991,12 \cdot 0,19 = 7126,64 \text{ t.m}$$

Inerties de la fondation.

$$I_{xx} = 12113,94 \text{ m}^4$$

$$I_{yy} = 16647,73 \text{ m}^4$$

Calcul des contrainte  $\tilde{\sigma}_1, \tilde{\sigma}_2$

$$\tilde{\sigma}_1 = \frac{N/A_s + M \cdot v_x / I_{xx}}{12113,94} = \frac{4991,12 / 233,6 + 11668,56 \cdot 11,45}{12113,94}$$

$$\tilde{\sigma}_1 = 32,39 \text{ T/m}^2$$

$$\tilde{\sigma}_2 = \frac{N/A_s - M \cdot v_x / I_{xx}}{12113,94} = \frac{4991,12 / 233,6 - 11668,56 \cdot 11,45}{12113,94}$$

$$\tilde{\sigma}_2 = 10,33 \text{ t/m}^2$$

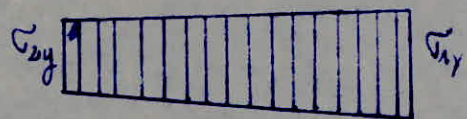
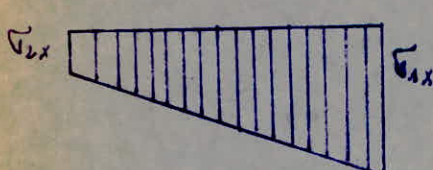
on a  $\left| \begin{array}{l} \tilde{\sigma}_{1x} = 3,239 \text{ kg/cm}^2 < 1,33 \sqrt{s} = 1,33 \cdot 2,505 = 3,33 \text{ kg/cm}^2 \\ \tilde{\sigma}_{2x} = 1,033 \text{ kg/cm}^2 < 1,33 \sqrt{s} \end{array} \right. \text{ vérifiée.}$

DANS le sens y.y

$$\tilde{\sigma}_{1y} = \frac{4991,12}{233,60} + \frac{7126,64 \cdot 9,80}{16647,73} = 2,556 \text{ kg/cm}^2$$

$$\tilde{\sigma}_{2y} = \frac{4991,12}{233,60} - \frac{7126,64 \cdot 9,80}{16647,73} = 1,717 \text{ kg/cm}^2$$

$$\left| \begin{array}{l} \tilde{\sigma}_{1y} = 2,55 \text{ kg/cm}^2 < 1,33 \sqrt{s} = 3,33 \text{ kg/cm}^2 \\ \tilde{\sigma}_{2y} = 1,71 \text{ kg/cm}^2 < 1,33 \sqrt{s} \end{array} \right. \text{ vérifiée.}$$

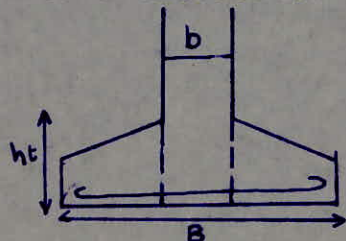


$$\tilde{\sigma}_{\max} = \max(\tilde{\sigma}_{1(y)}, \tilde{\sigma}_{2(y)}) = 32,39 \text{ t/m}^2$$

Ferraillage :

on prendra  $\sigma_{max} = 3,23 \text{ kg/cm}^2$

méthode des consoles elle consiste à considérer la semelle comme une double console encastrée au mur.



$$A = \frac{M_B}{Z \cdot \sigma_a}$$

$$\text{Moment: } M_B = \frac{\sigma_{max} (B - b)^2}{8} \cdot 1\text{m}$$

### Sollicitation du premier genre.

On suppose que la fondation travaille sous N total est un Moment résiduel (dû à l'excentricité.)

$$M_x = N \cdot e_y = 4991,12 \cdot 1,1 = 5490,232 \text{ t.m}$$

$$M_y = N \cdot e_x = 4991,12 \cdot 0,19 = 948,31 \text{ t.m}$$

on a l'inérité dans les deux sens:

$$\left| \begin{array}{l} I_{xx} = 12113,94 \text{ m}^4 \\ V_x = 11,45 \text{ m} \end{array} \right. \quad \left| \begin{array}{l} I_{yy} = 16647,73 \text{ m}^4 \\ V_y = 9,80 \text{ m} \end{array} \right.$$

$$\sigma_{1x} = N/A_s + M_x \cdot V_x / I_{xx}$$

$$\sigma_{1x} = 4991,12 / 233,6 + \frac{5490,232 \cdot 11,45}{12113,94} = 26,55 \text{ t.m}$$

$$\sigma_{1x} = 26,55 \text{ t/m}^2$$

$$\sigma_{2x} = 16,176 \text{ t/m}^2$$

Sens y.y

$$\sigma_{1y} = 4991,12 / 233,6 + \frac{948,31 \cdot 9,80}{16647,73} = 21,19 \text{ t/m}^2$$

$$\sigma_{1y} = 21,19 \text{ t/m}^2$$

$$\sigma_{2y} = 20,80 \text{ t/m}^2$$

Donc on prendra  $\widetilde{G}_{\max} = \widetilde{G}_{1x} = 26,55 \text{ t/m}^2$

Moment d'enca斯特ment:

Sous S.P.1-  $M_B = 26,55 \cdot \frac{(1,60 - 0,24)}{8} = 6,138 \text{ t.m}$

SOUS S.P.2  $M_B = 32,3 \cdot \frac{(1,60 - 0,24)^2}{8} = 7,46 \text{ t.m}$

Calcul de la section d'acier :

Sous S.P.1  $A_s = \frac{M_b}{Z \cdot \bar{G}_a} = \frac{6,138 \cdot 10^5}{7/8 \cdot 45 \cdot 2800} = 5,56 \text{ cm}^2$

Sous S.P.2.  $A_s = \frac{M_b}{Z \cdot \bar{G}_a} = \frac{32,3(1,6 - 0,24)^2}{7/8 \cdot 45 \cdot 4200} = 4,51 \text{ cm}^2$

donc on prendra 6T12/m1  $A=6,78 \text{ cm}^2$   $t=20 \text{ cm}$

Armature de répartition:

$$A_{rep} = A/4 = 6,78/4 = 1,69 \text{ cm}^2$$

Soit 6T6/m1  $A_{rep} = 1,69 \text{ cm}^2$   $t=20 \text{ cm}$

Semelle du voile VT7

charge sous (G +1,2P)

$$\alpha = 21,60 \text{ t/ml}$$

dimensionnement de la semelle.

1) calcul de (B):

$$G_s = \frac{Q}{B \cdot 1m} \quad B \geq \frac{Q}{G_s \cdot (1m)}$$

$$B = \frac{21,60}{25,05 \cdot 1m} = 0,86 \text{ m} \quad \text{soit } B = 90 \text{ cm}$$

$$ht = h + d \quad h = \frac{(B-b)}{4} = \frac{90 - 16}{4} = 18,5 \text{ cm}$$

$$\text{soit } h = 20 \text{ cm} \quad ht = 25 \text{ cm} \quad d = 5 \text{ cm}$$

Calcul des armatures (méthode des bielles)

$$A = \frac{Q(B-b)}{8 \cdot G_a \cdot (ht-d)} = \frac{21600 (90 - 16)}{8 \cdot 2800 \cdot 20} = 3,56 \text{ cm}^2$$

$$\text{Soit } 5T10 \quad A = 3,92 \text{ cm}^2$$

Armatures de répartitions

$$A_r = A_p/4 = 3,92/4 = 0,98 \text{ cm}^2 \quad \text{soit } 4T6 \quad (A = 1,13 \text{ cm}^2)$$

## II- FERRAILLAGE DU VOILE PERIPHERIQUE

Au niveau du sous-sol, il est prévu un voile périphérique, ce dernier avec les fondations constituent l'infrastructure.

L'infrastructure doit constituer un ensemble rigide capable de remplir les fonctions suivantes:

- Réaliser l'encastrement de la structure dans le terrain.
- Transmettre au sol de fondation la totalité des efforts apportés par la structure.

- Limiter les tassements différentiels à une valeur acceptable. Certaines parties de ce voile ne sont autres que les continuïtés vers les fondations des refends de contreventement. ces parties du fait de leur encastrement dans le sol, sont plus rigides que les parties du dessus.

Ce voile sera ferrailé conformément aux règles du C.T.C.

- Armatures longitudinales filantes supérieures et inférieures de section supérieure ou égale à 0,20% de la section transversale totale du béton avec recouvrements supérieurs ou égaux à 50 Ø

$$\text{Soit: } A \geq \frac{0,20 \cdot 30 \cdot 100}{100} = 6 \text{ cm}^2$$

$$\text{On adopte } 10 \text{ T 10 / ml} \quad A = 7,85 \text{ cm}^2$$

- Armatures longitudinales de peau de section  $> 2 \text{ cm}^2$  par face et par mètre linéaire de hauteur.

on adoptera 5T8 =  $2,51 \text{ cm}^2$  par mètre linéaire et par face

--CALCUL DES TASSEMENTS--

CARACTERISTIQUES DU SOL.

$\gamma = 2 \text{ t/m}^3$  poids volumique des terres.  
 $C = 0,7$  cohésion  
 $\phi = 23^\circ$  angle de frottement.  
 $N_s = 7,73$  terme de surface.  
 $N_d = 8,66$  terme de profondeur.  
 $N_c = 18,01$  terme de cohésion.  
 $s = 2,5 \text{ kg/cm}^2$

On calculera le tassement pour un sondage effectué à des profondeurs différentes, on assimilera notre fondation à une semelle rectangulaire de dimension  $L \times l$  dont on fera le calcul de tassement au milieu de celle-ci.

$H_1$	$\times z_1$	$\gamma_1$
$H_2$	$\times z_2$	$\gamma_2$
$H_{i-1}$	$\times z_{i-1}$	$\gamma_{i-1}$
$H_i$	$\times z_i$	$\gamma_i$

$$\gamma = \gamma_d (1 + w)$$

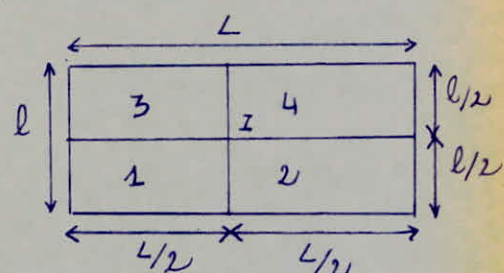
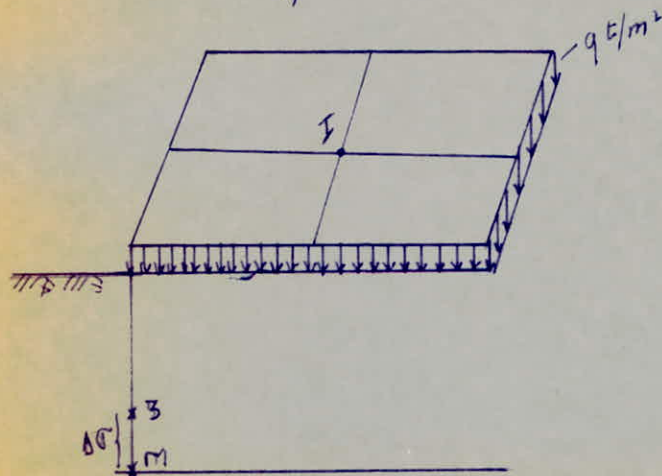
$$G_1 = \gamma_1 H_1 / 2$$

$$G_2 = \gamma_1 H_1 + \gamma_2 H_2 / 2$$

$$G_3 = \gamma_1 H_1 + \gamma_2 H_2 + \gamma_3 H_3 / 3$$

Le calcul des contraintes ( ) au centre de la semelle et dans l'angle d'un rectangle, pour le calcul de  $G_L = K_L \times q_L$  on décomposera la semelle en quatre petits rectangles de dimension  $(L/2 \times l/2)$  de façon à avoir le centre de la semelle sur chaque coin du petit rectangle les valeurs de  $K = f(L/1, Z/1)$  seront deduit à partir du tableau 23 page 278 du livre de M<sup>r</sup>. C. PHILLIPONNAT; fondation et ouvrage en terre.

$$q_L = \frac{3G_1 + G_2}{4} = 26,875 \text{ t/m}^2$$



\* Calcul des contraintes:

$H_i$ (m)	$Z_i$ (m)	$\gamma_c$ $t/m^3$	$G_1$ $t/m$	$G_2$ $t/m$
2,25	0,25	2	/	/
4,25	1,75	1,976	4,199	26,76
6,15	3,65	2,192	15,039	53,473
9,75	7,25	2,106	32,145	79,38
17,75	15,25	2,10	61,049	100,88

\* Calcul du tassement:

$$\Delta H_i = \frac{C_c \cdot H_i}{1 + e} \times \log \frac{G_2}{\max(G_1, G_c)}$$

$Z_i$ (m)	$G_1$ (t/m)	$G_2$ (t/m)	$C_c$	$H_i$ (m)	$e_i$	$1 + e_i$	$\log \frac{G_2}{\max(G_1, G_c)}$	$G_m^c$ $t/m^2$	$\Delta H_i$ (m)
1,75	4,199	26,76	0,06	2,7	0,509	1,509		30	
3,65	2,192	53,473	0,048	2,75	0,520	1,52	0,368	37	0,0319
7,25	2,106	79,38	0,05	5,8	650	651	1,23875	23	$5,5 \cdot 10^{-4}$
15,25	2,1	100,88	0,076	8	629	630	5,044	20	$4,86 \cdot 10^3$
$\Sigma$									0,037

Tassement  $\Delta H_i = \sum \Delta H_i = 3,73 \text{ cm}$  inférieur à  $\Delta H_{ad} = 5 \text{ cm}$

\* Vérification au glissement:

$$\frac{H_i}{S} = \frac{G}{G_{mobilisant}} \rightarrow G_m = \frac{322,46}{233,6} = 1,38 \text{ t/m}^2$$

$$G_{real} = C + N/S \cdot \tan \phi = 0,7 + \frac{4991,12}{233,6} \tan 23 = 9,76 \text{ t/m}^2$$

Coefficient de sécurité:

$$F_s = \frac{G_{real}}{G_m}$$

$$F_s = 9,76 / 1,38 = 7,07$$

donc  $F_s = 7,07 > 3$ . donc la condition de risque de glissement est vérifiée.

### SEISME VERTICAL:

On considere la combinaison: PS69

0,8G +SI

$$\left. \begin{array}{l} \\ \end{array} \right\} C_v = 0,11Y$$

Les regles algériennes ne determine pas de coefficient sismique vertical mais le remplace par une combinaison d'action revenant à considerer un seisme fictif d'acceleration 0,2g , ce qui est beaucoup plus severe que les regles françaises.

### EFFORT SISMIQUE HORIZONTAL.

ON a les efforts sismique suivant les deux directions X.X et Y.Y sont les memes de meme pour le PS69.

#### REMARQUE.

pour les deux reglement , l'effrt sismique global transversal est le même. PAR contre on remarquera notamment un ecart de 5,5% en tête en faveur du PS69. (voir tableau des efforts sismique, RPA, PS69. et ceci pour tenir compte du phenomène du coup de fouet( influence des modes superieures).

### ETUDE COMPARATIVE.

La comparaison se fera pour deux types de voiles.

- voiles pleins VOILES a files d'ouvertures.

On se limitera essentiellement à comparer le ferraillage obtenus suivant les deux reglements car il sera illusoire de vouloir établir un parallel rigoureux entre les différentes règles étant donné que les règles et normes constructives propres à chaque pays dépendent de nombreux facteurs.

#### - VOILES PEU SOLICITES.

Dans ce cas, c'est le ferraillage minimum qui est prépondérant ainsi, les voiles ferrailles suivant le R.P.A 81; nécessitent d'avantage d'acier que ceux ferrallés suivant le P.S.69.

ainsi le pourcentage minimum d'acier verticaux sur toute la zone tendu est de 0,5% pour le R.P.A, et par contre pour le DTU231 exige que 0,1% VOILES TRES SOLICITES.

On distingue alors deux zones ~~distingtes~~.

La première allant de la base jusqu'à un certain niveau et dont les efforts de calcul sont relativement importants, la différence de ferrailage de calcul variant de 20% à 50% suivant les niveaux....

Pour les niveaux supérieurs où les efforts sont faibles et qui seront ferrailles à l'aide des minimum réglementaires des deux règlement....

Comparaison des règles parasismique

R.P.A 81 et P.S.69

R.PA 81

PS.69

Sismosite: zone

Groupe d'usage: 2 A=0,15

Sol: terrain meable

Période:  $T=0,09H = 0,5365$

L

D = 2

Coefficient de comportement

Structure voiles porteurs B B=1/4

Coefficient de qualité

O = 1 + F<sub>a</sub> = 1,1

A.B.D.O. = 0,085

Coefficient de distribution.  $\frac{W \cdot hr}{h}$

$$F = \frac{V - F_t}{W \cdot hr} = \frac{(v - F_t)}{\frac{W}{h} \cdot hr}$$

Soit "r" le rang de l'étage

et pour une hauteur d'étage cst.

$$\frac{F_x}{V - F_t} = \frac{r}{\frac{W}{h} \cdot hr} = \frac{2r}{n(n+1)} = r$$

N=10

$$r = \frac{2r}{n(n+1)} = r/55$$

$$F_x = r \cdot V$$

= 0,11

$$\frac{r}{2n+1} = \frac{3r}{21}$$

n=10

$$r = \frac{r}{7}$$

$$F_x = W \cdot r$$

Sismicité: moyenne

Groupe d'usage: d'habitation

Sol: terrain meable = 1

$T=0,08H \frac{H}{L+H} += 0,364sec$

$L \quad L+H$

= 0,11

## B I B L I O G R A P H I E

- \* REGLES TECHNIQUES CCBA 68
- \* REGLES PARASISMHIQUES PS 69
- \* REGLES PARASISMHIQUES ALGERIENNES 81
- \* REGLES NV 65
- \* CALCUL & VERIFICATION DES OUVRAGES EN B.A. P.CHARON
- \* EXERCICES DE B.A. P.CHARON
- \* CALCUL DES TOURS EN B.A. M.DIVER
- \* CONTREVENTEMENT DES BATIMENTS MM.ALBIGES & GOULET
- \* OSSATURES DE BATIMENTS EN B.A. A.FUENTES
- \* COMPLEMENT DU CTC AUX REGLES PS 69
- \* TABLE DE BARRES
- \* COURS DE BETON DE L'ENPA
- \* FONDATIONS ET OUVRAGES EN TERRE PHILIPONNAT

